

ÉTUDE DE LA FONCTION DU GÈNE *tdd8* (SCO2368) CODANT POUR UNE DES
PROTÉINES AYANT UN DOMAINE TerD CHEZ *STREPTOMYCES COELICOLOR*

par

François Daigle

thèse présentée au Département de biologie en vue
de l'obtention du grade de docteur ès sciences (Ph.D.)

FACULTÉ DES SCIENCES
UNIVERSITÉ DE SHERBROOKE

Sherbrooke, Québec, Canada, avril 2014

Le 30 avril 2014

le jury a accepté la thèse de Monsieur François Daigle dans sa version finale.

Membres du Jury

Professeur Carole Beaulieu
Directrice de recherche
Département de Biologie

Professeur François Malouin
Codirecteur de recherche
Département de biologie

Professeur Vincent Burrus
Membre interne
Département de biologie

Professeur Catherine Paradis-Bleau
Membre externe
Département de microbiologie, infectiologie et immunologie
Université de Montréal

Professeur Ryszard Brzezinski
Président-rapporteur
Département de biologie

SOMMAIRE

Le rôle des protéines avec un motif TerD est depuis toujours insaisissable. La séquence en acides aminés qui correspond au motif TerD est répandue dans les génomes de plusieurs espèces bactériennes. Les recherches effectuées dans le cadre de ce doctorat avaient pour objectif d'identifier le rôle du gène *tdd8* (SCO2368) qui code pour une protéine avec un motif TerD chez *Streptomyces coelicolor*. Sur la base d'une étude comparative du transcriptome de souches présentant une expression différentielle de *tdd8*, il a été possible de déterminer l'implication de *tdd8* dans plusieurs systèmes de régulation. Les résultats obtenus ont permis d'établir que le niveau d'expression de *tdd8* peut jouer un rôle dans le mécanisme de la différenciation morphologique et de la sporulation, dans le métabolisme de l'azote et dans l'équilibre redox. La protéine Tdd8 semble avoir un rôle dans divers processus cellulaires de par son implication dans l'homéostasie du calcium intracellulaire qui a été démontrée dans cette étude. Parmi les gènes qui semblent affectés par le taux d'expression de *tdd8*, ces recherches ont identifié un regroupement de gènes impliqués dans la réponse au stress redox. La plupart de ces gènes sont positionnés sur deux loci et leur expression implique un système de régulation analogue au régulon DosR retrouvé chez *Mycobactérium tuberculosis*. La croissance de la souche M145 de *S. coelicolor* en conditions de stress (hypoxie et présence d'oxyde nitrique) a permis de confirmer l'induction de ces gènes et des recherches bioinformatiques ont permis d'identifier un motif de liaison DosR dans les séquences qui précède la région codante de plusieurs gènes situés dans les deux loci identifiés. Les recherches ont également permis une meilleure caractérisation du métabolisme de l'azote et notamment une implication de *tdd8* dans la régulation de ce métabolisme. Ces travaux s'inscrivent dans un processus de recherche fondamentale qui permet de mieux comprendre le rôle des protéines avec un motif TerD.

Streptomyces, différenciation, sporulation, stress redox, puce à ADN, TerD, métabolisme de l'azote, signalisation calcium, *tdd*.

REMERCIEMENTS

J'aimerais prendre le temps de remercier toutes les personnes qui m'ont soutenu et conseillé durant mes années d'études doctorales. D'abord, je remercie grandement ma directrice de recherche, Carole Beaulieu, pour la confiance qu'elle m'a accordée, pour sa grande capacité d'analyse et pour son positivisme qui m'a servi de modèle. Je remercie également mon codirecteur François Malouin et mes conseillers, Ryszard Brzezinski et Vincent Burrus pour leurs conseils ainsi que leur pensée critique. Merci également à Colin P. Smith et Giselda Bucca pour leur collaboration, pour m'avoir permis d'utiliser leurs technologies et pour leur très grande hospitalité lors de mon stage au Royaume-Uni. Je suis également reconnaissant aux organismes subventionnaires qui ont financé mon projet et desquels j'ai obtenu des bourses, soient le Conseil de recherches en sciences naturelles et en génie du Canada et le Fonds de recherche Québec en Nature et Technologies.

J'ai passé de très beaux moments dans le laboratoire de Carole Beaulieu et c'est en grande partie grâce à de nombreuses personnes que j'ai eu la chance de connaître au cours de mes études. J'aimerais particulièrement remercier Sylvain Lerat et Anne-Marie Simao-Beaunoir pour leur disponibilité, leur écoute et leur esprit critique.

TABLE DES MATIÈRES

SOMMAIRE.....	iii
REMERCIEMENTS	iv
TABLE DES MATIÈRES.....	v
LISTE DES TABLEAUX	vii
LISTE DES FIGURES	viii
INTRODUCTION	1
1.1 Les défis de l'ère post-génomique	1
1.2. Les streptomycètes	2
1.2.1 La respiration chez <i>Streptomyces coelicolor</i>	4
1.2.2. L'assimilation de l'azote chez les streptomycètes.....	6
1.2.3 La différenciation morphologique et le métabolisme secondaire.....	8
1.2.3.1 Différenciation morphologique en culture solide.....	8
1.2.3.2 Différenciation morphologie en culture liquide	9
1.2.3.3 Génétique associée à la différenciation morphologique	11
1.2.4 Régulation des gènes en réponse aux stress environnementaux.....	16
1.2.4.1 La régulation à deux composantes.....	17
1.2.4.2 Les facteurs sigma	17
1.2.4.3 Réponse aux stress anoxique chez les Streptomycètes.....	19
1.3 La technologie des puces à ADN	22
1.3.1 L'analyse des données	23
1.3.2 L'expression relative et différentielle.....	23
1.4 La justification du sujet à l'étude dans cette thèse : le motif TerD	24

1.4.1 Les gènes de <i>S. coelicolor</i> ayant un motif TerD	26
1.4.2 Le gène <i>tdd8</i> de <i>S. coelicolor</i>	27
1.5 Les objectifs du projet de doctorat	28
 CHAPITRE 2.....	30
2.0 Identification d'un régulon DosR chez <i>Streptomyces coelicolor</i> par une comparaison transcriptomique du génome de souches présentant une expression différentielle de <i>tdd8</i> , un gène codant pour une protéine avec un domaine TerD ...	30
2.1 Identification of a DosR-like regulon in <i>Streptomyces coelicolor</i> via a comparative global genome transcriptomics in strains exhibiting differential expression of <i>tdd8</i> , a TerD domain-encoding gene	32
 CHAPITRE 3.....	86
3.0 Tdd8, une protéine contenant un domaine TerD qui participe à l'homéostasie du calcium et qui est impliquée dans le contrôle du régulon DosR chez <i>Streptomyces coelicolor</i>	86
3.1 Tdd8, a TerD domain-containing protein participates to calcium homeostasis and is involved in control of the DosR-like regulon in <i>Streptomyces coelicolor</i>	88
 DISCUSSION GÉNÉRALE	108
4.1 Les puces à ADN	109
4.1.1 L'ADN génomique et normalisation	109
4.1.2 La normalisation globale	110
4.1.3 L'analyse statistique	111
4.1.4 La confirmation des résultats par RT-qPCR	112
4.2 Implication et rôle de Tdd8 dans des systèmes de régulation	112
 CONCLUSION	118
BIBLIOGRAPHIE	119

LISTE DES TABLEAUX

CHAPITRE 2

1. Gene known to be involved in <i>S. coelicolor</i> morphological differentiation showing a differential expression	45
2. Genes involved in nitrogen metabolism showing a differential expression between the wild-type strain M145 and $\Delta tdd8$ or $tdd8^+$ in 34-h and 77-h cultures, respectively	46
3. Characteristics of a gene cluster possibly involved in redox stress response that was overexpressed in $\Delta tdd8$	51
S1. Primers used for RT-qPCRs	63
S2. Validation of transcriptomique expression from Microarray of redox-stress response loci genes in <i>S. coelicolor</i> by RT-qPCR, fold change is obtained by the differential expression at t_{OR} between $\Delta tdd8$ over M145.....	64
S3. Quantitative data from MeV-Rank product output of all genes with differential expression between mutants and M145 at onset Red in all <i>S. coelicolor</i> identified transcripts	65
S4. Quantitative data from MeV-Rank product output of all genes with differential expression between mutants and M145 at stationary phase of growth in all <i>S. coelicolor</i> identified transcripts	73
S5. Gene upstream consensus sequences from genes in redox stress response loci with DosR-like motif binding, obtained by MEME software	85

CHAPITRE 3

1. Differential gene expression between <i>S. coelicolor</i> M145 cultures exposed or not to various stresses	95
---	----

LISTE DES FIGURES

INTRODUCTION

1. Assimilation de l'azote chez les procaryotes	7
2. Représentation schématisée du cycle de vie de <i>Streptomyces coelicolor</i>	9
3. Schématisation des étapes de développement à partir de cultures liquides et solides chez <i>Streptomyces coelicolor</i>	11
4. Schématisations et photo représentant différentes étapes de la différenciation morphologique pour la formation du mycélium aérien et de la sporulation chez <i>S. coelicolor</i>	14
5. Facteurs sigma chez <i>S. coelicolor</i> regroupés par l'alignement des séquences de la région 1,2 à 2,4 (<i>domaine 2, qui inclut une région non conservée et la séquence qui lie la région -10 du promoteur</i>) présentés selon les 4 différents groupes σ^{70}	19

CHAPITRE 2

1. Growth curve of <i>S. coelicolor</i> strains in R5 ⁻ medium.	40
2. Number of genes showing a differential expression in <i>tdd8+</i> and $\Delta tdd8$ compared to the M145 strain at the visual onset of Red (t _{OR}) production	41
3. Schematic representation of the two putative <i>S. coelicolor</i> redox stress response loci.....	49

CHAPITRE 3

1.	Relative expression of genes belonging to the redox-stress response cluster in <i>S. coelicolor</i> strains M145 and $\Delta tdd8$ grown in R5- and R5+ culture media	96
2.	Time-course of nitrite concentration for <i>S. coelicolor</i> strains M145 (top panel), $tdd8^+$ (middle) and $\Delta tdd8$ (bottom) grown in R5- and R5+ culture media	98
3.	Relative intracellular free Ca^{2+} in <i>S. coelicolor</i> strains determined by ratiometric detection at 530 nm of the 340/380 nm excitation of Fura2 AM fluorescent dye in various culture media	99

DISCUSSION GÉNÉRALE

1.	Modèle sur l'impact d'une modulation de l'expression de $tdd8$	116
----	--	-----

INTRODUCTION

1.1 Les défis de l'ère post-génomique

Les organismes vivants, peu importe leur nature, revêtent tous un caractère commun, l'ADN. La complexité de la séquence en acides nucléiques, l'organisation fonctionnelle sous forme de gènes et une transcription spécifique permettent à l'ADN d'être la recette de la grande diversité des organismes vivants. Comprendre le fonctionnement d'un gène ou d'un groupe de gènes est complexe et requiert souvent plusieurs années de recherche. L'avancement de nos connaissances sur leur fonctionnement est essentiel pour bien comprendre la biologie de ces organismes et leurs interactions avec leurs environnements.

La taille du génome est généralement corrélée à la complexité de l'organisme chez les procaryotes. Au niveau des gènes, on y retrouve certaines séquences conservées qui présentent des homologies avec d'autres séquences provenant d'espèces différentes. La similarité entre les séquences conservées peut être un indicateur d'une origine commune ou d'une fonction commune. De nos jours, les techniques de séquençage se sont grandement améliorées, si bien que les séquences complètes du génome de plusieurs organismes vivants ont pu être identifiées. À l'aide de la bioinformatique, il est maintenant possible de comparer plusieurs génomes de différentes espèces, d'origine rapprochée ou non, d'identifier les domaines conservés dans leurs séquences et de possiblement établir la fonction hypothétique des gènes. Par exemple, la séquence d'un gène non caractérisé qui possède une région similaire au motif « sigma-70 » que l'on retrouve chez des gènes qui codent pour un facteur sigma permettrait d'attribuer une fonction hypothétique à ce gène, sans toutefois en connaître le rôle précis dans la cellule. Malgré tout, une proportion importante de la plupart des génomes code pour des protéines dont la fonction demeure inconnue. Ainsi, le défi actuel et pour les années à venir n'est plus seulement de connaître la séquence d'un gène, son positionnement sur le génome ou même son niveau d'expression, mais bien de connaître sa fonction et son rôle au sein de la

cellule. Dans le cadre de ce travail, nous nous intéresserons au rôle du gène *tdd8* (SCO2368) chez *Streptomyces coelicolor*, un gène de fonction inconnue qui possède un motif *terD* très répandu chez plusieurs centaines d'espèces bactériennes et pour lequel la fonction demeure toujours insaisissable.

1.2. Les streptomycètes

En 2002, la séquence complète du génome linéaire de *Streptomyces coelicolor* A3(2) fut rendue publique (Bentley et al., 2002). Ce fut le premier génome chez les streptomycètes à être complètement séquencé et par le fait même, avec ses 8,67 Mpb qui composent son chromosome, il fut le plus grand génome bactérien à être séquencé. Son grand nombre de gènes, 7825, reflète le nombre impressionnant de protéines exigé par la complexité de son cycle biologique et de l'environnement dans lequel il évolue. À l'heure actuelle, environ le tiers de ces gènes demeure encore de fonction inconnue (Borodina et al., 2005). Beaucoup de gènes sont consacrés à la régulation, 965 protéines (12,3%) sont prédictes comme étant de fonction de régulation, plus de 50 systèmes régulateurs à deux composantes et un nombre impressionnant de 65 facteurs sigma sont prédicts et dans plusieurs cas leurs fonctions de régulateurs ont été démontrées. (Bentley et al., 2002; Laing et al., 2006; Prescott et al., 2005; Yang et al., 2008).

Du point de vue de la phylogénétique, la famille des streptomycètes fait partie de l'ordre des actinomycétales. Ce sont des bactéries à Gram positif avec une composition du génome riche en guanine et cytosine (G+C) et appartenant à la classe des *Actinobacteria*. Il existe plus d'une centaine de genres différenciés, entre autres, par la séquence de l'ARN ribosomal 16S. Il s'agit de l'ordre possédant la plus grande diversité morphologique chez les procaryotes, en plus d'avoir le plus grand nombre de membres qui habitent le sol et les écosystèmes aquatiques (Hodgson, 2000; Stackebrandt et al., 1997). Il est intéressant de noter qu'il existe une très grande proximité phylogénétique entre les streptomycètes et les mycobactéries, tels que *Mycobacterium tuberculosis* et *Mycobacterium leprae* qui sont d'importants agents

pathogènes (responsables de la tuberculose et de la lèpre, respectivement) et dont les génomes ont également été séquencés (Alam et al., 2010). Il y a certainement beaucoup à apprendre en comparant la séquence des génomes et les systèmes de régulation que ces organismes ont en commun.

L'omniprésence des streptomycètes dans le sol est reconnue (Strap, 2006). Cet écosystème représente un défi pour la survie des streptomycètes puisqu'il s'agit d'un environnement particulièrement complexe et variable aux niveaux nutritionnel, physique et biologique. Plutôt rare chez les bactéries, les streptomycètes ont un cycle de vie complexe qui leur permet de faire face à ce défi à l'aide d'une différenciation morphologique qui prend forme d'abord par une croissance végétative filamentuse en ramification, et qui se transformera en hyphes aériennes portant de longues chaînes de spores pour la dissémination. Les streptomycètes jouent un rôle de premier ordre dans la décomposition et la minéralisation de la matière organique par la sécrétion de diverses enzymes extracellulaires hydrolytiques qui réduisent des polymères insolubles tels que les protéines, l'amidon, le xylane, la chitine et la cellulose. Ils sont donc un rouage important dans le recyclage du carbone et de l'azote piégés dans les débris organiques insolubles. Une des stratégies qui permet à ces bactéries de dégrader efficacement les polymères est de développer un mycélium végétatif immobile. Le mycélium permet la sécrétion au niveau local d'une concentration élevée de métabolites primaires telles des enzymes digestives (Hodgson, 2000). Ils sont aussi reconnus pour avoir une relation étroite avec la rhizosphère des plantes terrestres et aquatiques (Langlois et al., 2003).

Ce sont précisément pour leur importante activité dans le sol, notamment dans l'agriculture, que les streptomycètes ont d'abord été étudiés au début du XX^e siècle. Toutefois, il était clair pour les chercheurs de l'époque que ces bactéries disposent d'agents chimiques leur donnant un avantage compétitif par rapport aux autres microbes qui vivent dans le sol (Hopwood, 2007). C'est dans ce contexte que fut découvert, en 1943 chez *Streptomyces griseus*, le premier antibiotique isolé à partir d'une bactérie, la streptomycine. Cette découverte majeure fut loin d'être passée sous silence, puisqu'à cette même époque la tuberculose faisait rage dans plusieurs pays et que la streptomycine fut le premier remède à cette maladie. Dès lors, beaucoup d'importance fut accordée à la recherche sur les streptomycètes et leurs métabolites

secondaires. La compréhension du génome devint rapidement essentielle pour la caractérisation des mécanismes de biosynthèse. La découverte de la technologie de l'ADN recombinant en 1970 permit le développement de souches mutantes qui allaient servir d'outils à une meilleure compréhension du fonctionnement des différentes voies métaboliques et du mécanisme de différenciation morphologique complexe que l'on retrouve chez les streptomycètes (Hopwood, 2007). L'étude de l'espèce *Streptomyces coelicolor* était particulièrement intéressante pour les études génétiques puisque deux des antibiotiques produits par cette bactérie, l'undecylprodigiosine (Red) et l'actinorhodine (Act), ont une coloration rouge et violette, respectivement, permettant de visualiser leur production. La production d'antibiotiques pigmentés agissant comme marqueurs phénotypiques a ainsi permis à *S. coelicolor* d'être le sujet de nombreuses recherches dans lesquelles plusieurs fonctions de gènes furent identifiées. Aujourd'hui, cette bactérie est un outil de référence pour l'étude de la génétique des Actinomycètes (Hopwood, 2007). L'importance qu'accordent la médecine et l'industrie pharmaceutique aux streptomycètes s'orchestre au niveau d'une meilleure compréhension des voies métaboliques complexes desquelles résultent les métabolites secondaires. Les deux tiers des antibiotiques d'origine naturelle actuellement utilisés proviennent des streptomycètes. Ils sont également responsables de la production de plusieurs autres produits utilisés par l'industrie biopharmaceutique tels que des agents antitumoraux et immunosuppresseurs (Hopwood, 2007) et bien d'autres restent certainement à découvrir.

1.2.1 La respiration chez *Streptomyces coelicolor*

S. coelicolor est une bactérie aérobie stricte qui vit principalement dans le sol, là où la quantité d'oxygène disponible peut considérablement varier. Il a même été démontré que *S. coelicolor* avait la capacité de survivre plusieurs semaines en l'absence totale d'oxygène (van Keulen et al., 2007). Les principales voies métaboliques utilisées chez les bactéries aérobies strictes, notamment celles de la glycolyse et du cycle de Krebs, semblent être utilisées de façon préférentielle chez *S. coelicolor*. Toutefois, la bactérie dispose d'un cycle de vie complexe et

de plusieurs systèmes de régulation spécifiques qui lui permettent d'utiliser diverses stratégies et voies métaboliques alternatives encore méconnues, afin de survivre à différentes conditions de stress environnementaux.

La respiration est un processus fondamental dans lequel des électrons produits par l'oxydation de donneurs de faible potentiel redox, tel que le NADH, sont transférés successivement à travers une série de protéines liées ou associées à la membrane. L'ensemble de ces protéines constitue la chaîne de transport d'électrons (ETC). Le processus de transfert d'électron se termine par la réduction d'un accepteur d'électrons à haut potentiel redox, qui est généralement l'oxygène chez les organismes aérobies comme *S. coelicolor*. L'énergie libre libérée lors de ce processus est utilisée pour entraîner la translocation de protons à travers la membrane afin de générer un gradient électrochimique qui est utilisé pour la synthèse d'ATP, mais aussi à diverses fins, dont le transport actif. La ETC est composée de 4 complexes qui constituent la principale machinerie respiratoire : la NADH déshydrogénase (complexe I), la succinate-quinone oxidoreductase (complexe II), le quinol-cytochrome c oxidoreductase (complexe III) et finalement le cytochrome c oxydase (complexe IV). En condition aérobie, ce système s'assure de produire l'ATP via le complexe « ATP synthase » afin de générer l'énergie requise pour le bon fonctionnement de la cellule.

Lorsque les taux d'oxygène baissent, la bactérie s'adapte rapidement par la synthèse de cytochromes alternatifs, tels que le cytochrome bd qui présente une plus grande affinité pour l'oxygène et permet à la cellule de conserver un potentiel membranaire lui permettant de survivre en condition d'hypoxie au détriment d'une certaine efficacité énergétique (Borisov et al., 2011). L'énergie sous forme d'électron qui entre initialement dans la chaîne de transport d'électrons provient directement des molécules NADH et FADH₂ qui agissent en tant que donneurs d'électrons et qui sont principalement produites par le cycle de Krebs. Deux molécules de carbone entrent dans le cycle en tant qu'unité d'acétyle, alors que deux carbones quittent le cycle en tant que molécules de CO₂, un procédé dans lequel est produite une liaison phosphate de hautes énergies (ATP) et quatre transporteurs d'électrons (1x FADH₂, 3x NADH). Ces électrons, comme il a déjà été décrit, entrent dans la chaîne de transport des électrons et la phosphorylation oxydative mène à la formation d'ATP.

La plupart des molécules qui entrent dans le cycle de Krebs, comme l'acétyle-CoA, sont générées à partir du pyruvate, le produit final de la glycolyse. La glycolyse est une séquence de réactions cataboliques qui permet l'assimilation du glucose et la production d'énergie. Le glucose sera dégradé en pyruvate et de petites quantités de NADH et d'ATP seront formées [$\text{Glucose} + 2\text{ADP} + 2\text{Pi} + 2\text{NAD}^+ \rightarrow 2 \text{pyruvate} + 2 \text{ATP} + 2 (\text{NADH} + \text{H}^+) + 2\text{H}_2\text{O}$].

1.2.2. L'assimilation de l'azote chez les streptomycètes

Les streptomycètes disposent d'une machinerie complexe de régulation pour métaboliser l'azote sous différentes conditions de croissance ainsi que d'un certain nombre d'enzymes polyvalentes permettant l'assimilation de l'azote. La source d'azote minéral de préférence pour la plupart des bactéries incluant *S. coelicolor* est l'ammonium. Les streptomycètes possèdent deux voies d'entrée pour l'assimilation de l'ammonium: la glutamate déshydrogénase (GDH) et la glutamine synthétase (GS) (figure 1). La GDH possède une affinité relativement faible pour l'ammonium (valeur K_m relativement élevée) et nécessite l'apport de l'oxoglutarate pour produire du glutamate. Ainsi, elle est généralement active lorsque l'azote est fortement disponible dans l'environnement ($> 1\text{mM}$ ammonium). Dans le cas contraire, c'est-à-dire sous condition limitée d'azote, c'est la voie de la GS qui est utilisée.

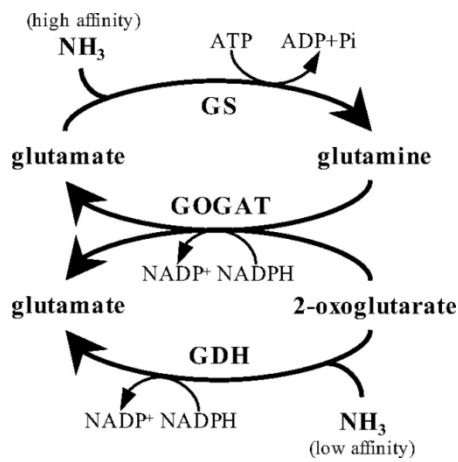


Figure 1 Assimilation de l'azote chez les procaryotes. L'assimilation de l'ammonium (NH_4^+) est médiée soit par la glutamine synthétase (GS) lors d'une faible concentration d'ammonium (forte affinité pour NH_4^+) ou par la glutamate déshydrogénase lors de forte concentration d'ammonium (faible affinité pour NH_4^+). Le glutamate peut être synthétisé par l'action couplée de la GS et la glutamate synthétase (GOGAT) ou par la GDH.(Yan, 2007)

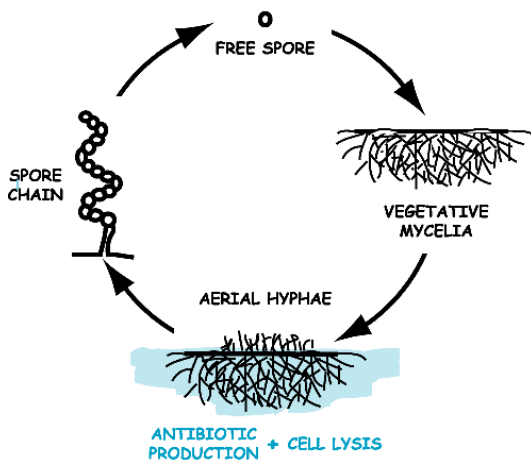
La GS joue un rôle clé dans le métabolisme de l'azote puisqu'elle agit sur deux fonctions essentielles, celle de l'assimilation de l'ammonium et celle de la synthèse de la glutamine. Les streptomycètes possèdent un impressionnant nombre de cinq gènes qui codent pour différentes GS (*glnA*, *glnA2*, *glnA3*, *glnA4* et *glnII*). L'activité de la GS provient principalement de l'enzyme GlnA (GSI) secondée par l'enzyme de type eucaryote GlnII (GSII) qui est relativement rare chez les bactéries, même chez les actinobactéries. GlnII est surtout active pendant la phase de croissance stationnaire, alors que le rôle des trois autres enzymes (GlnA2, GlnA3 et GlnA4) demeure obscur. Chez *S. coelicolor*, le régulateur global qui contrôle les gènes impliqués dans le métabolisme de l'azote est GlnR. Il s'agit d'un régulateur réponse orphelin puisqu'il n'a pas de capteur kinase connu. Il a été démontré que GlnR régule au moins 13 gènes, dont 6 sont directement impliqués dans le métabolisme de l'azote (Tiffert et al., 2011).

1.2.3 La différenciation morphologique et le métabolisme secondaire

Le cycle de vie complexe des *Streptomyces* est certainement un des éléments qui leur permet d'évoluer aussi efficacement dans un environnement aussi complexe que le sol. Bien que certains événements et gènes impliqués dans la différenciation morphologique chez *S. coelicolor* demeurent à être élucidés, plusieurs éléments sont maintenant connus et en voici un survol.

1.2.3.1 Différenciation morphologique en culture solide

Lorsque *S. coelicolor* évolue sur un substrat solide, la germination des spores est induite en conditions environnementales favorables. Un ou plusieurs tubes germinatifs émergent d'une spore et s'allongent par une extension des hyphes au niveau apical. Les hyphes forment des embranchements qui donnent naissance au mycélium végétatif qui poursuit sa croissance en se ramifiant dans différentes directions pour former un îlot qui s'étend progressivement dans le but d'atteindre les ressources du milieu (Manteca et al., 2007) (figure 2). Une cascade de signaux complexes, impliquant un processus de mort cellulaire programmée (MCP) sur plusieurs hyphes induit une différenciation cellulaire à partir des segments viables. Le développement de filaments évoluera vers un mycélium multinucléé et une épaisse couche hydrophobe caractérisera par la suite ce mycélium et permettra son érection dans l'air pour former un mycélium aérien (Flärdh et Buttner, 2009). Les hyphes aériennes multinucléiques s'organisent ensuite via plusieurs processus cellulaires qui impliquent une septation des cellules apicales permettant d'aboutir à la formation de chaînes de spores (Angert, 2005) (figure 2).



The Streptomyces Life Cycle

Figure 2 Représentation schématisée du cycle de vie de *Streptomyces coelicolor* (schéma de Camille M. Cao, Stanford University).

1.2.3.2 Différenciation morphologique en culture liquide

Dans un contexte de productions industrielles utilisant les streptomycètes, les bactéries sont habituellement cultivées en milieu liquide et c'est également le cas pour les recherches présentées dans cette thèse. Sous ces conditions, le processus de sporulation se concrétise rarement, seulement quelques espèces peuvent sporuler et uniquement sous des conditions nutritionnelles particulières (Daza et al., 1989; Manteca et al., 2008). Comme pour la croissance sur substrat solide, le cycle débute avec la germination des spores. Ensuite, des hyphes se forment par croissance apicale où des cloisonnements membranaires compartimentent les nucleoïdes, ce qui correspond à la phase du mycélium compartimenté (MI). Ces hyphes se développent en forme de boulettes et la croissance se poursuit de façon radiale. Un processus de MCP se déclenche à partir du centre de la masse sphérique du mycélium et ce processus coïncide avec un arrêt de croissance de la sphère appelée période de transition (Manteca et al., 2008). Cette MCP est un mécanisme enzymatique qui altère la perméabilité de la membrane jusqu'à une lyse cellulaire, mais seulement une partie du

mycélium en est affecté. Les protéines libérées sont diversifiées, mais elles sont généralement des enzymes impliqués dans la dégradation de macromolécules cellulaires, des protéines de régulation et des protéines de réponse au stress (Manteca et al., 2006b). Il est également plausible que le lysat cellulaire soit une source de nutriments rejetés qui pourrait être recyclée dans le cadre du processus de développement (Miguelez et al., 1999). D'ailleurs, la production d'antibiotiques immédiatement après cet événement de MCP pourrait être liée à la protection de cette source de nutriments endogènes contre l'exploitation par d'autres organismes voisins (Chater, 2011). Le mécanisme qui induit la MCP est toujours à l'étude, il a été proposé que l'entrée dans cette phase puisse être déclenchée par l'épuisement de l'oxygène ou de nutriments au centre de la boulette (Manteca et al., 2008). Pour les portions du mycélium qui n'ont pas subi de mort cellulaire, la MCP demeure toutefois un événement nécessaire à la différentiation vers la formation du second mycélium. Ce nouveau mycélium multinucléé (MII) arbore des septations sporadiques et va se développer à l'intérieur des boulettes ainsi qu'en périphérie, donnant lieu à une seconde phase de croissance. Le second mycélium MII est caractérisé par la production de métabolites secondaires. Ainsi, les antibiotiques Red, CDA (antibiotique dépendant du calcium) et Act sont produits par ce second mycélium, alors qu'ils ne peuvent l'être par le premier (Manteca et al., 2008). Dans le cas de l'antibiotique Red et CDA, l'expression des gènes impliqués dans sa production et son apparition visuelle dans un milieu de culture se produit pendant la phase de transition et marque le début de la production de l'ensemble des métabolites secondaires (Huang et al., 2001). Dans le cas de l'antibiotique Act, l'expression des gènes impliqués dans sa production se réalise généralement en début de phase stationnaire et est dépendante de l'expression de Red. La figure 3 schématisse les grandes étapes du cycle de développement de *S. coelicolor*.

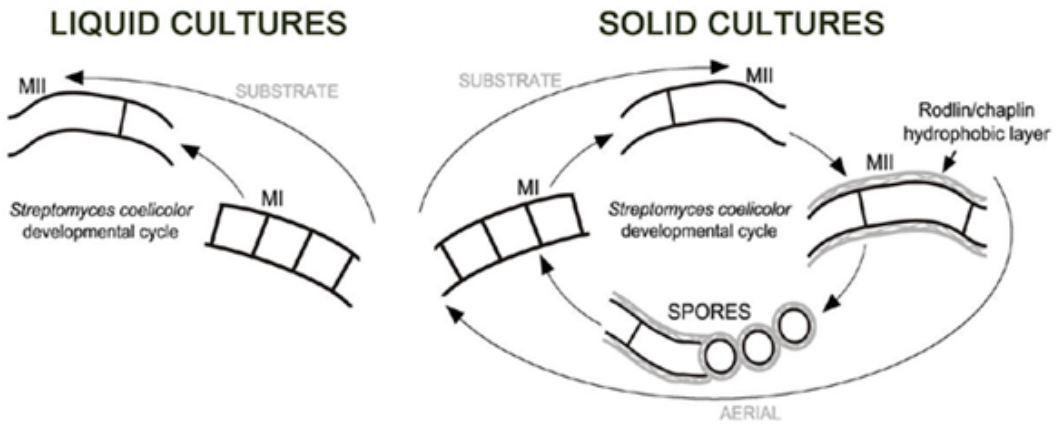


Figure 3 Schématisation des étapes de développement à partir de cultures liquides et solides chez *Streptomyces coelicolor* (Manteca et al., 2010).

1.2.3.3 Génétique associée à la différenciation morphologique

Concernant la génétique, la différenciation morphologique se caractérise par la régulation en cascade de gènes impliqués à chacune des étapes spécifiques. L'une des étapes qui présente un intérêt pour la recherche est celle de la transition entre le mycélium MI et le mycélium MII puisqu'elle marque le début d'une spécialisation du mycélium par la production de métabolites secondaires permettant à la cellule une forme d'adaptation à son environnement. Toutefois, peu d'évènements génétiques connus caractérisent cette période de transition, mis à part l'expression des gènes qui conduisent à la synthèse des antibiotiques Red et CDA; les gènes initiant la MCP étant toujours inconnus. Par contre, il est bien compris que le mécanisme de différenciation morphologique qui conduit au second mycélium MII s'opère initialement par l'activation de plusieurs gènes connus lors du développement du premier mycélium MI.

Tel que mentionné précédemment, la phase de croissance végétative sur milieu solide débute par la germination d'une spore. La germination implique le gonflement de la spore, suivie par l'établissement de la polarité cellulaire et d'une croissance apicale. Chez les *Streptomyces*, le

gène codant pour la protéine en superhélice DivIVA dirige la synthèse de la paroi cellulaire apicale. Cette protéine joue un rôle important dans la division cellulaire tout au long de la différenciation morphologique associée à la germination et à la présporulation (figure 4c) (Flärdh et Buttner, 2009). Le passage au mycélium végétatif à aérien nécessite au moins 3 différentes classes de protéines, le peptide SapB analogue aux lantibiotiques, les chaplines et les rodlines qui participent notamment à la formation de la structure de l'enveloppe hydrophobe enrobant l'hyphe pour lui permettre de se retirer du substrat aqueux et de s'étendre dans l'air.

Le peptide SapB ne semble pas posséder les propriété antimicrobien d'un lantibiotique, mais possède des propriétés surfactantes et fait partie du groupe de protéines Sap (spore-associated protein) que l'on retrouve sur l'enveloppe de la spore (Im, 1995). Le peptide SapB découle de la moitié C-terminale de la protéine codée par *ramS* et est le résultat d'un traitement protéolytique et d'une modification post-traductionnelle. RamS est codée par *ramS*, qui fait partie de l'opéron *ramCSAB* (rapid aerial mycelium operon). Les autres gènes dans l'opéron son *ramC* qui code pour une protéine responsable de la modification post-traductionnelle de SapB et *ramAB* qui code pour un transporteur ABC qui exporte SapB vers l'enveloppe extérieure de l'hyphe (figure 4a) (McCormick et Flärdh, 2012). Le gène *ramR* code pour le régulateur de cet opéron (Willey et al., 2006).

Plusieurs gènes codent pour les chaplines et les rodlines. Les gènes *chpA*, *chapB* et *chpC* qui codent pour les chaplines longues et *chpD*, *chpE*, *chpF*, *chpG* et *chpH* qui codent pour les chaplines courtes, alors que les gènes *rdlA* et *rdlB* codent pour les rodlines. Les chaplines s'assemblent entre elles via leurs domaines chapline pour former une structure analogue aux filaments amyloïdes sur la surface des hyphes aériennes et des spores. Les chaplines longues possèdent deux copies du domaine chapline, alors que les chaplines courtes n'en possèdent qu'une seule copie. Tous les deux contribuent différemment à l'assemblage des fibrilles de chaplines, mais la distinction exacte au niveau de leur rôle demeure incomprise (McCormick et Flärdh, 2012). Contrairement aux chaplines, les rodlines ne sont pas essentielles à la formation du mycélium aérien, mais elles jouent un rôle important dans l'organisation des filaments de chaplines en ultrastructure qui est assemblée sous forme de paire de bâtonnets

(« rodlet ») (figure 4b). Les rodlines ne sont pas elles-mêmes des composantes de la couche de bâtonnets distincts observée sur la surface des spores (Bibb et al., 2012; McCormick et Flärdh, 2012).

En culture immergée, les niveaux d'expression des gènes qui codent pour les chaplines, les rodlines et SapB sont similaires à ceux observés en culture solide (Manteca et al., 2010). Toutefois, leurs rôles pourraient différer puisqu'en condition liquide le mycélium (MII) ne possède pas de couche hydrophobe, mais leurs présences demeurent nécessaires à la formation de ce second mycélium (Manteca et al., 2010).

Les gènes qui codent pour SapB, les chaplines et les rodlines sont exprimés au cours de la phase végétative de développement. Leurs expressions sont toutefois dépendantes de celles des gènes « *bld* » (*bldA, B, C, D, G, H, J, K, L, M et N*) qui codent pour des régulateurs impliqués dans le contrôle de l'initiation de la formation du mycélium MII (Capstick et al., 2007; Elliot et al., 2003). La délétion d'un de ces gènes *bld* cause généralement une incapacité de formation du second mycélium (Hopwood et al., 1970). Le rôle de chacun de ces gènes régulateurs demeure encore à l'étude (McCormick et Flärdh, 2012). Notons simplement que l'expression de *bldN* qui code pour le facteur sigma ECF (fonction extracytoplasmique) σ^{BldN} et dont l'expression dépend de signaux extracellulaires joue un rôle important dans la régulation des gènes qui codent pour SapB, les chaplines et les rodlines (Bibb et al., 2012; Manteca et al., 2010). Également, notons que le complexe *bldK* (*bldKA, KB, KC, KD et KE*) intervient au début de la cascade de signalisation des gènes *bld*. Ce complexe code pour un transporteur d'oligopeptides qui agit comme le récepteur d'un signal extracellulaire et un régulateur impliqué au niveau de la différenciation morphologique et physiologique (Nodwell et Losick, 1998).

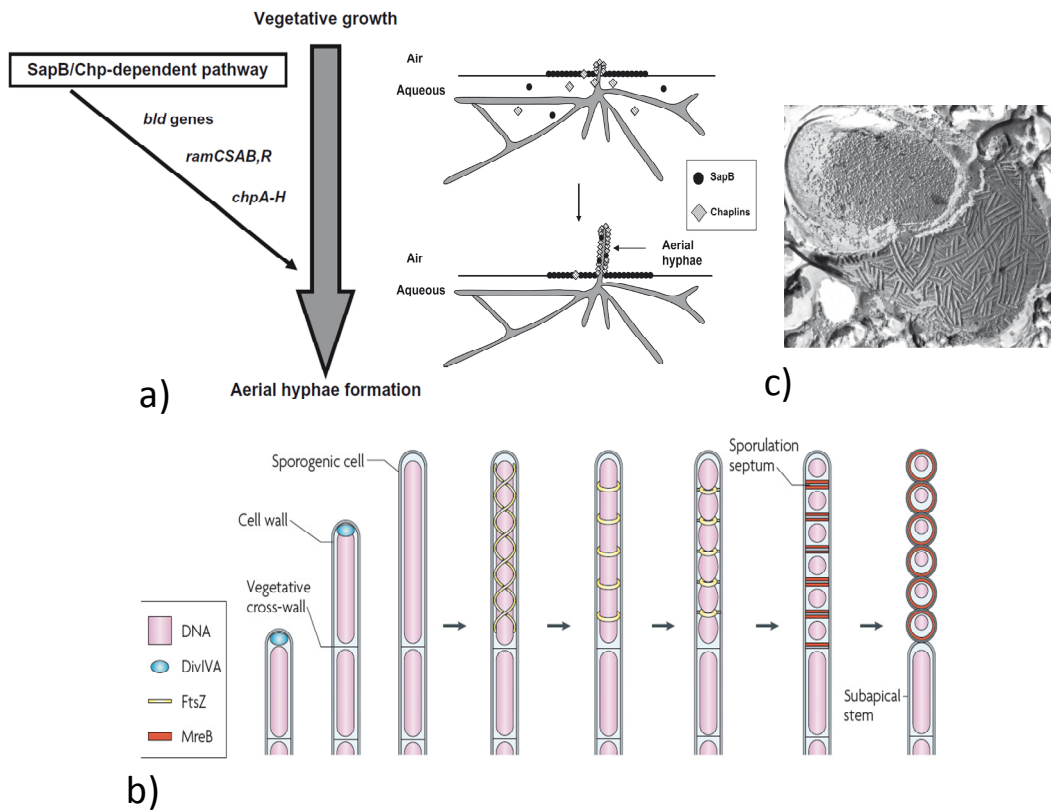


Figure 4 Schématisations et photo représentant différentes étapes de la différenciation morphologique pour la formation du mycélium aérien et de la sporulation chez *S. coelicolor*. a) Schéma de gauche- Régulation de la formation de l'hyphe aérienne en milieu riche où l'activité des gènes *bld* et ceux des gènes codant pour SapB et les chaplines sont nécessaires à leur formation. Schéma de droite- Modèle de l'activité des protéines morphogéniques SapB et les chaplines dans la formation d'une enveloppe hydrophobe autour des hyphes aériennes (Capstick et al., 2007; Elliot, 2008). b) Orchestration de l'ensemble de la paroi cellulaire et de la division cellulaire. Les hyphes aériennes croissent par extension apicale et sont structurées par DivIVA. La formation d'une cellule apicale sporogène implique l'arrêt de la croissance. FtsZ s'assemble en filaments hélicoïdaux qui sont remodelés en « Z-ring » et espacés de façon régulière pour orienter le cloisonnement de la sporulation. Après l'achèvement des cloisons, MreB va permettre de produire une épaisse paroi qui s'assemble

autour des préspores. Initialement, MreB est localisée dans les cloisons cellulaires apicales, mais se déploiera autour de la spore par la suite (Flärdh and Buttner, 2009); c) Ultrastructure des rodlets de spores. Préparation par « Freeze-etch » d'une spore montrant l'enveloppe de paires de rodlets caractéristique de la couche hydrophobe qui enrobe les hyphes aériennes et les spores (Elliot, 2008).

La différenciation de l'hyphé aérienne d'un stade de pré-sporulation à un stade de sporulation se réalise au niveau de la cellule sporogène qui est en fait la cellule apicale d'une hyphé aérienne qui s'allongera et sera convertie en spore. Un groupe de 5 gènes régulateurs clés sont strictement et non conditionnellement requis pour les premiers stades de la conversion des hyphes aériennes en spores, il s'agit de *whiA*, *whiB*, *whiG*, *whiH* et *whiI* (McCormick et Flärdh, 2012). La délétion d'un de ces gènes n'empêche pas la formation du mycélium aérien mais inhibe le processus de différenciation morphologique vers la formation des spores (Hopwood et al., 1970). La formation de spores dans les hyphes aériennes nécessite évidemment un contrôle temporel et spatial de la division cellulaire. Plusieurs gènes sont impliqués dans ce processus complexe. Parmi ceux-ci, d'abord, *ftsZ* dont la protéine codante, FtsZ, dirige la division cellulaire par un assemblage de filaments en anneau, nommé « z-ring » qui est nécessaire à la fois pour l'établissement des parois transversales de l'hyphé végétative et du cloisonnement des multiples copies du chromosome qui seront produites dans chaque cellule sporogène (Flärdh et Buttner, 2009). La structure de FtsZ permet également l'interaction avec d'autres composantes impliquées dans l'orchestration de la division, telles que SsgA qui aurait un rôle important pendant la ségrégation chromosomique pour le positionnement des septations dans la cellule sporogène (Noens et al., 2005) et CrgA qui contrôlerait la formation d'anneaux FtsZ (Del Sol et al., 2006; Flärdh et Buttner, 2009). Finalement, à la suite de la formation des cloisonnements, des gènes tels que *mreB* qui code pour une protéine impliquée dans l'épaisseur de la paroi cellulaire qui sera synthétisée autour des préspores. Les nucléoïdes se condenseront dans les spores en maturation et les chaînes unigénomiques seront ainsi formées (Flärdh et Buttner, 2009). Les spores sont caractérisées par une coloration grise due à la présence d'un composé aromatique de type

polycétide (Kieser et al., 2000). Ces spores de reproduction, résistantes à la dessiccation, fournissent un mécanisme de dissémination efficace vers de nouveaux environnements pour ces bactéries non mobiles et sans capacité de chimiotactisme (Elliot, 2008).

Bien que quelques revues de littérature dressent un portrait plus large de la différenciation morphologique chez *S. coelicolor* (Bibb et al., 2012; Elliot, 2008; Flärdh et Buttner, 2009; McCormick et Flärdh, 2012; Willey et al., 2006), il est encore impossible de tracer un portrait complet des signaux et des voies de signalisation menant à la régulation génétique des gènes impliqués dans la différenciation cellulaire. Toutefois, plusieurs facteurs dont les stress environnementaux, entre autres perçus par plusieurs facteurs sigma, vont venir moduler l'expression de ces gènes (McCormick et Flärdh, 2012).

1.2.4 Régulation des gènes en réponse aux stress environnementaux

Les streptomycètes ont la capacité de percevoir et de répondre aux changements environnementaux, ce qui est crucial pour leur survie dans l'écosystème naturel. De façon générale, pour arriver à capter les signaux de l'environnement et à mettre en place une réponse adaptative, les bactéries utilisent différents mécanismes de signalisation cellulaire. La régulation à deux composantes et l'utilisation de facteurs sigma alternatifs sont les deux mécanismes fondamentaux utilisés (Staron et al., 2009). La nature complexe du sol signifie également que les streptomycètes ont dû acquérir et faire évoluer une large gamme de voies métaboliques pour leur permettre de survivre dans cet environnement variable. L'un des aspects d'intérêt sur le métabolisme de *S. coelicolor* est leurs évolutions dans un environnement possédant une tension d'oxygène variable allant jusqu'à l'hypoxie ou l'anaérobiose, alors qu'ils sont des organismes identifiés « aérobies stricts ».

1.2.4.1 La régulation à deux composantes

Les systèmes de régulation à deux composantes sont gouvernés par au moins deux protéines. La première est un senseur (qui capte des signaux environnementaux) et qui comporte habituellement une kinase (kinase senseur). Cette protéine traverse la membrane cytoplasmique de sorte qu'un de ses domaines est exposé à l'environnement extracellulaire tandis que l'autre est exposée au cytoplasme. De cette façon, le senseur peut détecter des changements spécifiques dans l'environnement et communiquer l'information à l'intérieur de la cellule par un mécanisme de phosphorylation. La seconde composante est le régulateur-réponse, une protéine qui se fixe à l'ADN (Staron et al., 2009). Quand cette dernière protéine est activée par la kinase-senseur, le régulateur-réponse déclenche la transcription des gènes dont l'expression est nécessaire pour l'adaptation aux stimuli environnementaux détectés (Prescott et al., 2005). Le régulateur-réponse peut aussi réprimer la transcription de gènes qui ne sont pas requis dans des conditions spécifiques. Chez *S. coelicolor*, 84 gènes possèdent un domaine de senseurs kinases dont 67 sont adjacents à des gènes codant pour des régulateurs-réponses. La plupart de ces gènes ont des fonctions et cibles très peu caractérisées (Hutchings et al., 2004).

1.2.4.2 Les facteurs sigma

Les sous-unités de l'ARN polymérase (α , β , β' , ω) liées à un facteur sigma (σ) initient généralement le processus de transcription et cette liaison est déterminante pour la reconnaissance du promoteur sur l'ADN. Typiquement, la transcription lors de la croissance exponentielle est initiée par l'holoenzyme où l'ARN polymérase se lie au facteur sigma principal (σ). Des facteurs sigma alternatifs contrôlent des régulons spécialisés qui sont activés durant des conditions de stress, lors d'une étape de croissance en transition ou lors de différenciations morphologiques (Gruber et Gross, 2003). Les facteurs sigma sont divisés en

deux grandes familles, σ^{70} et σ^{54} , mais chez les bactéries à Gram positif riches en G+C, telles que les streptomycètes, seul le σ^{70} est retrouvé (Gruber et Gross, 2003). La famille σ^{70} est subdivisée en quatre groupes phylogéniques. Le groupe 1 contient le facteur sigma principal codé par *hrdB* chez *S. coelicolor*. Il est essentiel à la transcription de gènes impliqués dans des fonctions primaires essentielles (housekeeping). Les facteurs sigma du groupe 2 jouent un rôle similaire à celui du facteur principal, mais contrairement au facteur principal, ils ne sont pas indispensables à la croissance. Les facteurs sigma du groupe 3 possèdent des séquences plus divergentes que celles du groupe 1 et 2, ce qui leur permet généralement l'activation de régulons qui regroupent des gènes de fonctions spécifiques, tels que les gènes impliqués dans une réponse à un choc thermique ou les gènes qui initient le processus de sporulation, par exemple les gènes *whi*. Finalement, les facteurs sigma du groupe 4 nommé ECF (fonction extracytoplasmique) représentent le groupe le plus important en terme de nombre avec 51 des 65 facteurs sigma identifiés chez *S. coelicolor* (Gruber et Gross, 2003). Ces facteurs sigma du groupe 4, répondent généralement à des signaux extracellulaires. Les facteurs sigma ECF, sont souvent cotranscrits avec un facteur anti-sigma qui est situé au niveau transmembranaire et en absence de stimuli, ils vont séquestrer le facteur sigma correspondant (Gruber and Gross, 2003; Staron et al., 2009). Le facteur σ^{BldN} dont nous avons vu plus tôt l'implication dans la différenciation morphologique, σ^E nécessaire à l'expression des gènes impliqués dans la détection et la réponse aux changements de l'intégrité de l'enveloppe cellulaire et σ^R nécessaire à l'expression des gènes impliqués dans la détection et la réponse au stress oxydatif sont des exemples de facteurs sigma ECF. La figure 5 présente les différents gènes qui codent pour les différents groupes de facteurs sigma chez *S. coelicolor*.

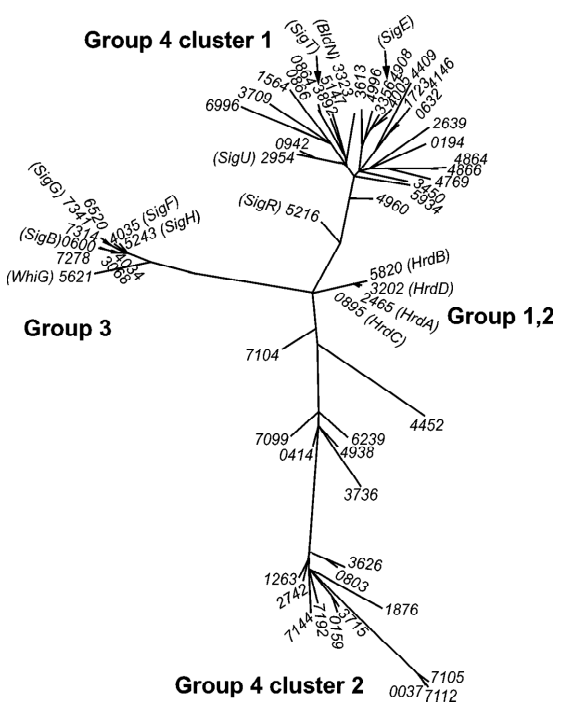


Figure 5 Facteurs sigma chez *S. coelicolor* regroupés par l’alignement des séquences de la région 1,2 à 2,4 (*domaine 2, qui inclut une région non conservée et la séquence qui lie la région -10 du promoteur*) présentés selon les 4 différents groupes σ^{70} . Les numéros correspondent à l’identification de gènes SCO du NCBI (Gruber et Gross, 2003).

1.2.4.3 Réponse aux stress anoxique chez les Streptomycètes

L’habileté à s’adapter à des conditions d’hypoxie ou à survivre à des conditions d’anaérobies permet aux organismes un avantage sélectif distinct dans un environnement naturel. Des études relativement récentes ont démontré que les membres de plusieurs genres, par exemple, *Pseudomonas aeruginosa* (Zimmermann et al., 1991), *Bacillus subtilis* (Nakano et al., 1997), *Arthrobacter globiformis* (Eschbach et al., 2004), précédemment identifiés à des organismes aérobies strictes sont capables de croître soit par fermentation et/ou par la respiration anaérobie avec du nitrate (van Keulen et al., 2007). Bien qu’il n’existe aucune démonstration que *S. coelicolor* puisse croître en anaérobiose, la séquence de son génome (Bentley et al., 2002) révèle plusieurs enzymes caractéristiques du métabolisme respiratoire par anaérobie retrouvé normalement chez des organismes anaérobies facultatifs. Dans la plupart des cas, le

rôle de ces protéines demeure à être élucidé chez *S. coelicolor* et une meilleure compréhension de la fonction de ces gènes permettrait de donner un aperçu des stratégies développées par la bactérie pour survivre à la limitation d'oxygène. L'examen de la séquence du génome permet de constater qu'en plus des gènes de nitrate et nitrite réductase associés à l'assimilation de l'azote, l'organisme dispose de trois copies de l'opéron *narGHJI*, qui codent pour des nitrates réductases respiratoires. La nitrate réductase respiratoire est une molybdoenzyme associée à la membrane qui permet la réduction des nitrates pour la génération d'un gradient de protons. La présence de plus de deux copies de cet opéron dans une bactérie est inhabituelle (van Keulen et al., 2005). Également associé à la respiration cellulaire, le gémone de *S. coelicolor* possède une séquence qui correspond aux gènes de l'opéron *cydABCD* qui code pour le cytochrome b oxydase (cytochrome bd), un cytochrome alternatif dont l'expression est induite par une faible concentration d'oxygène (Borisov et al., 2011).

La régulation transcriptionnelle joue souvent un rôle clé dans le contrôle de la réponse des bactéries à l'apparition de l'anoxie. Le génome de *S. coelicolor* possède plusieurs régulateurs qui partagent une grande similarité avec des facteurs de transcription actifs en condition redox retrouvée chez d'autres micro-organismes. Mentionnons notamment deux histidines kinases et un régulateur de réponse présentant une similarité en acides aminés avec DosS-DosT-DosR de *Mycobactérium tuberculosis*, un système à deux composantes qui commande l'adaptation à anaérobiose par l'activation d'un processus de dormance. *S. coelicolor* code également pour au moins deux régulateurs de transcription appartenant à la famille CRP/FNR. Toutefois, aucun de ces régulateurs putatifs n'a le motif de signature de résidus cystéinyle en N- ou C-terminal nécessaires pour coordonner le centre [4Fe-4S], qui est impliqué dans la détection du dioxygène par FNR chez plusieurs genres bactériens (Korner et al., 2003). L'étude de ces régulateurs et les mécanismes d'adaptation en anoxie encore méconnus, permettra une meilleure compréhension des capacités de *S. coelicolor* à répondre à un stress à l'anoxie.

Au niveau expérimental, *S. coelicolor* supporte très bien des conditions d'hypoxie avec un taux de croissance similaires à celui observé en condition aérobie (van Keulen et al., 2007). Il faut souligner que contrairement à *Campylobacter jejuni*, une espèce microaérophile qui ne peut pas se développer en anaérobiose en raison d'un manque de la ribonucléotide réductase

indépendante de l'oxygène, *S. coelicolor* possède à la fois le moyen de faire la synthèse des désoxynucléotides par la voie d'enzyme dépendant et indépendant de l'oxygène, ce qui signifie qu'il existe une autre raison à son incapacité à se développer en anaérobiose (van Keulen et al., 2007).

Mycobacterium tuberculosis est également incapable de se développer en anaérobiose, en dépit d'une nitrate réductase respiratoire (Sohaskey and Wayne, 2003). *M. tuberculosis* est toutefois capable de survivre en condition d'anaérobiose pour plusieurs mois voir même quelques années en entrant dans un état de dormance (Wayne et Hayes, 1996). Il est possible que la capacité de réduire le nitrate serve uniquement comme un moyen de fournir de l'énergie au cours de l'adaptation de *M. tuberculosis* pour l'anaérobiose et il est donc possible que ces enzymes respiratoires puissent aider *S. coelicolor* à s'adapter à l'anaérobiose (van Keulen et al., 2007). *S. coelicolor* est en mesure de survivre à une chute abrupte vers des conditions d'anaérobiose et de maintenir un taux de survie de 80% après 6 semaines sous ces conditions (van Keulen et al., 2007). Toutefois, ce ne sont pas tous les *Streptomyces* qui ont cette capacité de survie sous les mêmes conditions, *S. avermitidis* est incapable de survivre dans des conditions d'anaérobies malgré une très grande similarité avec la structure du génome de *S. coelicolor*. Bien que la région centrale de leur génomes qui représentent plus de 50% des gènes soit presqu'identiques, les régions aux extrémités du génome présentent des variations considérables qui pourraient certainement expliquer la capacité d'adaptation à l'anaérobiose de *S. coelicolor*. D'ailleurs, une des différences au niveau des deux génomes est l'absence de gène de code pour une nitrate réductase respiratoire, mais une expérience avec une souche mutante dépourvue de nitrate réductase respiratoire n'a pas permis de réduire la capacité de *S. coelicolor* à s'adapter à l'anaérobiose. En dehors de ces enzymes d'anaérobies, il est difficile d'identifier un gène qui permettrait de fournir une explication simple à cette différence dans la survie à ce stress (van Keulen et al., 2007). Le génome de *S. coelicolor* code pour plus de 250 oxydoréductases (Bentley et al., 2002), dont beaucoup ont des fonctions inconnues. Il est concevable que plusieurs oxydoréductases puissent être induites en réponse à une anaérobiose, et qui grâce à l'utilisation d'accepteurs d'électrons exogènes disponibles, permettrait

cumulativement un bas niveau métabolique et donc le maintient d'un potentiel membranaire (van Keulen et al., 2007).

1.3 La technologie des puces à ADN

Une puce à ADN, communément appelée « microarray » en anglais, est constituée de fragments d'ADN produits par PCR ou fabriqués en tant qu'oligonucléotides qui sont immobilisés sur un support solide (généralement de verre) selon une disposition ordonnée. Le fonctionnement de la puce à ADN repose sur un principe qui origine de l'hybridation moléculaire utilisée dans les technologies du Southern blot et Northern blot. Le brin d'ADN simple disposé sur le support (sonde) est spécifiquement sélectionné pour capturer un brin complémentaire. Ce brin complémentaire d'ADN (cible) est produit à partir d'un échantillon d'ARN et marqué lors d'un processus de transcription inverse. Généralement, ce sont les fluorophores Cy3 et Cy5 qui servent pour le marquage. L'affinité naturelle qu'a l'ADN simple brin à se lier à sa séquence complémentaire va permettre, sous des conditions favorables à l'hybridation, aux ADN complémentaires marqués (cible) une liaison d'hybridation unique et spécifique avec une des séquences d'ADN des sondes fixées sur la puce à ADN. Cette technique permet de détecter et de quantifier l'abondance de transcrit pour chacune des séquences nucléiques spécifiques fixées sur la puce à ADN. L'hybridation s'effectue généralement avec deux cibles en même temps (chacun un fluorophore différent), ce qui permet de comparer sur une même puce à ADN deux échantillons différents. Un lavage va permettre de conserver uniquement les cibles hybridées avec leurs sondes complémentaires. La puce à ADN sera alors soumise à un laser d'une longueur d'onde correspondant au spectre maximal d'absorption du fluorophore utilisé et par numérisation l'intensité de l'émission produite par ce fluorophore fixé sur la cible sera mesurée. Cette émission (signal) sert d'estimation de l'abondance d'un transcrit. Puisque la séquence d'une sonde est généralement spécifique à la séquence d'un seul gène, le signal permet ainsi d'établir le niveau d'expression de chaque gène correspondant.

1.3.1 L'analyse des données

Pour procéder à la quantification et l'analyse des données, un logiciel de quantification doit préalablement identifier les mauvaises images et être en mesure de distinguer et soustraire le bruit de fond par rapport au signal réel émis par la sonde hybride (Bogard, 2008). Les données brutes acquises doivent ensuite être normalisées.

La normalisation consiste essentiellement à ajuster l'intensité individuelle du signal mesuré d'une hybridation pour équilibrer et réaliser des comparaisons qui sont biologiquement significatives. Il existe plusieurs raisons pour effectuer une normalisation de nos données, que ce soit une quantité ou une qualité inégale d'ARN au départ, une différence dans le marquage, l'efficacité de la détection entre les fluorophores utilisés ou le biais systématique lors de la mesure des niveaux d'expression (Bogard, 2008; Quackenbush, 2002). Il existe une quantité impressionnante de revues de littérature dédiées uniquement à la normalisation qui identifient et expliquent les très nombreuses façons de normaliser des données brutes à partir de puces à ADN (Bilban et al., 2002; Meiklejohn and Townsend, 2005; Park et al., 2003; Quackenbush, 2002; Smyth and Speed, 2003; van Bakel and Holstege, 2004; Wolkenhauer et al., 2002). Les résultats dans cette thèse proviennent de données normalisées à partir de l'ADNg comme référence commune et du type de normalisation globale dont nous discuterons à la section: discussion générale.

1.3.2 L'expression relative et différentielle

Généralement, les valeurs utilisées pour calculer les ratios sont celles provenant de la médiane, car elles sont moins sensibles que les intensités moyennes aux biais provoqués par les valeurs extrêmes (Lin, 2004). L'intensité du signal pour chaque spot correspond à la différence entre la médiane d'intensité de tous les pixels dans une région cible et la moyenne du bruit de fond local à cette même région cible (Talaat et al., 2002).

Les ratios procurent une mesure intuitive des changements d'expression, toutefois, ils ont le désavantage de traiter les modulations (augmentation ou diminution) de façons différentes. Un gène qui est modulé par une augmentation d'un facteur de 2, aura un ratio d'expression de 2, alors qu'un gène qui est modulé par une diminution du même facteur aura un ratio d'expression de 0,5. Le logarithme permet de transformer le ratio d'expression en fonction linéaire. La transformation la plus couramment utilisée pour pallier ce désavantage est d'utiliser le logarithme de base 2, qui permet de produire un spectre continu de valeur qui traite les augmentations et les diminutions de la même façon. Un rappel que le logarithme traite symétriquement un nombre et leur inverse : $\log_2(1) = 0$, $\log_2(2) = 1$, $\log_2(\frac{1}{2}) = -1$, $\log_2(4) = 2$, $\log_2(\frac{1}{4}) = -2$ et ainsi de suite. Donc, le \log_2 (ratio) est généralement utilisé pour représenter les niveaux d'expression (Quackenbush, 2002).

L'expression relative correspond au ratio (T_1) de l'intensité du signal de l'ADNc₁ par rapport à l'ADNg (la référence commune). Pour obtenir l'expression différentielle, le ratio T_1 est comparé avec un autre ratio (T_2) qui correspond à l'intensité du signal de l'ADNc₂ par rapport à la référence commune. Le calcul du ratio des ratios (T_1/T_2) est mathématiquement équivalent que de comparer ADNc₁/ADNc₂. Ainsi, une fois normalisé, le ratio utilisé pour interpréter l'expression différentielle d'un gène peut être fait en comparant deux puces à ADN qui contiennent chacune une condition expérimentale et une même référence commune selon l'équation suivante :

$$\text{Expression différentielle} = \log_2 \left(\frac{\text{ADNc}_1/\text{ADNg}}{\text{ADNc}_2/\text{ADNg}} \right) = \log_2 \left(\frac{\text{ADNc}_1}{\text{ADNc}_2} \right);$$

1.4 La justification du sujet à l'étude dans cette thèse : le motif TerD

Bien que largement étudié par la communauté scientifique, *S. coelicolor* M145 possède un grand génome dont l'expression génique est régulée par des systèmes de contrôles complexes encore peu caractérisés. Ces systèmes de contrôle permettent notamment la croissance ou la survie de la bactérie sous différentes conditions de stress. Au niveau du protéome, il est

intéressant de constater que certaines des protéines qui possèdent un motif TerD sont parmi les protéines les plus exprimées. Initialement identifiées à un mécanisme de résistance au tellurite, les protéines ayant un motif TerD ont une fonction inconnue (Thomas et al., 2012).

L'étude de la résistance naturelle à des substances considérées nocives pour la plupart des bactéries a permis l'identification de mécanismes et molécules qui sont impliqués dans la réponse aux stress. C'est le cas du tellure, un métalloïde et un puissant oxydant généralement毒ique à faible dose pour les bactéries, qui a été fortement utilisée sous forme de tellurite de potassium comme marqueur sélectif pour l'isolement d'agents pathogènes tels *Escherichia coli* STEC (Shiga Toxin-producing Escherichia coli). La recherche d'un marqueur génétique lié à la capacité de résistance de certaines souches bactériennes au tellurite a conduit à la découverte d'un groupe de 7 gènes *ter* regroupés en opéron, *terZABCDEF*, qui étaient présents chez les souches résistantes. Des études de délétion génétique dans cet opéron ont établie que *terD* était l'un des gènes qui joue un rôle central dans la résistance au tellurite, puisque le mutant *terD* perd sa tolérance (Kormutakova et al., 2000). Plus récemment, il a été établi que plusieurs dizaines de gènes étaient impliqués dans le mécanisme de la résistance au tellurite et que *terD* était un des gènes de ce regroupement (Prigent-Combaret et al., 2012). Le motif *terD* est présent chez plus de 630 espèces parmi les Actinomycètes, Firmicutes, Proteobacteries et quelques organismes eucaryotes primitifs tels que les amibes et diatomées, et plusieurs de ces espèces ne présentent pas de tolérance au tellurite, tel que *S. coelicolor*. Le fait que les gènes de motif *terD* soient si nombreux et conservés chez les procaryotes suggère qu'ils n'ont pas évolué pour rendre les bactéries résistantes au tellurite, mais plutôt pour une ou plusieurs autres fonctions cellulaires importantes (Pan et al., 2011). L'étude de l'architecture des domaines des gènes de motif *terD* chez différentes espèces a permis d'observer des fusions variées avec notamment des domaines de nucléase, de liaison à l'ARN, des domaines liés à l'ubiquitine et des domaines de liaison aux métaux (Anantharaman et al., 2012). Bien que la fonction du motif TerD demeure obscure, sur la base de l'étude de la fusion de domaine associée au motif *terD*, un système impliquant des gènes de motif *terD* pourrait permettre de mobiliser différents types de systèmes de réparation, de régulation et de signalisation à la fois à la surface cellulaire et dans la cellule. De meilleures connaissances sur le rôle du motif TerD

pourraient permettre de définir de nouveaux systèmes de régulation et éventuellement aider au développement de nouvelles thérapies anti-bactériennes ou permettre d'augmenter la production de molécules d'intérêt.

1.4.1 Les gènes de *S. coelicolor* ayant un motif TerD

Chez *S. coelicolor*, il est possible d'identifier, par recherche en bio-informatique, 21 gènes répartis sur l'ensemble du génome qui possèdent un ou deux motifs *terD*, 17 de ces gènes avaient été initialement décrits par Sanssouci et al. (2011), quatre autres gènes, SCO0854, SCO2365, SCO2411 et SCO4953, s'ajoutent à cette liste. Les protéines codées par ces gènes sont toutes de fonction inconnue et désignées par le NCBI (National Center for Biotechnology Information) comme protéine hypothétique, protéine de résistance au tellurite, protéine de stress, protéine associée au transport ou à l'exportation. Ces fonctions n'ont toutefois pas été démontrées expérimentalement. En fait, avant les travaux présentés dans cette thèse, seulement deux études ont porté sur des protéines de motif TerD chez *S. coelicolor*, dont la dernière est présentée en annexe de cette thèse (Sanssouci et al., 2012). Dans la première de ces deux études réalisées par Sanssouci et al. (2011), il a été établi que les gènes qui codent pour des protéines avec motif TerD allaient porter l'appellation *tdd* pour gènes codant pour des « *TerD domains* » chez *S. coelicolor*. Ces deux études ont notamment porté sur les effets d'une délétion des gènes *tdd7* (SCO2367), *tdd8* (SCO2368) et *tdd13* (SCO4277) sur la différenciation morphologique et la sporulation. Ces gènes avaient été choisis à l'origine en raison de leur grande similarité avec le gène *terD* identifié initialement chez *Serratia marcescens* d'où provient l'identification de ce motif. Toutefois, bien que les séquences de ces trois gènes aient une très grande similarité entre elles, leurs mutations produisent toutes des effets différents sur la différenciation morphologique. Par exemple, les colonies produites par le mutant $\Delta tdd13$ étaient beaucoup plus petites que celles produites par la souche sauvage M145, alors que celles du mutant $\Delta tdd7$ avaient une croissance très lente et étaient beaucoup plus crevassées que M145 (Sanssouci et al., 2012).

1.4.2 Le gène *tdd8* de *S. coelicolor*

La première étude de Sanssouci et al., (2011), a porté exclusivement sur le gène *tdd8* de *S. coelicolor* M145. Pour étudier les impacts de la modulation de l'expression de *tdd8*, deux souches mutantes ont été produites, une par la délétion du gène *tdd8* ($\Delta tdd8$) via la méthode redirect et l'autre par recombinaison où une copie de *tdd8* avec son promoteur a été placée sur un plasmide pour permettre une surexpression de *tdd8* (*tdd8+*). Cette étude a démontré que l'absence ou la surexpression de *tdd8* n'affectait pas significativement le niveau de tolérance au tellurite qui est très faible avec une CMI (concentration inhibitrice minimale) de tellurite de potassium à 10-15 µM alors qu'une souche tolérante telle qu'*E. coli* pTE53 présentera une résistance allant jusqu'à 4 mM (Sanssouci et al., 2011). Ensuite, il a été démontré qu'il existait une grande différence en ce qui à trait à la sporulation tant au niveau de la morphologie des chaînes de spores, qu'au niveau de l'efficacité de leur production entre le mutant de délétion, la souche recombinante surexprimant le gène et la souche M145. Une surproduction de spores a été observée chez la souche mutante avec une morphologie de longues chaines de petites spores avec une enveloppe dense et non sphérique (de forme cubique). Alors que pour la souche qui surexprime *tdd8*, une très faible production de spores a été observée et les chaines de spores étaient courtes, avec des spores de formes irrégulières et de tailles variées (Sanssouci et al., 2011).

Bien que peu d'études aient directement été faites sur les gènes qui codent pour des protéines avec un motif TerD, plusieurs études portant sur *S. coelicolor* ont observé des modulations dans l'expression de gènes *tdd*, souvent *tdd8*, et ces études étaient associées à des expériences sous conditions de stress. Par exemple, il a été observé qu'un stress à l'éthanol (Novotna et al., 2003) ou qu'une délétion du gène codant pour le régulateur global de l'assimilation de l'azote, GlnR (Tiffert et al., 2011) augmentaient la présence de Tdd8 dans la cellule. Il a été établi que *tdd8* est fortement exprimé tout au long de la croissance bactérienne (Jayapal et al., 2008; Sanssouci et al., 2011), ce qui suggère un rôle d'importance dans un mécanisme cellulaire. Une étude protéomique a également révélé que Tdd8 était présent à la fois dans le protéome

intra et extracellulaire et plusieurs isoformes méthylés ont été identifiés (Sanssouci, 2010). Une étude sur le phosphoproteome de *S. coelicolor* a également observé une forme phosphorylée de Tdd8 à la fin de la différenciation morphologique liée à la présporulation (MII), ce qui suggère que *tdd8* puisse également être impliqué dans un mécanisme cellulaire de signalisation post-traductionnel dépendant de la phosphorylation (Manteca et al., 2011).

Une expérience par cristallisation a permis de publier dans PDB (Protein Data Bank) que Tdd8 possède deux sites de liaison aux ions calcium (PDB numéro 3IBZ). Une autre étude a aussi démontré que d'autres protéines ayant le motif TerD possédaient un ou des sites de liaison aux ions calcium et a permis d'identifier la séquence en acide aminé caractéristique de ce site de liaison (Pan et al., 2011). Cette découverte permet de supposer que la capacité à lier le calcium est déterminante dans la fonction biologique du motif TerD. Toutefois, le défi reste de taille, bien que l'importance du calcium en tant que régulateur cellulaire soit établie chez les eucaryotes, notamment à titre de messager universel où l'ion calcium transmet un signal de la surface vers l'intérieur de la cellule, le rôle du calcium au niveau de la régulation cellulaire chez les procaryotes demeure toujours évasif (Dominguez, 2004).

1.5 Les objectifs du projet de doctorat

Dans un effort pour identifier le rôle d'une protéine avec un motif *terD* chez un organisme non résistant à la tellurite, nous avons ciblé le gène *tdd8* de *S. coelicolor* comme sujet de recherche. Pour l'étude de ce gène, nous disposons de trois souches (M145, délétion ($\Delta tdd8$), surexpression (*tdd8+*) qui permettent trois contextes d'expression de *tdd8*. L'hypothèse soutenant le travail était que le rôle du gène *tdd8* pourrait être éclairci en comparant les effets d'une modulation dans l'expression de ce gène sur le transcriptome. Il pourrait ainsi être possible d'établir le rôle cellulaire de *tdd8* en comparant la fonction des gènes qui seraient différemment exprimés entre les souches.

Dans un premier temps, une analyse transcriptomique globale à partir de la technologie des puces à ADN permettra de comparer les transcriptomes de *Atdd8* et *tdd8+* avec celui de la souche de référence M145 à différents stades de développement. À partir des résultats générés par l'analyse transcriptomique, des regroupements de gènes différemment exprimés fait sur la base de fonction commune (connue ou prédictive) pourront permettre d'avancer des hypothèses sur l'implication de Tdd8 dans différent système.

Dans un deuxième temps, les regroupements de gènes qui présentent un intérêt seront analysés plus en détail, notamment par l'étude de leur expression transcriptomique lors de différents stress. Des mécanismes d'actions de Tdd8 seront par la suite proposés.

CHAPITRE 2

2.0 Identification d'un régulon DosR chez *Streptomyces coelicolor* par une comparaison transcriptomique du génome de souches présentant une expression différentielle de *tdd8*, un gène codant pour une protéine avec un domaine TerD

Bien que *S. coelicolor* ne soit pas résistant à la tellurite, il possède plusieurs gènes portant le motif *terD* décrit comme étant impliqué dans la résistance à ce minéral. La fonction des gènes qui codent pour un domaine TerD (*tdd*) chez *S. coelicolor* demeure énigmatique malgré le fait que Tdd8 est parmi les protéines les plus abondantes du protéome de *S. coelicolor*. Cette étude vise à déterminer la fonction globale de *tdd8* en comparant, à partir de puces à ADN, le profil d'expression génique globale de la souche *S. coelicolor* M145 avec ceux d'un mutant de délétion pour *tdd8* ($\Delta tdd8$) et d'une souche recombinante qui surexprime *tdd8* (*tdd8+*). L'expression de plusieurs gènes a été modulée par la délétion ou la surexpression de *tdd8*, incluant plusieurs gènes impliqués dans la différenciation morphologique et l'assimilation de l'azote. Également, plusieurs des gènes orthologues de *M. tuberculosis* impliqués dans un phénomène de dormance permettant sa survie sous conditions d'hypoxie ont été régulés à la hausse dans le mutant de délétion à l'apparition visuelle de la production de l'antibiotique au pigment rouge, l'undecylprodigiosine. L'analyse de la séquence de ces gènes prédit un rôle dans la réponse au stress redox, ce qui est supporté par un faible ratio NAD+/NADH chez $\Delta tdd8$. Ce groupe de gènes potentiellement impliqués dans la réponse au stress redox inclut deux grands loci (SCO0161-SCO0181 et SCO0197-SCO0220). Un motif de liaison similaire au site de liaison DosR de *M. tuberculosis* a été identifié dans les séquences en amont de la plupart des gènes dans ces loci. Cette étude suggère que Tdd8 est impliquée dans l'homéostasie redox.

Les travaux sont présentés à la section 2.2 « *Daigle, F., Lerat, S., Bucca, G., Smith, C.P., Malouin, F. et Beaulieu, C. Identification of a DosR-like regulon in Streptomyces coelicolor*

via a comparative global genome transcriptomics in strains exhibiting differential expression of tdd8, a TerD domain-encoding gene (soumis pour publication) ». Les expériences avec les puces à ADN et la normalisation des données pour les résultats présentés dans cet article ont été réalisées par François Daigle au laboratoire de Colin P. Smith à l’Université de Surrey au Royaume-Uni sous les conseils de Giselda Bucca. Les analyses statistiques et de regroupements provenant des données recueillies à partir des puces à ADN ont également été réalisées par François Daigle. Les résultats d’expression transcriptomique par RT-PCR quantitatif pour la corrélation des résultats provenant des puces à ADN ont été réalisés conjointement par François Daigle et Sylvain Lerat. Les expériences sur la détermination des ratios NAD+/NADH ont été réalisées par Sylvain Lerat. Finalement, les analyses de bio-informatique pour la recherche de séquences ont toutes été réalisées par François Daigle. François Malouin a agi comme conseiller pour la mise au point de méthodes expérimentales et la révision du présent manuscrit. Carole Beaulieu a agi comme directrice de recherche, conseillère pour la planification des travaux et superviseure dans la rédaction de ce manuscrit.

2.1 Identification of a DosR-like regulon in *Streptomyces coelicolor* via a comparative global genome transcriptomics in strains exhibiting differential expression of *tdd8*, a TerD domain-encoding gene

Francois Daigle¹, Sylvain Lerat¹, Giselda Bucca², Colin P. Smith², Francois Malouin¹, Carole Beaulieu^{1*}

¹Centre d'Étude et de Valorisation de la Diversité Microbienne, Département de biologie, Université de Sherbrooke, Québec, Canada J1K 2R1, ²Departement of Microbial and Cellular Sciences, Faculty of Health and Medical Sciences, University of Surrey, Guildford, GU2 7XH, UK.

*Corresponding author: Mailing address: Département de biologie, Université de Sherbrooke, Sherbrooke, Québec, Canada J1K 2R1. Tel: 819 821 8000, ext. 62997. Fax: 819 821 8049. Email: Carole.Beaulieu@usherbrooke.ca

ABSTRACT

Although *Streptomyces coelicolor* is not resistant to tellurite, it possesses several genes encoding proteins carrying the TerD motif described as being involved in resistance to this mineral. The function of TerD domain-encoding (*tdd*) genes in *S. coelicolor* thus remains enigmatic despite the fact that Tdd8 is among the most abundant proteins of *S. coelicolor* proteome. This study aims at understanding the global function of *tdd8* by comparing, from microarray data, the global gene-expression profile of the *S. coelicolor* strain M145 with those of a *tdd8* deletion mutant ($\Delta tdd8$) and of a recombinant strain overexpressing *tdd8* (*tdd8+*). Expression of several genes were modulated by deleting or overexpressing *tdd8*, including several genes involved in morphological differentiation and nitrogen assimilation. Furthermore, several orthologs of *Mycobacterium tuberculosis* genes involved in dormancy survival were upregulated in the deletion mutant at the visual onset of undecylprodigiosin production. Gene sequence analysis predicted a role for these genes in the redox stress response which was supported by the low NAD⁺/NADH ratio in $\Delta tdd8$. This putative redox stress response cluster included two large loci. A binding motif similar to the DosR binding site of *M. tuberculosis* has been identified in the upstream sequences of most genes in these loci. This study suggests that Tdd8 is involved in redox homeostasis.

Keywords: differentiation, microarray, nitrogen metabolism, redox stress response, SCO2368, tellurite

INTRODUCTION

Streptomyces coelicolor M145 is a soil-dwelling, obligatory aerobic Gram-positive bacterium with a high G+C content (1). This filamentous bacterium exhibits a tip growth, forming first, vegetative hyphae and after a short transition period during which a programmed cell death (PCD) takes place, an aerial mycelium develops and finally fragments to produce chains of smooth spores (2). The transition period and the aerial mycelium growth period, also mark the time when several genes are modulated in order to allow the production of secondary metabolites, such as the undecylprodigiosin (Red) antibiotic. Although no or limited sporulation occurs in liquid media, morphological differentiation is also observed. A compartmentalized mycelium is first produced and replaced by a second multinucleated mycelium (3, 4).

S. coelicolor M145 has a large genome 7845 predicted genes whose expression is regulated by complex control systems often poorly characterized. These control systems allow the growth or the survival of the bacterium under various environmental stresses. The 21 TerD domain-encoding genes (*tdd* genes) figure among the genes that are often expressed under stress conditions (5-9). The TerD motif, defined as a bacterial stress protein motif (10), has been originally associated with Gram-negative bacteria where it was shown to be involved in resistance to tellurite and toxic xenobiotic compounds. In addition to *S. coelicolor*, other actinobacteria, Firmicutes and Proteobacteria, as well as primitive eukaryotes like amoebas and diatoms, have genes with a *terD*-like motif. Nevertheless, *S. coelicolor* does not exhibit resistance to tellurite (11). The presence of *tdd* genes in a wide range of microorganisms suggests that these genes play important roles in the natural environment and it has been proposed that tellurite resistance was a consequence of other undetermined biological functions (10, 12).

If the function of *S. coelicolor tdd* genes remains enigmatic, several studies showed that *tdd* gene expression was modulated in response to different stress conditions such as nitrogen or phosphate deficiency (7, 8, 13), ethanol shock (5) and growth in the presence of plant extracts

(6). Tdd8 (SCO2368) is one of the most abundant proteins of *S. coelicolor* proteome (7) and secretome (6, 14). Tdd8 was even overproduced during the transition phase in cells undergoing PCD (2). Furthermore, Sanssouci et al. (2011) demonstrated that deletion or overexpression of *tdd8* affect morphological differentiation and spore production in *S. coelicolor*. Interestingly, Tdd7 (SCO2367) and Tdd13 (SCO4277) were also shown to be necessary to the proper development of *S. coelicolor* (15).

This study aims at understanding the global function of *tdd8* in *S. coelicolor* by comparing, from microarray data, the global gene-expression profile of the wild-type strain M145 with those of a deletion mutant ($\Delta tdd8$) and of a recombinant strain overexpressing *tdd8* (*tdd8+*).

MATERIALS AND METHODS

Bacterial strains and culture conditions. *S. coelicolor* strains M145, M145 Δ SCO2368 ($\Delta tdd8$) and M145pFDES2368 (*tdd8+*) (11) were used in this study. These strains were cultivated at 30°C in liquid culture media under shaking (250 rpm). Kanamycin and apramycin (Sigma-Aldrich) were respectively added to *tdd8+* and $\Delta tdd8$ culture media (25 µg/ml). For spore production, strains were grown on sporulating mannitol-soya flour-agar medium (MS) (16) for 5-7 days. For transcriptomics studies, *Streptomyces* strains were cultivated by adding 20 µl of a dense spore suspension (5×10^8 cfu) in 50 ml of R5 medium (16) modified as follows. The modified R5- medium (pH 7.2) was deprived of KH₂PO₄, CaCl₂, and L-proline and supplemented with 6% PEG 8000 to enhance cell dispersal (3, 16). Bacteria were grown in 250 ml flasks containing 4 g of glass bead (3 mm diameter). A growth curve in the R5- medium was determined for each *Streptomyces* strain by periodically measuring the optical density of the culture at 450 nm. For DNA extraction of *S. coelicolor* M145, the bacterium was grown in 25 ml YEME medium (16) for about 40 h. The microarray experiment was replicated twice for each strain and sampling time.

RNA extraction and cDNA labelling. To examine the changes in transcriptome profiles associated with different expression levels of the *tdd8* gene, total RNA was extracted from the wild-type strain M145, $\Delta tdd8$ and *tdd8+*, at the visual onset of Red production (respectively M145-t_{OR}, $\Delta tdd8$ -t_{OR} and *tdd8+*-t_{OR}). RNA was also extracted from 34-h-old cultures of the wild-type strain (M145-t_{34h}) and *tdd8+* (*tdd8+*-t_{34h}) and from 77-h-old cultures of wild-type strain (M145-t_{77h}) and $\Delta tdd8$ ($\Delta tdd8$ -t_{77h}). These two sampling times corresponded to the beginning of the stationary phase of growth (t_{SG}) for *tdd8+* and $\Delta tdd8$, respectively.

Prior to RNA extraction, culture samples were treated with RNA Protect Bacterial Reagent (Qiagen) and the bacterial cells were pelleted by centrifugation (4000 \times g for 10 min) to be suspended in 1 ml TE buffer (Tris-HCl 10 mM, EDTA 1 mM, pH 8.0). Cells were centrifuged and pelleted again and stored at -80°C. For RNA extraction, a hybrid protocol between the procedures proposed by the manufacturers of the RNeasy™ PLUS mini kit (Qiagen) and mirVana™ miRNA Isolation Kit (Ambion) was developed. Bacterial pellets were suspended in 0.2 ml lysozyme buffer (15 mg/ml in TE) and incubated for 15 min at room temperature. RLT buffer (0.6 ml) from Qiagen RNeasy™ PLUS mini kit was added and samples were transferred to 2 ml tubes containing a stainless steel bead and agitated on a TissueLyser (Qiagen) twice for 2 min. The mixture was centrifuged at 10 000 \times g for 5 min and the supernatant was recovered. Two phenol/chloroform extractions and a final chloroform extraction were performed. The upper aqueous layer was transferred to a “gDNA eliminator filter” (Qiagen RNeasy™ PLUS mini kit) and centrifuged at 10,000 \times g for 30 s. The extraction continued following the manufacturers protocol of mirVana™ miRNA Isolation Kit (Ambion). The RNA was eluted with 100 μ l of purified water and quantified using a Nanodrop-ND-1000 spectrophotometer. The RNA quality was checked using an Agilent Bioanalyser RNA chip. Fluorescently labelled cDNA was produced for each RNA sample by reverse transcription; 10-15 μ g of RNA was used for each cDNA synthesis/labelling in a total volume of 30 μ l with 5.1 μ g of random primers (Invitrogen). The RNA-primer mix was denatured at 70°C for 10 min. After snap cooling on ice, 6 μ l of First Strand Buffer, 3 μ l of 100 mM DTT, 0.6 μ l of a dNTP solution (25 mM dATP, dGTP, and dTTP, 10 mM dCTP),

400 U of Superscript III (Invitrogen) and 1.5 µl Cy3-dCTP were added. The reactions were incubated in the dark at 25°C for 10 min, to allow primers to anneal, then at 42°C for 4 h.

Genomic DNA labelling. DNA of *S. coelicolor* M145 was extracted according to the procedure described in Kieser *et al.* (16). Fluorescently labelled genomic DNA (gDNA) was generated using 2-3 µg DNA that were added to 3 µg random primers in a total volume of 41.5 µl, and denatured at 95°C for 5 min. One µl of dNTP mixture (5 mM dATP, dGTP and dTTP; 2 mM dCTP), 1.5 µl Cy5-dCTP and 5 µl Klenow DNA polymerase buffer and 1 µl of Klenow polymerase (5 U/µl) were added to the DNA solution and the mixture was incubated overnight at 37°C in the dark. The labelled samples were purified through MiniElute PCR Purification Kit (Qiagen).

Microarray hybridization and data processing. *S. coelicolor* M145 genome arrays 105K ink-jet *in situ* synthesized (IJISS) high density microarray (Agilent Technologies), designed by Colin P. Smith's team of University of Surrey (UK) in collaboration with Oxford Gene Technologies (OGT) were used in this study. Each array comprises 105K unique 60-mer probes covering coding and non-coding regions. For hybridization on microarray, 40 pmol of Cy3 and 30 pmol of Cy5 labeled cDNA/gDNA (respectively) in a total volume of 44 µl were mixed with 11 µl of Agilent blocking buffer and 55 µl of 2× hybridization buffer (oligo aCGH hybridization kit, Agilent Technologies) and denatured at 94°C for 3 min. After loading of the labelled samples on the OGT v2 slide, the slide was placed in a hybridization chamber (Agilent Technologies) and rotated at 10 rpm for 40 h at 65°C. Each slide was washed into “Wash 1 cGH buffer” (Agilent Technologies) for 5 min and then successively transferred into warm (37°C) “Wash 2 cGH buffer” (Agilent Technologies) for 1 min, an acetonitrile filled container for 1 min and a “Drying and stabilisation solution (Agilent Technologies)” for 30 s.

Microarrays were scanned at 532 nm for the Cy3 channel and 635 nm for the Cy5 channel with Agilent DNA microarray dual laser scanner. The resulting images were processed using the Agilent Feature Extraction software (v 9.1, Agilent Technologies) with the defaults setting applied, except for within-array normalisation and the background correction was used. The

feature extraction output files were imported into R (software programming language) (version 2.5.0; <http://www.R-project.org>) and normalized using the LIMMA package (17); global median within-array normalization followed by the ‘scale’ across-array normalization were applied to the log₂ cDNA/gDNA ratios of the expression arrays. Flagging of poor quality spots was conducted as described by Bucca et al. (18) and an individual probe was filtered out of the dataset if it did not yield a good quality spot across gene expression datasets. Probes targeting the coding regions of a gene were averaged such that each annotated protein-encoding gene of *S. coelicolor* was represented by a single value. For each tested condition, the averaged dataset from two independent experiments were then analysed for differential expression between M145 and $\Delta tdd8$ or M145 and $tdd8^+$ using Rank Products analysis at P<0.01.

Correlation of microarray transcriptomics results with real-time quantitative reverse transcription PCR (qRT-PCR). RNA used in qRT-PCR analyses were treated with the Turbo DNA-free Kit (Ambion) to remove possible DNA contamination, according to the manufacturer’s instructions. cDNA was synthesized from 2 µg of RNA using the SuperScript® III First-Strand Synthesis System for RT-PCR (Invitrogen) according to the manufacturer’s specifications. Primers used for real-time PCR are listed in supplemental data Table S1. qRT-PCR were run on a Stratagene Mx3000P (Agilent Technologies). Reactions were performed with 2 µl of 0.1× cDNA, 500 nM of each primer using the iTaq Universal SYBR Green Supermix (Bio-Rad) in a final volume of 20 µl. Two samples of the three replicates were analyzed. PCR conditions were 95°C for 3 min, 35 cycles at 95°C for 10 s and 60°C for 30 s followed by a dissociation curve. Differential expression were calculated using the REST 2009 software (19) using *gyrA* (SCO3873) as reference gene.

NAD/NADH ratio quantification. The ratio between nicotinamide adenine dinucleotide (NAD) and its reduced form (NADH) were determined on cell extracts with the NAD/NADH Quantitation Kit (Sigma-Aldrich). *S. coelicolor* cultures were sampled at the onset of Red production and the cells were pelleted (10,000× g). Cell extracts were obtained according to

the manufacturer's instructions. Two samples of each culture were analyzed and the experiment was repeated three times.

Bioinformatics. Regulatory motifs were predicted with a two-step MEME search. The MEME program (20) is a tool for motif discovery resulting in an output of position-specific scoring matrix (PSSM) representing the predicted motif. The input for MEME search was build using 300 bp upstream from sequence segments of a subset of genes identified by transcriptomics. The PSSM for the predicted binding box was then used to search all the gene upstream sequences in the entire *S. coelicolor* genome using the MAST algorithm (20) and only motifs with E-value <10 were considered.

RESULTS

Growth kinetics. Growth curves of both $\Delta tdd8$ and $tdd8+$ differed from the one of the wild-type strain (Fig. 1). A significant growth delay was observed for $\Delta tdd8$ but not for $tdd8+$. Production of Red (t_{OR}) was also slightly delayed in $\Delta tdd8$ compared to both the wild-type and $tdd8+$ strains. Both mutants have an early growth arrest compared to wild-type strain (Fig. 1). The beginning of the stationary phase of growth corresponded to 34-h and 77-h cultures for $tdd8+$ and $\Delta tdd8$, respectively.

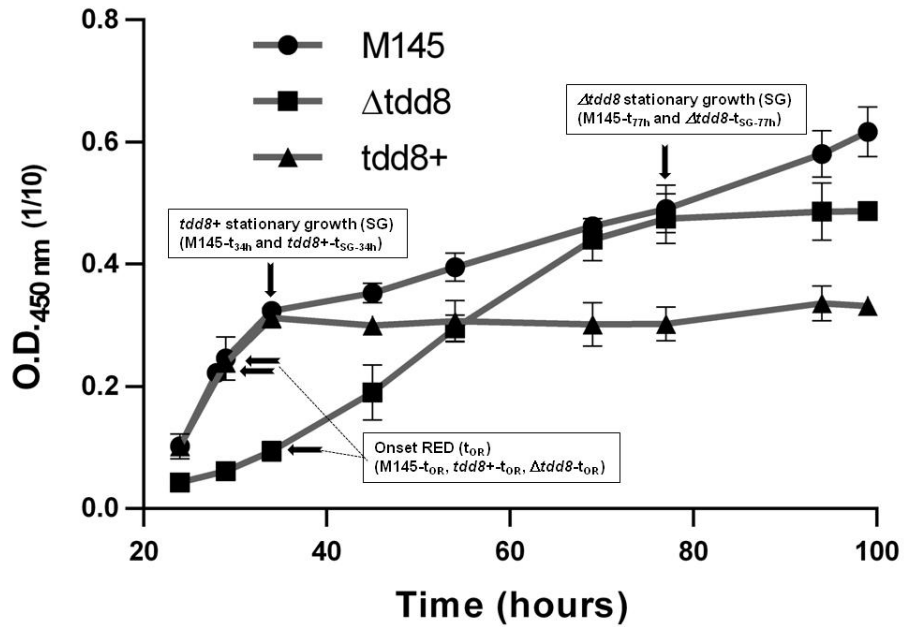


FIG. 1 Growth curve of *S. coelicolor* strains in R5⁻ medium. The horizontal arrows indicate the visual onset of Red production. The vertical arrows indicate the beginning of the stationary phase of growth for strains $\Delta tdd8$ and $tdd8+$, respectively. Cultures for microarray analysis were sampled at t_{OR} for the M145, $\Delta tdd8$ et $tdd8+$ (M145- t_{OR} , $\Delta tdd8-t_{OR}$ and $tdd8+-t_{OR}$, respectively), at 34 h for $tdd8+$ ($tdd8+-t_{SG-34h}$) and M145 (M145- t_{34h}) and at 77 h for $\Delta tdd8$ ($\Delta tdd8-t_{SG-77h}$) and M145 (M145- t_{77h}). Each point on the curves represents an average of three replicates and error bars, the standard deviations.

Deletion or overexpression of the *tdd8* gene modifies the transcriptome profile of *S. coelicolor*. The performance of the *S. coelicolor* M145 microarray was validated by quantitative real-time PCR with 11 genes present in the redox stress response gene cluster and in all cases, the data supported the microarray analysis regarding differential expression although the level of expression between microarray and qRT-PCR experiments could vary (Supplementary Table S2). As growth kinetic differed within strains, the transcriptome of M145, $\Delta tdd8$ and $tdd8+$ has been compared at the visual onset of Red production which is

known to correspond to the transition period between the compartmentalized mycelium (first mycelium) and multinucleated mycelium (second mycelium) in a liquid culture (3, 4). When compared to the wild-type strain M145, a total of 390 and 255 genes showed a differential expression (up or down regulated) at the onset of Red biosynthesis in $\Delta tdd8$ and $tdd8^+$, respectively (Fig. 2, Supplementary Table S3). Among down-regulated genes, 28 genes were found in both $tdd8^+$ and $\Delta tdd8$, but no specific functional cluster seems to link these genes. Among upregulated genes, 94 genes were associated with both $tdd8^+$ and $\Delta tdd8$ including the gene cluster responsible for the calcium dependent antibiotic production (SCO3210 to SCO3222 and SCO3227 to SCO3249) and two operons of conservon (cvn) with unknown function, cvn7 and cvn9. No gene was down-regulated in $\Delta tdd8$ and up-regulated in $tdd8^+$ (or vice versa), except SCO1865 that codes for a diaminobutyrate-2-oxoglutarate aminotransferase involved in amino acid metabolism (Fig. 2).

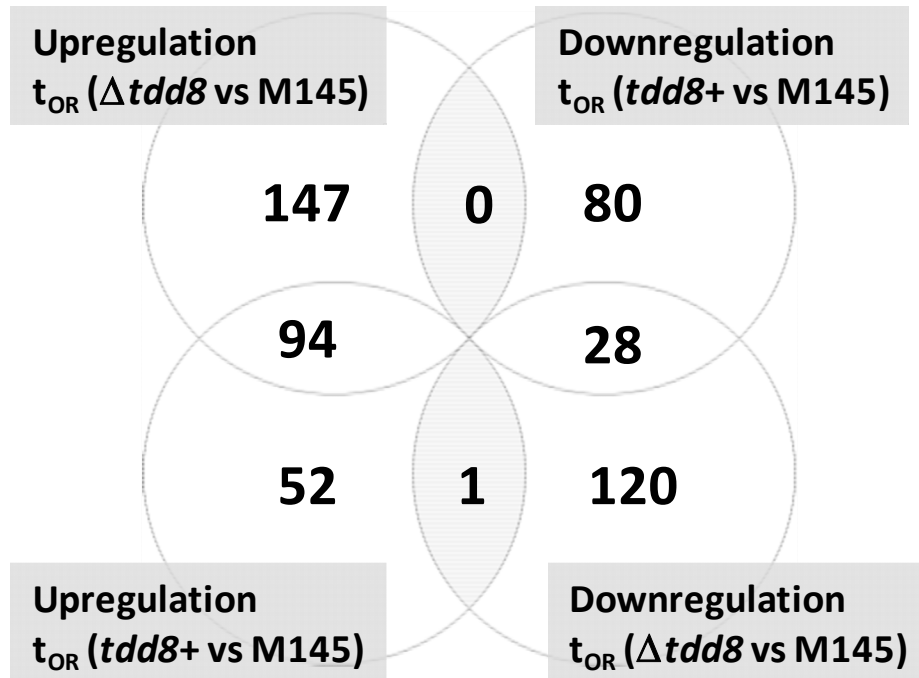


FIG. 2 Number of genes showing a differential expression in $tdd8^+$ and $\Delta tdd8$ compared to the M145 strain at the visual onset of Red (t_{OR}) production.

To decipher the physiological process responsible for the early growth arrest in $\Delta tdd8$ and $tdd8+$, the transcriptomes of the deletion mutant and the recombinant strain were compared to the ones of a 33-h and 77-h culture of strain M145, respectively, as previously indicated on Fig. 1. Differential expression was observed for 531 genes of $\Delta tdd8$ (Supplementary Table S4) when the mutant entered the stationary phase of growth ($\Delta tdd8$ -t_{SG-77h} vs. M145-t_{77h}) while 525 genes were differentially expressed between $tdd8+$ and M145 in a 34 h culture ($tdd8+$ -t_{SG-34h} vs. M145-t_{34h}) (Supplementary Table S4).

Deletion or overexpression of *tdd8* affects expression of genes encoding sigma factors. A differential expression of four genes (*sigU*, *sigE*, *bldM* and *bldN*) encoding sigma factors was observed between the wild-type strain and $\Delta tdd8$ or $tdd8+$ (Table 1). The gene encoding for sigma factor σ^E (*sigE*) involved in the cell envelope stress response, was overexpressed in the absence of Tdd8 at the onset of Red production ($\Delta tdd8$ -t_{OR} vs. M145-t_{OR}). In the 77-h culture, this gene was still more transcribed in $\Delta tdd8$ than in M145 ($\Delta tdd8$ -t_{SG-77h} vs. M145-t_{77h}). The genes encoding the global morphologic differentiation sigma factor σ^U (*sigU*) and the cognate anti-sigma factor *RsuA* were overexpressed at the beginning of the stationary phase of growth in $\Delta tdd8$ ($\Delta tdd8$ -t_{SG-77h} vs. M145-t_{77h}) but not in $tdd8+$.

bldN exhibited a different expression profile within the three strains. The *bldN* gene codes for the sigma factor σ^{bldN} that controls early and late developmental genes, with among others *bldM*. This first gene, its cognate anti-sigma factor gene *rsbN* (21) and *bldM* were 3- to 10-fold overexpressed in $\Delta tdd8$ ($\Delta tdd8$ -t_{OR} vs. M145-t_{OR}) at the onset of Red production. When $\Delta tdd8$ and $tdd8+$ entered the stationary phase of growth, both *bldN* and *bldM* were overexpressed ($tdd8+$ -t_{SG-34h} vs. M145-t_{34h} and $\Delta tdd8$ -t_{SG-77h} vs M145-t_{77h}, respectively).

Deletion and overexpression of *tdd8* affect transcription of genes involved in morphological differentiation. Deletion or overexpression of *tdd8* has a marked effect on *S. coelicolor* differentiation (11). In $\Delta tdd8$, aerial mycelia led to the formation of numerous long chains of short and cubic spores whereas in $tdd8+$ the spores produced were scarce (11). In

addition to genes encoding the sigma factors mentioned above, several genes that are known to be involved in morphological differentiation and sporulation were differentially expressed within the three strains tested. Table 1 presents the list of these genes.

The bald (*bld*) genes control the onset of aerial hyphae formation (22) but only few of them appears to be affected by the expression level of *tdd8*. In addition to the *bldN* and *bldM* mentioned above, the *bldK* genes that encode a transport complex for an extracellular oligopeptidyl signal involved in morphological and physiological differentiation were differentially expressed within the three strains. Several *bldK* genes were downregulated at the onset of Red biosynthesis in $\Delta tdd8$ and *tdd8+* ($\Delta tt8-t_{OR}$ vs. M145- t_{OR} and *tdd8+-t_{OR} vs. M145- t_{OR} , respectively), but when growth arrest occurred, some *bldK* genes were less expressed in $\Delta tdd8$ than in the wild-type strain ($\Delta tt8-t_{SG-77h}$ vs. M145- t_{77h}) while they were overexpressed in *tdd8+* (*tdd8+-t_{SG-34h} vs. M145- t_{34h}). Furthermore, expression of *cabC*, a gene encoding an EF-hand calcium-binding protein, involved in the development of the aerial hyphae (23), appeared to be negatively correlated with the expression level of *tdd8*.**

Erection of the aerial mycelium depends on the expression of chaplin genes (24). When compared to the wild-type strain, expression of the most chaplin genes was increased in $\Delta tdd8$ at the onset of red production ($\Delta tdd8-t_{OR}$ vs. M145- t_{OR}) while overexpression of *tdd8* did not modify expression of the chaplin genes at that moment. Differential expression of the chaplin genes was also observed when the mutants entered the stationary phase of growth. Most chaplin genes were overexpressed in a 77-h culture of $\Delta tdd8$ ($\Delta tdd8-t_{SG-77h}$ vs. M145- t_{77h}) while they were down-regulated when *tdd8+* growth stopped (*tdd8+-t_{SG-34h} vs. M145- t_{34h}). While expression of the chaplin genes appeared to be negatively correlated to the presence of Tdd8, transcription of the rodlin genes, which code for the other major components of the hydrophobic protein sheath of aerial mycelium and spores (24), was not affected by the expression level of *tdd8* at the sampling times tested.*

The maturation of the mycelium leads to a differentiation of aerial hyphae to spores. The segregation of chromosomes into prespore compartments requires a complex control system

that includes the regulator *ssgA* (25) and *minD2*, which plays a role in septum formation (26). These two genes were downregulated at the beginning of the stationary phase of growth when *tdd8* was overexpressed (*tdd8+*-t_{SG-34h} vs. M145-t_{34h}). Furthermore, *crgA* that codes for a septation inhibitor protein (26, 27) and the conserved morphogenic cluster, encoding for RodA, penicillin-binding protein and serine-threonine kinase (SCO3846, SCO3847, SCO3848, respectively) (27, 28), were all overexpressed in *tdd8+* at this same period (*tdd8+*-t_{SG-34h} vs. M145-t_{34h}).

The *whi* genes play an important regulatory role in sporulation but most of these genes did not depend on *tdd8* transcription. Only *whiB* showed a differential expression; this gene was overexpressed when *tdd8+* reached the stationary phase of growth (*tdd8+*-t_{SG-34h} vs. M145-t_{34h}). *whiB*-like (*wbl*) genes were also differentially expressed within the strains. *wblA* was overexpressed in the absence of Tdd8 ($\Delta tdd8$ -t_{OR} vs. M145-t_{OR} and $\Delta tdd8$ -t_{SG-77h} vs. M145-t_{77h}) while *wblC* was up-regulated at the beginning of the stationary phase of growth when *tdd8* was overexpressed (*tdd8+*-t_{SG-34h} vs. M145-t_{34h}). Interestingly, *sapA* that encodes a spore-associated protein showed an expression profile similar to most chaplin genes in $\Delta tdd8$ and *tdd8+* and the *ramR* gene coding for a two-component system response regulator of the operon *ramSABC*, which is responsible for export of spore-associated proteins (29), was down-regulated at the onset of Red production when *tdd8* was overexpressed (*tdd8+*-t_{OR} vs. M145-t_{OR}).

Table 1 Gene known to be involved in *S. coelicolor* morphological differentiation showing a differential expression.

SCO number	Gene assignation	Protein function	Fold change*	
			Onset of Red production (t _{OR})	Beginning of stationary phase of growth (t _{SG})
Up regulation in <i>Atdd8</i>			Δ<i>tdd8</i>-t_{OR} vs. M145-t_{OR}	Δ<i>tdd8</i>-t_{SG-77h} vs. M145-t_{77h}
SCO0409	<i>sapA</i>	Spore-associated protein precursor	3.31	1.73
SCO1674	<i>chpC</i>	Chaplin C	2.33	2.29
SCO1675	<i>chpH</i>	Chaplin H	6.20	2.84
SCO1800	<i>chpE</i>	Chaplin E	15.60	-
SCO2699	<i>chpG</i>	Chaplin G	2.90	1.64
SCO2716	<i>chpA</i>	Chaplin A	-	1.60
SCO2717	<i>chpD</i>	Chaplin D	4.40	2.67
SCO2953	<i>rsuA</i>	Anti-sigma factor	-	1.95
SCO2954	<i>sigU</i>	sigma factor U	-	3.02
SCO3323	<i>bldN</i>	sigma factor bldN	10.73	3.37
SCO3324	<i>rsbN</i>	Anti-sigma factor	2.97	-
SCO3579	<i>wblA</i>	Regulatory protein	4.34	1.68
SCO4768	<i>bldM</i>	Two-component regulator	4.64	2.44
SCO5147	<i>sigE</i>	sigma factor E	2.39	1.95
SCO7647	<i>cabC</i>	Calcium binding protein	2.24	1.87
Down regulation in <i>Atdd8</i>			Δ<i>tdd8</i>-t_{OR} vs. M145-t_{OR}	Δ<i>tdd8</i>-t_{SG-77h} vs. M145-t_{77h}
SCO5112	<i>bldKA</i>	ABC transport system integral membrane protein	0.42	0.57
SCO5113	<i>bldKB</i>	ABC transport system lipoprotein	0.49	0.59
SCO5114	<i>bldKC</i>	ABC transport system integral membrane protein	0.35	-
SCO5115	<i>bldKD</i>	ABC transporter intracellular ATPase subunit	0.40	0.60
SCO5116	<i>bldKE</i>	Peptide transport system ATP-binding subunit	0.37	0.51
Down regulation in <i>tdd8+</i>			<i>tdd8+</i>-t_{OR} vs. M145-t_{OR}	<i>tdd8+</i>-t_{SG-34h} vs. M145-t_{34h}
SCO0409	<i>sapA</i>	Spore-associated protein precursor	-	0.61
SCO1674	<i>chpC</i>	Chaplin C	-	0.59
SCO1675	<i>chpH</i>	Chaplin H	-	0.36
SCO1800	<i>chpE</i>	Chaplin E	-	0.30
SCO2699	<i>chpG</i>	Chaplin G	-	0.41
SCO2717	<i>chpD</i>	Chaplin D	-	0.38
SCO3034	<i>whiB</i>	Sporulation regulatory protein	-	0.57
SCO3926	<i>ssgA</i>	Regulator	-	0.65
SCO5007	<i>minD2</i>	Septum site-determining protein	-	0.65
SCO7647	<i>cabC</i>	Calcium binding protein	-	0.60
SCO5112	<i>bldKA</i>	ABC transport system integral membrane protein	0.66	-
SCO5114	<i>bldKC</i>	ABC transport system integral membrane protein	0.64	-
SCO9985	<i>ramR</i>	Two-component system response regulator	0.65	-
Up regulation in <i>tdd8+</i>			<i>tdd8+</i>-t_{OR} vs. M145-t_{OR}	<i>tdd8+</i>-t_{SG-34h} vs. M145-t_{34h}
SCO1800	<i>chpE</i>	Chaplin E	2.35	-
SCO3323	<i>bldN</i>	sigma factor BldN	3.37	1.86
SCO3846	<i>rodA</i>	FtsW/RodA/SpoVE family cell cycle protein	-	1.73
SCO3847		Secreted penicillin-binding protein		1.81
SCO3848		Serine/threonine protein kinase		1.52
SCO3854	<i>crgA</i>	Septation inhibitor protein	-	2.03
SCO4768	<i>bldM</i>	Two-component regulator	1.97	-
SCO5112	<i>bldKA</i>	ABC transport system integral membrane protein	-	1.87
SCO5113	<i>bldKB</i>	ABC transport system lipoprotein	-	1.93
SCO5114	<i>bldKC</i>	ABC transport system integral membrane protein	-	1.84
SCO5115	<i>bldKD</i>	ABC transporter intracellular ATPase subunit	-	-
SCO5116	<i>bldKE</i>	peptide transport system ATP-binding subunit	-	-
SCO5190	<i>wblC</i>	DNA-binding protein	-	2.68

*: significant change based on Rank product p<0.01, - : No significant change

Deletion and overexpression of *tdd8* affect transcription of genes involved in nitrogen metabolism. Most of the well-characterized genes that participate in nitrogen metabolism were up-regulated in *tdd8+* and down-regulated in $\Delta tdd8$ at the beginning of their stationary phase of growth ($\Delta tdd8$ -t_{SG-77h} vs. M145-t_{77h} and *tdd8+*-t_{SG-34h} vs. M145-t_{34h}, respectively). Table 2 presents the list of these genes. This list includes the *amtB-glnK-glnD* operon, the nitrite reductase operon, the urease operon as well as *glnR*, *glnA* and *glnII*. This list also includes genes involved in nitrate and nitrite assimilation, *ndgR* that codes for a regulator for nitrogen source-dependent growth (9) and genes involved in glutamate assimilation. Other genes possibly involved in nitrogen metabolism have a modulated expression similar to the nitrogen metabolism genes (30, 31). This is the case for SCO2211, that forms an operon with *glnII*, *glnA2* coding for glutamine synthetases with no known GlnR regulation and SCO2195, an uncharacterized gene containing a GlnR binding site.

Table 2 Genes involved in nitrogen metabolism showing a differential expression between the wild-type strain M145 and $\Delta tdd8$ or *tdd8+* in 34-h and 77-h cultures, respectively

SCO number	Gene assignation	Protein function	Fold change	
			$\Delta tdd8$ -t _{SG-77h} vs. M145-t _{77h}	<i>tdd8+</i> -t _{SG-34h} vs. M145-t _{34h}
SCO1234	<i>ureC</i>	Urease alpha subunit	0.57	1.61
SCO1235	<i>ureB</i>	Urease beta subunit	0.61	1.61
SCO1236	<i>ureA</i>	Urease gamma subunit	0.32	1.96
SCO2195		Hypothetical protein	0.42	4.30
SCO2198	<i>glnA</i>	Glutamine synthetase I	0.21	3.32
SCO2210	<i>glnII</i>	Glutamine synthetase	0.06	22.37
SCO2211		Hypothetical protein	0.22	5.41
SCO2238	<i>nadE</i>	NAD(+) synthase (glutamine-hydrolysing)	0.51	2.05
SCO2241	<i>glnA2</i>	Glutamine synthetase	0.46	2.26
SCO2473	<i>nasA</i>	Nitrate reductase	0.67	1.49
SCO2486	<i>nirB</i>	Nitrite reductase	0.47	2.36
SCO2487	<i>nirB</i>	Nitrite reductase large subunit	0.37	3.47
SCO2488	<i>nirC</i>	Nitrite reductase small subunit	0.33	4.45
SCO2958	<i>nnaR</i>	Uroporphyrinogen-III synthetase	0.55	2.04
SCO2959	<i>narK</i>	Nitrate extrusion protein	0.55	2.71
SCO4159	<i>glnR</i>	Transcriptional regulatory protein	0.44	2.20
SCO5774	<i>gluD</i>	Glutamate permease	0.43	2.01
SCO5775	<i>gluC</i>	Glutamate permease	0.47	2.01
SCO5776	<i>gluB</i>	Glutamate binding protein	0.44	2.14
SCO5583	<i>amtB</i>	Ammonium transporter	0.07	15.26
SCO5584	<i>glnB</i>	Nitrogen regulatory protein P-II	0.08	12.32
SCO5585	<i>glnD</i>	PII uridylyl-transferase	0.49	2.23
SCO6102	<i>nirA</i>	Nitrite/sulphite reductase	0.28	-
SCO5552	<i>ndgR</i>	Regulator	0.66	-

*: significant change based on Rank product p<0.01, - : No significant change

Redox homeostasis is impaired in the *tdd8* mutants. The genome sequence of *S. coelicolor* reveals a number of genes related to the ones of facultative anaerobes involved in adaptation to anaerobic conditions, energy production and growth under O₂ limiting conditions (32). Several of these genes were up-regulated in $\Delta tdd8$ at the onset of Red biosynthesis. Table 3 presents the list of these genes, their probable function and their characteristics.

Two gene loci located in an arm region of the chromosome were clearly up-regulated in $\Delta tdd8$ at the visual onset of Red biosynthesis (t_{0R}). The first region is located between positions SCO0161 and SCO0181, and the second between SCO0197 and SCO0220. In the second locus, 20 out of 24 genes were up-regulated in $\Delta tdd8$ (Table 3). This locus includes orthologs of the respiratory nitrate reductase genes (SCO0216 to SCO0219) of *B. subtilis* along with SCO0213, a gene sharing similarity with *narK2* of *M. tuberculosis* that encodes a nitrate/nitrite transporter. It also includes genes the SCO0203, SCO0204 and SCO0211 sharing sequence similarities with *dosS*, *dosR* and *dosT* of *M. tuberculosis* encoding a two component regulatory system involved in respiration under limiting O₂ conditions. Several genes of this second locus were related to those found in the first one: a putative alcohol dehydrogenase gene (SCO0199), genes with an Usp (Universal stress protein) motif (SCO0198 and SCO0200), CBS (cystathionine β -synthase) motif (SCO0210) or pyridoxamine 5'-phosphate oxidase motif (SCO0197 and SCO0214) and a putative nitroreductase gene (SCO0215). Out the 21 genes of the first locus (SCO0161 to SCO0181), 17 were more expressed in the deletion mutant (Table 3). This first locus includes a gene encoding a transcriptional regulator member of CRP/FNR (SCO0168), a putative alcohol dehydrogenase (SCO0179), 5 genes with the Usp motif (SCO0167, SCO172, SCO178, SCO180 and SCO181), a nitroreductase gene (SCO0162), genes containing CBS motif (SCO0169 and SCO0170) and a gene coding for a probable pyridoxamine 5'-phosphate oxidase with DNA-binding motif (SCO0174). Several genes of these two loci have orthologs found in *M. tuberculosis* where they have been shown to be regulated by DosR (DevR) in response to hypoxia, NO and carbon monoxide (CO) (33).

Other genes located outside these two loci but also possibly involved in redox stress responses were up-regulated in $\Delta tdd8$ at t_{0R}. This is the case for SCO7310, a gene encoding a member of the CRP/FNR transcriptional regulators, the *cydABCD* operon, the succinate dehydrogenase/fumarate reductase gene and orthologs of the *nsrR/hmpA1* regulation system of *B. subtilis* that is implicated in NO detoxification (34). These last genes and the two loci described above may represent a cluster of genes that responds to redox stress. Up-regulation of genes associated to this putative redox stress response cluster suggests that the deletion of *tdd8* causes redox imbalance in *S. coelicolor*. NAD/NADH ratio, an indicator of redox status in the bacterial cells, varied at the onset of Red production within $\Delta tdd8$, M145 and *tdd8+*, it confirms that it was different. The ratio was greatly lower in the $\Delta tdd8$ (1.01 ± 0.18) compared to the ratio observed for both the wild-type strain (5.23 ± 0.79) and *tdd8+* (7.13 ± 0.72). $\Delta tdd8$ appeared to still suffer from a redox imbalance even at its stationary phase of growth, since between others, the expression of genes encoding the succinate dehydrogenase/fumarate reductase, the cytochrome bd and the NADH dehydrogenase operon (*nuoA-N*) were overexpressed in the 77-h culture ($\Delta tdd8$ -t_{SG-77h} vs. M145-t_{77h}).

Identification of a DosR-like binding motif in several genes of *S. coelicolor* redox stress responses cluster. The presence of two gene loci where most genes were simultaneously up-regulated suggests the presence of a common binding site in the promoter region of these genes. Several of these genes also share homology with those of *M. tuberculosis* belonging to the DosR regulon. A binding motif search using the upstream sequences of genes up-regulated within two genetic loci described in Table 3 (Supplementary Table S2), revealed a regulatory motif with a GGG-CG inverted repeat separated by 2 bp of non-conserved sequence. This motif was related to DosR regulon binding site of *M. tuberculosis*, consisting of a conserved GGG-C----G-CCC upstream sequence (35-37). In *S. coelicolor*, this putative binding motif occurred at 22 intergenic points within the two loci (Fig. 3), supporting the hypothesis that these genes belong to a functional cluster possibly responding to a redox imbalance and under the control of the DosR-like (SCO0204) regulator. When all ORF upstream sequences of *S. coelicolor* genome were screened for the presence of

the DosR-like binding motif, more than half of the identified sites (11/16) were located in the two redox stress response loci.

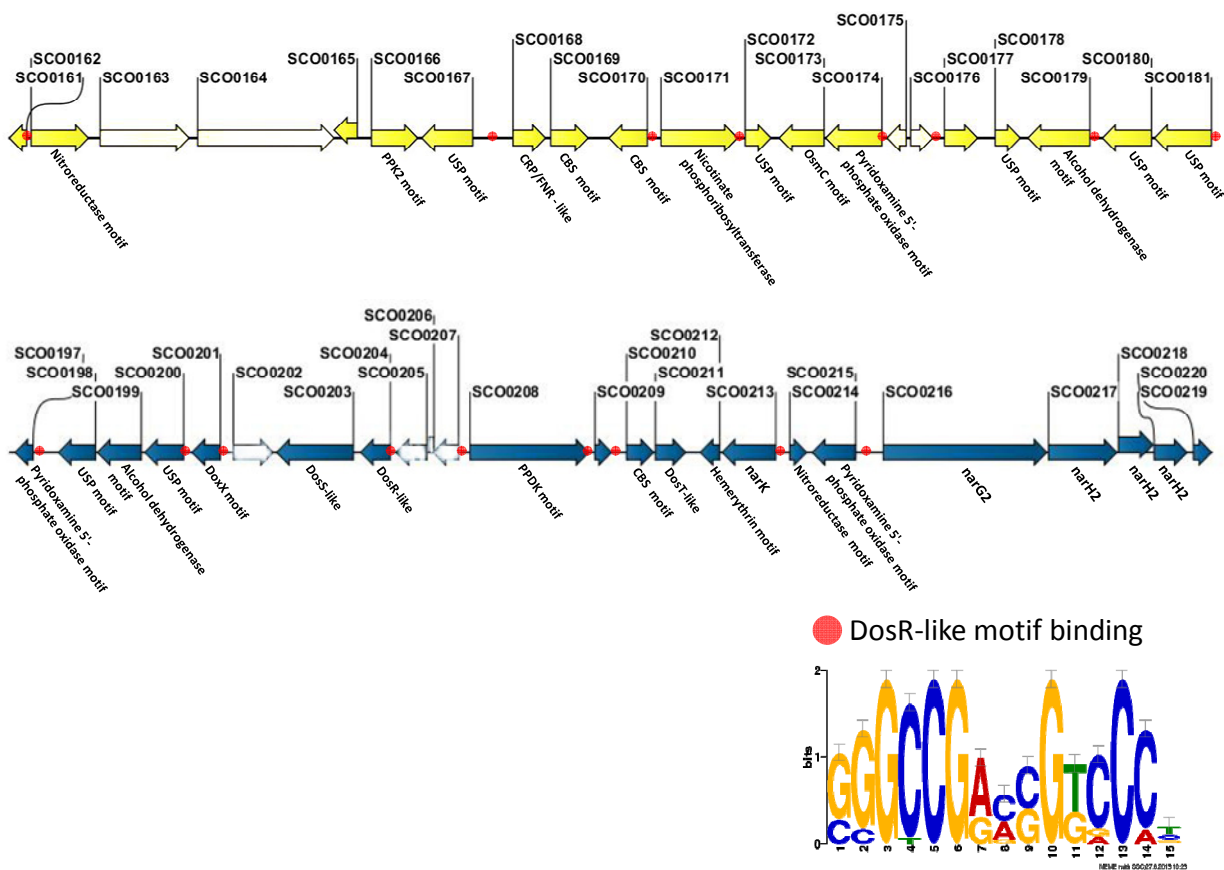


FIG. 3 Schematic representation of the two putative *S. coelicolor* redox stress response loci. Genes up-regulated in $\Delta tdd8$ at the onset of Red production are presented as colored arrows. The red dots indicate the presence of a DosR-like binding motif in intergenic regions. The consensus sequence motif is shown with the size of the base representative of its degree of conservation in the 31 input sequences analyzed.

Table 3. Characteristics of a gene cluster possibly involved in redox stress response that was overexpressed in $\Delta tdd8$

SCO number	Putative function of the corresponding protein	Fold Change		Comment		
		$\Delta tdd8\text{-t}_{\text{OR}}$ vs. M145-t _{OR}	$\Delta tdd8\text{-t}_{\text{SG-77h}}$ vs. M145-t _{77h}			
Redox stress response cluster						
First redox stress response locus						
SCO0161	Hypothetical protein	3.27				
SCO0162	Nitroreductase	5.92		32.6% identity to Acg Nitroreductase of <i>M. tuberculosis</i> where the corresponding gene is induced by hypoxia and regulated by DosR (35);		
SCO0165	Hypothetical protein	3.45		65.6% identity to polyphosphate kinase 2 (PPK2) of <i>M. tuberculosis</i> ;		
SCO0166	Regulator	2.32		Usp motif; 32.7% identity to Usp TB31,7 (Rv2623) of <i>M. tuberculosis</i> where the corresponding gene is induced by hypoxia and regulated by DosR (35);		
SCO0167	Universal stress protein	19.71		Member of CRP/FNR family of transcriptional regulators;		
SCO0168	Transcriptional regulator	27.13	2.13	31.5% identity to Hrp1, a hypoxic response protein regulated by DosR in <i>M. tuberculosis</i> (33);		
SCO0169	Cystathionine β -synthase	18.07		56.7% and 47.3% identity to SCO0169 and SCO0210, respectively;		
SCO0170	Cystathionine β -synthase	8.40		27.6% identity to PncB (Nicotinate phosphoribosyltransferase) from <i>E. coli</i> involved in NADH/NAD homeostasis (38);		
SCO0171	Nicotinate phosphoribosyltransferase	4.93		Identity to SCO0167 (33.3%), SCO0178 (40.7%), SCO0180 (38.8%), SCO0181 (34.5%), SCO0198 (39.4%) and SCO0200 (37.3%);		
SCO0172	Universal stress protein	3.47		41.5% identity to OsmC, a regulator of disulfide bond formation in redox proteins of <i>Herbaspirillum seropedicae</i> ;		
SCO0173	OsmC	6.94		38% identity to Rv0569 from <i>M. tuberculosis</i> where the corresponding gene is regulated by DosR (33);		
SCO0174	Pyridoxamine 5'-phosphate oxidase	16.85		Identity to SCO0167 (34.4%), SCO0172 (40.7%), SCO0180 (30.3%), SCO0181 (40.6%), SCO0198 (33.8%) and SCO0200 (26.3%);		
SCO0177	Membrane protein	12.01	1.81	Identity to SCO0167 (46.4%), SCO0172 (38.8%), SCO0178 (30.3%), SCO0181 (33.9%), SCO0198 (63.5%) and SCO0200 (34.3%);		
SCO0178	Universal stress protein	2.15		Identity to SCO0167 (31.8%), SCO0172 (34.5%), SCO0178 (40.6%), SCO0180 (33.9%), SCO0198 (34.9%) and SCO0200 (65.3%);		
SCO0179	Alcool dehydrogenase	14.00				
SCO0180	Universal stress protein	4.80				
SCO0181	Universal stress protein	9.48				

Continuation Table 3

SCO number	Putative function of the corresponding protein	Fold Change		Comment		
		$\Delta tdd8-t_{OR}$ vs. $M145-t_{OR}$	$\Delta tdd8-t_{SG-77h}$ vs. $M145-t_{77h}$			
Redox stress response cluster						
Second redox stress response locus						
SCO0197	Pyridoxamine 5'-phosphate oxidase	7.10		42.1% identity to Rv0080 of <i>M. tuberculosis</i> where the corresponding gene is regulated by DosR (33); 62.2% and 31.1% identity to SCO0214 and SCO0174, respectively;		
SCO0198	Universal stress protein	6.07		Identity to SCO0167 (50.3%), SCO0172 (39.4%), SCO0178 (33.8%), SCO0180 (63.5%), SCO0181 (34.9%) and SCO0200 (36.6%);		
SCO0199	Alcohol dehydrogenase	10.90		31.6% identity to SCO179;		
SCO0200	Universal stress protein	13.49		Identity to SCO0167 (34.4%), SCO0172 (37.3%), SCO0178 (26.3%), SCO0180 (34.3%), SCO0181 (65.3%) and SCO0198 (36.6%);		
SCO0201	Thiosulfate dehydrogenase (quinone)	10.24		DoxX motif;		
SCO0203	DosS-like	2.38		43.5% identity to redox sensor histidine kinase DosS of <i>M. tuberculosis</i> where the corresponding gene is regulated by DosR (33);		
SCO0204	DosR-like	12.63		60.6% identity to transcriptional regulatory protein DosR (DevR) from <i>M. tuberculosis</i> ;		
SCO0208	Pyruvate phosphate dikinase	3.48				
SCO0209	Hypothetical protein	9.32	2.25			
SCO0210	Cystathionine β -synthase	4.00		44.4% and 47.3% identity to SCO0169 and SCO0170, respectively;		
SCO0211	DosT-like	2.93		42.9% identity to hypoxia sensor histidine kinase response regulator DosT where the corresponding gene is regulated by DosR (33);		
SCO0212	Hemerythrin domain-containing protein	21.77				
SCO0213	Nitrate/nitrite transporter	15.82		49.4% identity to NarK2 of <i>M. tuberculosis</i> where the corresponding gene is regulated by DosR (33);		
SCO0214	Pyridoxamine 5'-phosphate oxidase	8.03		46.5% identity to Rv0080 of <i>M. tuberculosis</i> where the corresponding gene is regulated by DosR (33); 62.2% and 36.6% identity to SCO0197 and SCO0174, respectively;		
SCO0215	Nitroreductase	2.93		35.7% identity to Rv3131, a nitroreductase from <i>M. tuberculosis</i> where the corresponding gene is induced by hypoxia and regulated by DosR (35); 43.0% identity to SCO0162;		
SCO0216-	Respiratory nitrate reductases G2, H2, J2, I2	narG2:12.94		Identity to nitrate reductases NarG, H, J and X of <i>M. tuberculosis</i> (63.3%, 60.6%, 43.1% and 47.7% respectively) where <i>narX</i> is regulated by DosR (35);		
SCO0219		narH2:11.34				
		narI2:8.14				
		narJ2:16.89				
SCO0220	Hypothetical protein	10.76		SnoaL domain-containing protein;		

Continuation Table 3

SCO number	Putative function of the corresponding protein	Fold Change		Comment		
		$\Delta tdd8-t_{OR}$ vs. M145-t _{OR}	$\Delta tdd8-t_{SG-77h}$ vs. M145-t _{77h}			
Redox stress response cluster						
<i>Genes outside the loci</i>						
SCO0922-	Succinate dehydrogenase/fumarate reductases BAC	sdhB:2.71 sdhA:3.12 sdhC:3.51	sdhC:1.64	Identity to succinate dehydrogenase/fumarate reductase SdhBAC of <i>B. subtilis</i> (30.9%, 37.5% and 24.6%, respectively);		
SCO0924						
SCO3945-	Cytochrome bd complex (CydABCD)	cydA:4.87 cydB:3.89 cydCD:2.26	cydA:2.24 cydB:2.05	Identity to cytochrome bd ubiquinol oxidase CydA, CydB and CydCD of <i>M. tuberculosis</i> (48.6%, 47.8% and 44.4%, respectively);		
SCO3947						
SCO4562-	NADH dehydrogenase (NuoA-N)	Between 2.18-1.58				
SCO4575						
SCO4947-	Respiratory nitrate reductase (narGH)	narG:3.71 narH:3.04		Identity to nitrate reductases NarG, NarH of <i>M. tuberculosis</i> (62.8%, 67.1, respectively);		
SCO4948						
SCO6535-	Respiratory nitrate reductase (narGH)	narG:2.27 narH:2.14		Identity to nitrate reductases NarG, NarH of <i>M. tuberculosis</i> (65.9%, 67.2% for G, H, respectively);		
SCO6534						
SCO7310	Transcriptional regulator	2.10		Member of CRP/FNR family of transcriptional regulators;		
SCO7427	Regulatory protein	4.07		38.5% identity to NsrR (NO-dependent activator of the ResDE regulon) of <i>B. subtilis</i> ;		
SCO7428	Flavohemoprotein	2.10		35.4% identity to HmpA1 (nitric oxide dioxygenase) of <i>B. subtilis</i> ;		

DISCUSSION

Sanssouci et al. (11) constructed strains of *S. coelicolor* that did not express ($\Delta tdd8$) or overexpressed *tdd8* (*tdd8+*) and showed that these genetic modifications affected both growth and differentiation. This study presents a genome-wide transcriptomic analysis of these strains to explain the phenotypes associated with the differential expression of *tdd8* in *S. coelicolor*.

Transcription of several genes were affected by deleting or overexpressing *tdd8*, and a significant number of the genes were similarly up- or down-regulated in both $\Delta tdd8$ and *tdd8+*. Not much is known about the role of *tdd* genes in *S. coelicolor*, but Tdd8 shows calcium binding properties (39) (PDB number 3IBZ) and it has been suggested that Tdd proteins may play an important role in calcium homeostasis (10, 12). Since metal ions are involved in several physiological functions, an up- or down-regulation of the metal ions homeostasis systems may cause a general stress in both strains.

The onset of Red production is a key point for morphological differentiation in *S. coelicolor*. It corresponds to the transition period between the compartmentalized mycelium and the multinucleate mycelium (22). Among the genes involved in morphological differentiation, most chaplin genes were overexpressed at the onset of Red production in the $\Delta tdd8$ deletion mutant. σ^{bldN} and anti-sigma factor σ^{bldN} (*rsbN*) play a role in the expression level of chaplin genes (21) and effectively, chaplin genes, *bldN*, *rsbN* and *bldM*, a direct target of *bldN*, were overexpressed in $\Delta tdd8$ at the visual onset of Red biosynthesis. Overexpression of the chaplin genes during the exponential growth phase, alongside with other genes involved in morphological differentiation such as gene σ^U , *rsuA*, and the *bldK* genes (40, 41) may explain the improper development of the strain and its overproduction of cubic spores (11). In contrast, when growth arrest occurred in *tdd8+*, most of the above mentioned genes were less expressed than in wild-type M145 even if this last strain was still in its exponential growth. This lower expression combined with the up-regulation of genes such as *crgA* and *rodA*

responsible for septation inhibition and rod shape determination, respectively, might explain the phenotype of *tdd8+*, i.e. a low production of spores with irregular shapes and sizes (11).

The effect of deleting or overexpressing *tdd8* on sporulation may possibly be due to the calcium binding property of Tdd8 since Ca^{2+} is known to promote sporulation in streptomycetes (42). Interestingly, modulation of *tdd8* expression affected transcription of *cabC* which encodes another calcium-binding protein. Disruption or overexpression of *cabC* also results in sporulation defects (23) and in phenotypes similar to those observed in $\Delta tdd8$ and *tdd8+*. Overexpression of *cabC* at the onset of Red biosynthesis in the deletion mutant might thus represent a compensatory mechanism to cope with the absence of Tdd8.

The most striking observation was, however, the fact that several genes probably involved in redox stress response were overexpressed in $\Delta tdd8$ at the onset of Red production. Most of these genes were located in two distinct loci. As part of these loci, the *dosS*-like (SCO0203), *dosR*-like (SCO0204) and *dosT*-like (SCO0211) genes have orthologs in *M. tuberculosis* where in which DosS and DosT act as redox-stress (respiration-impairing gases such as NO and CO) and hypoxia sensors for the DosR transcriptional factor (43). In *Mycobacterium*, DosR controls the expression of genes necessary for dormancy survival (37, 43). Nitroreductase genes, CBS motif-containing genes and pyridoxamine 5'-phosphate oxidase genes belong to the DosR regulon in *M. tuberculosis* (33) and similar genes were found in multiple copies in the two loci (SCO0161-SCO0181 and SCO0197-SCO0220) identified in this study. A remarkable redundancy of genes with USP motif was detected in these loci. USP motif-containing genes are also present in several bacterial genomes where they appear to be involved in survival under anoxic conditions (44). The genome of this aerobic bacterium contains an impressive number of genes with putative functions usually ascribed to anaerobic metabolism. Although *S. coelicolor* cannot grow in total absence of oxygen, it is capable of microaerobic growth and can maintain viability through several weeks of strict anaerobiosis, but the molecular mechanisms linked to this resistance has not be determined yet (32).

Gene promoters controlled by DosR in *M. tuberculosis* possess a DosR binding motif in their promoter region (35-37). In the two redox stress response loci identified in this study, several genes presented a sequence similar to the DosR binding motif of *M. tuberculosis* in their upstream regions, suggesting that they could be part of a DosR-like regulon in *S. coelicolor*. Although a DosR binding motif has been found in a variety of actinobacteria (37), this is first report of a DosR like-binding motif in a *Streptomyces* species. As reported in several *Mycobacterium* species, in *Rhodococcus* sp., in *Nocardia farcinica*, and in *Saccharopolyspora erythrea*, *S. coelicolor* thus also appears to possess a DosR-like regulon. Among the genes presenting a DosR-like motif, genes coding for a nitrate reductase (SCO0216-0219) were found. The presence of active membrane-associated respiratory nitrate reductases has previously been demonstrated in *S. coelicolor* (45). The bacterium exhibits the capacity for nitrate reduction during aerobic growth but the exact role of respiratory nitrate reductases remains unclear under this conditions. It has been postulated that respiratory nitrate reductases might play a role to dissipate excess reductants (46). The high amount of NADH present in $\Delta tdd8$ cells at the visual onset of Red biosynthesis indicates the need for the mutant to balance its redox status and its nitrate reductases may participate in dissipating these excess reductants.

Nitric oxide inhibition of respiration induced the expression of the DosR regulon in *Mycobacterium* (47). Interestingly, *nsrR* and *hmpA1* that code for a NO-sensitive repressor and a flavohemoprotein were overexpressed in $\Delta tdd8$. Orthologs of these genes in other bacterial species are responsible for sensing and detoxification of NO (48). Upregulation of *nsrR* and *hmpA1* in $\Delta tdd8$ in the absence of an external source of nitric oxide is intriguing especially since no nitric oxide synthetase (NOS) orthologs was found in *S. coelicolor* genome. However, other species such as *S. antibioticus* produces high amount of Hmp in the absence of an exogenous supply of a NO (49) and *Saccharomyces cerevisiae*, that also lacks NOS orthologs, appears to produce NO (50). Endogenous production of NO by *S. coelicolor* cannot thus be excluded.

The $\Delta tdd8$ and $tdd8+$ strains reached their stationary phase of growth earlier than did the wild-type strain. The early entry in the stationary phase for $tdd8+$ appeared to be due to a lack of nitrogen. Effectively, several genes involved in nitrogen assimilation were up-regulated in this recombinant strain when growth arrest occurred ($tdd8+$ -t_{SG-34h} vs. M145-t_{34h}). The gene exhibiting the largest differential expression between $tdd8+$ and the wild-type strain in 34-h cultures was *glnII*, a gene encoding a eukaryotic-type glutamine synthetase. The activity of *glnII* was previously observed at late phases of growth and under nitrogen limiting conditions (51). In the case of $tdd8+$, the high NAD/NADH ratio indicated a rapid metabolism that possibly promotes nitrogen assimilation. In *S. coelicolor*, GlnR controls expression of genes involved in nitrogen assimilation such as *glnA* or *glnII* (30). GlnR is an orphan response regulator and the cellular mechanism that promotes its transcription is unknown. However, a relationship has been established between *tdd8* and *glnR*. While this study showed that *glnR* is up-regulated in $tdd8+$ at the stationary phase, Tiffert et al. (8) showed that Tdd8 biosynthesis was reduced in a *glnR* null mutant. Previously, σ^R was identified as a candidate for the regulation of *glnR* transcription (52) and *tdd8* is also a potential member of the σ^R regulon since the consensus motif (GGGAAN₁₈₋₂₀CGTT) related to σ^R binding site is present in its promoter region (53, 54). The sigma factor σ^R plays an important role in the physiological response to oxidative stress and redox homeostasis, specifically by responding to adverse changes in the thiol-disulphide redox balance (55, 56).

If the entry in the stationary phase of growth appeared to result from a nitrogen depletion in $tdd8+$, it is unlikely the case for $\Delta tdd8$. Comparison of transcriptomes for 77-h cultures ($\Delta tdd8$ -t_{SG-77h} vs. M145-t_{77h}) revealed that most nitrogen assimilation genes were downregulated in $\Delta tdd8$ at the beginning of the stationary phase compared to the wild-type strain that still was in the late exponential growth. This down-regulation may reflect a low utilization of some amino acids by $\Delta tdd8$. In conditions of the redox imbalance, some amino acids, such as glutamate are poorly catabolized (57). Overexpression of genes encoding the cytochrome bd and NADH dehydrogenase (Nuo) in the 77-h culture of $\Delta tdd8$ suggests that the growth arrest could rather result from a redox imbalance.

Modulation of *tdd8* expression has a considerable impact on *S. coelicolor* growth, differentiation, nitrogen assimilation and redox homeostasis but the precise mode of action of Tdd8 still has to be determined. This study brought evidence for the presence of a DosR-like regulon in *S. coelicolor*. The role of this DosR-like regulon in *S. coelicolor* differentiation process is currently under study.

ACNOWLEDGMENTS

We thank Ryszard Brzezinski and Chantal Binda for critical reading of the manuscript. This work was supported by a grant from the Natural Sciences and Engineering Research Council of Canada (NSERC).

REFERENCES

1. **Hopwood, D. A.** 2007 *Streptomyces* in nature and medicine : the antibiotic makers. Oxford University Press, Oxford, United Kingdom.
2. **Manteca, A., U. Mader, B. A. Connolly and J. Sanchez.** 2006. A proteomic analysis of *Streptomyces coelicolor* programmed cell death. *Proteomics*. **6**:6008-6022.
3. **Huang, J., C. J. Lih, K. H. Pan and S. N. Cohen.** 2001. Global analysis of growth phase responsive gene expression and regulation of antibiotic biosynthetic pathways in *Streptomyces coelicolor* using DNA microarrays. *Genes Dev.* **15**:3183-3192.
4. **Manteca, A., R. Alvarez, N. Salazar, P. Yague and J. Sanchez.** 2008. Mycelium differentiation and antibiotic production in submerged cultures of *Streptomyces coelicolor*. *Appl. Environ. Microbiol.* **74**:3877-3886.
5. **Novotna, J., J. Vohradsky, P. Berndt, H. Gramajo, H. Langen, X. M. Li, W. Minas, L. Orsaria, D. Roeder and C. J. Thompson.** 2003. Proteomic studies of diauxic lag in the differentiating prokaryote *Streptomyces coelicolor* reveal a regulatory network of stress-induced proteins and central metabolic enzymes. *Mol. Microbiol.* **48**:1289-1303.
6. **Langlois, P., S. Bourassa, G. G. Poirier and C. Beaulieu.** 2003. Identification of *Streptomyces coelicolor* proteins that are differentially expressed in the presence of plant material. *Appl. Environ. Microbiol.* **69**:1884-1889.
7. **Thomas, L., D. A. Hodgson, A. Wentzel, K. Nieselt, T. E. Ellingsen, J. Moore, E. R. Morrissey, R. Legaie, W. Wohlleben, A. Rodriguez-Garcia, J. F. Martin, N. J. Burroughs, E. M. Wellington and M. C. Smith.** 2012. Metabolic switches and adaptations deduced from the proteomes of *Streptomyces coelicolor* wild type and *phoP* mutant grown in batch culture. *Mol. Cell. Proteomics*. **11**:M111 013797.
8. **Tiffert, Y., M. Franz-Wachtel, C. Fladerer, A. Nordheim, J. Reuther, W. Wohlleben and Y. Mast.** 2011. Proteomic analysis of the GlnR-mediated response to nitrogen limitation in *Streptomyces coelicolor* M145. *Appl. Microbiol. Biotechnol.* **89**:1149-1159.
9. **Yang, Y. H., E. Song, E. J. Kim, K. Lee, W. S. Kim, S. S. Park, J. S. Hahn and B. G. Kim.** 2009. NdgR, an IclR-like regulator involved in amino-acid-dependent growth, quorum sensing, and antibiotic production in *Streptomyces coelicolor*. *Appl. Microbiol. Biotechnol.* **82**:501-511.
10. **Anantharaman, V., L. M. Iyer and L. Aravind.** 2012. Ter-dependent stress response systems: novel pathways related to metal sensing, production of a nucleoside-like metabolite, and DNA-processing. *Mol. Biosyst.* **8**:3142-3165.
11. **Sanssouci, E., S. Lerat, G. Grondin, F. Shareck and C. Beaulieu.** 2011. tdd8: a TerD domain-encoding gene involved in *Streptomyces coelicolor* differentiation. *Antonie Van Leeuwenhoek*. **100**:385-398.
12. **Pan, Y. R., Y. C. Lou, A. B. Seven, J. Rizo and C. Chen.** 2011. NMR structure and calcium-binding properties of the tellurite resistance protein TerD from *Klebsiella pneumoniae*. *J. Mol. Biol.* **405**:1188-1201.

13. **Perez-Redondo, R., A. Rodriguez-Garcia, A. Botas, I. Santamarta, J. F. Martin and P. Liras.** 2012. ArgR of *Streptomyces coelicolor* is a versatile regulator. PLoS One. **7**:e32697.
14. **De Mot, R., G. Schoofs and I. Nagy.** 2007. Proteome analysis of *Streptomyces coelicolor* mutants affected in the proteasome system reveals changes in stress-responsive proteins. Arch. Microbiol. **188**:257-271.
15. **Sanssouci, E., S. Lerat, F. Daigle, G. Grondin, F. Shareck and C. Beaulieu.** 2012. Deletion of TerD-domain-encoding genes: effect on *Streptomyces coelicolor* development. Can. J. Microbiol. **58**:1221-1229.
16. **Kieser, T., M. J. Bibb, M. J. Buttner, K. F. Chater and D. A. Hopwood.** 2000. Practical *streptomyces* genetics. John Innes Foundation, Norwich, United Kingdom.
17. **Smyth, G. K. and T. Speed.** 2003. Normalization of cDNA microarray data. Methods. **31**:265-273.
18. **Bucca, G., E. Laing, V. Mersinias, N. Allenby, D. Hurd, J. Holdstock, V. Brenner, M. Harrison and C. P. Smith.** 2009. Development and application of versatile high density microarrays for genome-wide analysis of *Streptomyces coelicolor*: characterization of the HspR regulon. Genome Biol. **10**:R5.
19. **Pfaffl, M. W., G. W. Horgan and L. Dempfle.** 2002. Relative expression software tool (REST) for group-wise comparison and statistical analysis of relative expression results in real-time PCR. Nucleic Acids Res. **30**:e36.
20. **Bailey, T. L., M. Boden, F. A. Buske, M. Frith, C. E. Grant, L. Clementi, J. Ren, W. W. Li and W. S. Noble.** 2009. MEME SUITE: tools for motif discovery and searching. Nucleic Acids Res. **37**:W202-208.
21. **Bibb, M. J., A. Domonkos, G. Chandra and M. J. Buttner.** 2012. Expression of the chaplin and rodlin hydrophobic sheath proteins in *Streptomyces venezuelae* is controlled by σ^{BldN} and a cognate anti-sigma factor, RsbN. Mol. Microbiol. **84**:1033-1049.
22. **Manteca, A., H. R. Jung, V. Schwammle, O. N. Jensen and J. Sanchez.** 2010. Quantitative proteome analysis of *Streptomyces coelicolor* Nonsporulating liquid cultures demonstrates a complex differentiation process comparable to that occurring in sporulating solid cultures. J. Proteome Res. **9**:4801-4811.
23. **Wang, S. L., K. Q. Fan, X. Yang, Z. X. Lin, X. P. Xu and K. Q. Yang.** 2008. CabC, an EF-hand calcium-binding protein, is involved in Ca^{2+} mediated regulation of spore germination and aerial hypha formation in *Streptomyces coelicolor*. J. Bacteriol. **190**:4061-4068.
24. **McCormick, J. R. and K. Flärdh.** 2012. Signals and regulators that govern *Streptomyces* development. FEMS Microbiol. Rev. **36**:206-231.
25. **Noens, E. E., V. Mersinias, B. A. Traag, C. P. Smith, H. K. Koerten and G. P. van Wezel.** 2005. SsgA-like proteins determine the fate of peptidoglycan during sporulation of *Streptomyces coelicolor*. Mol. Microbiol. **58**:929-944.
26. **Flärdh, K. and M. J. Buttner.** 2009. *Streptomyces* morphogenetics: dissecting differentiation in a filamentous bacterium. Nat. Rev. Microbiol. **7**:36-49.

27. **Del Sol, R., J. G. Mullins, N. Grantcharova, K. Flardh and P. Dyson.** 2006. Influence of CrgA on assembly of the cell division protein FtsZ during development of *Streptomyces coelicolor*. *J. Bacteriol.* **188**:1540-1550.
28. **Mistry, B. V., R. Del Sol, C. Wright, K. Findlay and P. Dyson.** 2008. FtsW is a dispensable cell division protein required for Z-ring stabilization during sporulation septation in *Streptomyces coelicolor*. *J. Bacteriol.* **190**:5555-5566.
29. **Willey, J. M., A. Willems, S. Kodani and J. R. Nodwell.** 2006. Morphogenetic surfactants and their role in the formation of aerial hyphae in *Streptomyces coelicolor*. *Mol. Microbiol.* **59**:731-742.
30. **Tiffert, Y., P. Supra, R. Wurm, W. Wohlleben, R. Wagner and J. Reuther.** 2008. The *Streptomyces coelicolor* GlnR regulon: identification of new GlnR targets and evidence for a central role of GlnR in nitrogen metabolism in actinomycetes. *Mol. Microbiol.* **67**:861-880.
31. **Reuther, J. and W. Wohlleben.** 2007. Nitrogen metabolism in *Streptomyces coelicolor*: transcriptional and post-translational regulation. *J. Mol. Microbiol. Biotechnol.* **12**:139-146.
32. **Van Keulen, G., J. Alderson, J. White and R. G. Sawers.** 2007. The obligate aerobic actinomycete *Streptomyces coelicolor* A3(2) survives extended periods of anaerobic stress. *Environ. Microbiol.* **9**:3143-3149.
33. **Honaker, R. W., R. K. Dhiman, P. Narayanasamy, D. C. Crick and M. I. Voskuil.** 2010. DosS responds to a reduced electron transport system to induce the *Mycobacterium tuberculosis* DosR regulon. *J Bacteriol.* **192**:6447-6455.
34. **Kommineni, S., A. Lama, B. Popescu and M. M. Nakano.** 2012. Global transcriptional control by NsrR in *Bacillus subtilis*. *J. Bacteriol.* **194**:1679-1688.
35. **Florczyk, M. A., L. A. McCue, A. Purkayastha, E. Currenti, M. J. Wolin and K. A. McDonough.** 2003. A family of acr-coregulated *Mycobacterium tuberculosis* genes shares a common DNA motif and requires Rv3133c (*dosR* or *devR*) for expression. *Infect. Immun.* **71**:5332-5343.
36. **Chauhan, S., D. Sharma, A. Singh, A. Surolia and J. S. Tyagi.** 2011. Comprehensive insights into *Mycobacterium tuberculosis* DevR (DosR) regulon activation switch. *Nucleic Acids Res.* **39**:7400-7414.
37. **Gerasimova, A., A. E. Kazakov, A. P. Arkin, I. Dubchak and M. S. Gelfand.** 2011. Comparative genomics of the dormancy regulons in mycobacteria. *J. Bacteriol.* **193**:3446-3452.
38. **Liang, L., R. Liu, G. Wang, D. Gou, J. Ma, K. Chen, M. Jiang, P. Wei and P. Ouyang.** 2012. Regulation of NAD(H) pool and NADH/NAD(+) ratio by overexpression of nicotinic acid phosphoribosyltransferase for succinic acid production in *Escherichia coli* NZN111. *Enzyme Microb. Technol.* **51**:286-293.
39. **Agranoff, D. and S. Krishna.** 2004. Metal ion transport and regulation in *Mycobacterium tuberculosis*. *Front. Biosci.* **9**:2996-3006.
40. **Nodwell, J. R. and R. Losick.** 1998. Purification of an extracellular signaling molecule involved in production of aerial mycelium by *Streptomyces coelicolor*. *J. Bacteriol.* **180**:1334-1337.

41. **Gordon, N. D., G. L. Ottaviano, S. E. Connell, G. V. Tobkin, C. H. Son, S. Shterental and A. M. Gehring.** 2008. Secreted-protein response to σ^U activity in *Streptomyces coelicolor*. *J. Bacteriol.* **190**:894-904.
42. **Daza, A., J. F. Martin, A. Dominguez and J. A. Gil.** 1989. Sporulation of several species of *Streptomyces* in submerged cultures after nutritional downshift. *J. Gen. Microbiol.* **135**:2483-2491.
43. **Boon, C. and T. Dick.** 2012. How *Mycobacterium tuberculosis* goes to sleep: the dormancy survival regulator DosR a decade later. *Future Microbiol.* **7**:513-518.
44. **Sass, A. M., C. Schmerk, K. Agnoli, P. J. Norville, L. Eberl, M. A. Valvano and E. Mahenthiralingam.** 2013. The unexpected discovery of a novel low-oxygen-activated locus for the anoxic persistence of Burkholderia cenocepacia. *ISME J.* **1**-14.
45. **van Keulen, G., J. Alderson, J. White and R. G. Sawers.** 2005. Nitrate respiration in the actinomycete *Streptomyces coelicolor*. *Biochem. Soc. Trans.* **33**:210-212.
46. **Fischer, M., J. Alderson, G. van Keulen, J. White and R. G. Sawers.** 2010. The obligate aerobe *Streptomyces coelicolor* A3(2) synthesizes three active respiratory nitrate reductases. *Microbiology*. **156**:3166-3179.
47. **Hu, Y. and A. R. Coates.** 2011. *Mycobacterium tuberculosis acg* gene is required for growth and virulence in vivo. *PLoS One*. **6**:e20958.
48. **Tucker, N. P., M. G. Hicks, T. A. Clarke, J. C. Crack, G. Chandra, N. E. Le Brun, R. Dixon and M. I. Hutchings.** 2008. The transcriptional repressor protein NsrR senses nitric oxide directly via a [2Fe-2S] cluster. *PLoS One*. **3**:e3623.
49. **Sasaki, Y., N. Takaya, A. Nakamura and H. Shoun.** 2004. Isolation of flavohemoglobin from the actinomycete *Streptomyces antibioticus* grown without external nitric oxide stress. *Biosci. Biotechnol. Biochem.* **68**:1106-1112.
50. **Lewinska, A., E. Macierzynska, A. Grzelak and G. Bartosz.** 2011. A genetic analysis of nitric oxide-mediated signaling during chronological aging in the yeast. *Biogerontology*. **12**:309-320.
51. **Fink, D., N. Weissbuch, J. Reuther, W. Wohlleben and A. Engels.** 2002. Two transcriptional regulators GlnR and GlnRII are involved in regulation of nitrogen metabolism in *Streptomyces coelicolor* A3(2). *Mol. Microbiol.* **46**:331-347.
52. **Kang, J. G., M. Y. Hahn, A. Ishihama and J. H. Roe.** 1997. Identification of sigma factors for growth phase-related promoter selectivity of RNA polymerases from *Streptomyces coelicolor* A3(2). *Nucleic Acids Res.* **25**:2566-2573.
53. **Eng, C., C. Asthana, B. Aigle, S. Hergalant, J. F. Mari and P. Leblond.** 2009. A new data mining approach for the detection of bacterial promoters combining stochastic and combinatorial methods. *J. Comput. Biol.* **16**:1211-1225.
54. **Touzain, F., S. Schbath, I. Debled-Rennesson, B. Aigle, G. Kucherov and P. Leblond.** 2008. SIGffRid: a tool to search for sigma factor binding sites in bacterial genomes using comparative approach and biologically driven statistics. *BMC Bioinformatics*. **9**:73.
55. **Paget, M. S., J. B. Bae, M. Y. Hahn, W. Li, C. Kleanthous, J. H. Roe and M. J. Buttner.** 2001. Mutational analysis of RsrA, a zinc-binding anti-sigma factor with a thiol-disulphide redox switch. *Mol. Microbiol.* **39**:1036-1047.

56. **Kallifidas, D., D. Thomas, P. Doughty and M. S. Paget.** 2010. The sigmaR regulon of *Streptomyces coelicolor* A32 reveals a key role in protein quality control during disulphide stress. *Microbiology*. **156**:1661-1672.
57. **Pruss, B. M., J. M. Nelms, C. Park and A. J. Wolfe.** 1994. Mutations in NADH:ubiquinone oxidoreductase of *Escherichia coli* affect growth on mixed amino acids. *J. Bacteriol.* **176**:2143-2150.

Supplementary Table S1. Primers used for RT-qPCRs.

SCO number	Primer Name	Sequence (5'→3') forward and reverse primers
SCO0162	SCO0162F	GACGTCCTTGACCTCTCATC
	SCO0162R	GAGCCGAAGGACCATCT
SCO0168	SCO0168F	GCCGATCGCTCTGGATCGTGCCT
	SCO0168R	TGCCACCGGTACGGAGGAAAGTGC
SCO0171	SCO0171F	CGCGACGTTCAGTCTGTT
	SCO0171R	GAAAGGCGCTGAGGTAGTC
SCO0174	SCO0174F	CGTGCAGACTGGCTGATG
	SCO0174R	CAGTGTGGATTGCGAAGAG
SCO0204	SCO0204F	AAGCCCGGTCAAGGTCTCCTCCT
	SCO0204R	CCACGGTGATGTCCGGTTCGTCGT
SCO0212	SCO0212F2	ATCGAGGCGGTGCTGTA
	SCO0212R2	CCTGTTCTTGAGGATGTGTT
SCO0215	SCO0215F	CGTTCCGGACATCGTGAG
	SCO0215R	GGCGCGTTCCGGTGATA
SCO0216	SCO0216F	GCGTACGGGTGGCCGTTGATGAT
	SCO0216R	GGTCATGGTCGTCAGGCCAGGAA
SCO2368	SCO2368F	AACGTTCGCTGACCAAGGAGGCC
	SCO2368R	AGAAGATGAAGTGCAGCGTCGCTGGC
SCO3873	SCO3873F	GCGACGACCGCAAGACCAAGCTGAT
	SCO3873F	TGACGACGATGTCCTCCTCGCGAT
SCO3945	SCO3945F	CAGGTCTTCCACAGCTTCT
	SCO3945R	CACCGGGATGTGCTTCTT
SCO7427	SCO7427F	GACGAAGTTACCGACCTG
	SCO7427R	GGCCAGTGGTCGTCAC
SCO7428	SCO7428F	CCGTATCTCGCACAGCA
	SCO7428R	ATCAGCCAGTAGACCTCGT

Supplementary Table S2. Validation of transcriptomic expression from Microarray of redox-stress response loci genes in *S. coelicolor* by RT-qPCR, fold change is obtained by the differential expression at t_{OR} between Δ*tdd8* over M145.

SCO number	Gene assignation	Protein function	Fold change	
			RT-qPCR	Microarray
SCO0162		Putative nitroreductase motif	3.877	5.92
SCO0168		Crp-Fnr like regulator	3.719	27.13
SCO0171		Nicotinate phosphoribosyltransferase	8.644	4.93
SCO0174		DNA-binding protein with pyridoxamine 5'-phosphate oxidase motif	12.729	16.85
SCO0204		DosR-like regulator	12.438	12.63
SCO0212		Putative hemerythrin motif	5.769	21.77
SCO0215		Putative nitroreductase motif	7.639	2.93
SCO0216	<i>narG</i>	Nitrate reductase	4.136	12.94
SCO3945	<i>cydA</i>	Cytochrome BD	10.339	4.87
SCO7427	<i>nsrR</i>	NO sensitive transcriptional repressor	2.028	4.07
SCO7428	<i>hmpA1</i>	NO dioxygenase	32.074	2.10

Continuation supplementary Table S3

SCO3947	ABC transporter	4343638	4347056	+	0.006363985	0.25387755	231.19078	2.258562288868 0.4900899	0.68671125	-0.14906791	-0.04621697	0.3597549	1.1957697
SCO3967	hypothetical protein	4368627	4368606	-	0.0015730913	0.120588236	111.76182	3.3806975418 3.3151202	1.0161892	2.644785	24081393	4.129996	4.257566
SCO3968	integral membrane protein	4369509	4369555	-	0.0014206978	0.12076087	105.924126	3.532764248472 3.10309342	1.0755154	1.993121	24504302	4.140195	3.8775907
SCO4080	hypothetical protein	4474777	4474193	-	0.004785778	0.22857055	198.27582	2.49561526584 0.8602961	0.80224466	0.3215131	0.079567694	1.2368459	1.809257
SCO4104	hypothetical protein	4480446	4480422	-	0.004785778	0.22857055	198.27582	2.49561526584 0.8602961	0.80224466	0.3215131	0.079567694	1.2368459	1.809257
SCO4139	hypothetical protein	4607810	4608451	+	0.004663793	0.22809658	200.03158	2.47373156915 0.5258163	0.75204345	2.766127	2.38841213	4.204967	4.0311103
SCO4441	DNA-binding protein	4636202	4636407	+	0.0037401204	0.28112040	256.4362	2.188020182915 0.505065	0.6707044	1.118813	1.4605135	2.4921112	2.3429602
SCO4475	cytochrome b/c complex subunit 6 related	4893909	4895051	+	0.003978437	0.31337607	285.49442	2.038430630735 0.7254948	0.5939265	0.2526049	0.1511805	1.2948755	1.1376529
SCO4689	hypothetical protein	5117228	5117560	+	0.001039647	0.09691568	90.5062	3.832053611441 0.048216283	1.1179424	-1.062522	0.59227734		
SCO4690	hypothetical protein	5117634	5117876	+	0.004105474	0.2138	182.28297	2.533238819672 0.4504188	0.78404155	-1.079513	-1.1697037	0.36750358	0.06471336
SCO4768	two-component regulator	5179727	5180338	+	5.35984164	0.072965254	69.88023	4.662778332209 1.666983	1.304182	0.237134	0.631851	2.613944	2.9296222
SCO4772	transposase	5184449	5185669	+	8.87515154	0.09378378	85.3653	4.033371470206 0.33957827	1.26904	-0.6636948	0.669145	0.94448	1.7466627
SCO4854	integral membrane protein	5284273	5285363	-	0.006902927	0.24802083	225.773	2.257318756440 0.244916	0.6904374	-0.17976521	0.44988173	0.9489352	0.77513816
SCO4948	nitrate reductase beta chain	5384840	5386846	+	0.022394168	0.14591667	133.48755	3.05861140504 0.762851	0.752365	-1.15694212	-1.605771	0.045122873	-0.089382652
SCO5147	RNA polymerase sigma factor	5593690	5594361	+	0.051093493	0.23226744	205.87337	2.38977023482 3.3380027	0.7399481	2.8228565	2596677	3.8822318	4.1006455
SCO5176	reductase	5624510	5625622	+	0.034658064	0.18622378	164.5802	2.65312539676 0.36700100	0.81400826	-1.1270618	-1.0146334	0.32463977	0.3493513
SCO5177	hypothetical protein	5625610	5626369	+	0.001668918	0.123271026	115.81352	3.337709069920 0.967388	0.0083852	-0.5227441	-0.686768	1.0544496	1.2057564
SCO5218	integral membrane protein	5676345	5676707	+	0.004132242	0.2193735	183.16476	2.605454127890 0.7418301	0.82086038	-0.17586522	0.27799064	1.3625736	1.5026214
SCO5219	lipoprotein	5676756	5678932	+	0.006939561	0.26301506	237.06238	2.249881915694 0.42493765	0.6777585	-0.2583278	-0.06277056	0.8889387	1.1466663
SCO5361	regulatory protein	5818975	5819478	+	0.0058182626	0.24333334	221.62027	2.368870393975 2.73678	0.78661038	1.9075081	2.3319038	3.3035783	3.4070263
SCO5390	alkaline monooxygenase (luc)	5885996	5886868	+	0.039712753	0.188695936	163.60384	2.779329106640 0.7556111	0.0497061	-0.2722207	0.30860625	1.2562367	1.725522
SCO5409	transcriptional regulator	5887384	5887408	+	0.005760432	0.26120593	219.04675	2.5141702539 0.26286808	0.6367708	2.11139404	2.621868	3.524617	3.35025368
SCO5424	guanine nucleotide phosphatase	5902228	5903072	+	0.005693458	0.24059456	217.40475	2.403865627239 0.6392528	0.752516	1.2246517	1.276651		
SCO5446	hydrolase	5961973	5961973	+	0.072119194	0.25707187	246.6892	2.3633061825 0.9561956	0.65125124	0.05256002	0.0704257	1.26252	1.109568
SCO5585	hypothetical protein	6033266	6034691	+	0.0087770104	0.2301665	238.4614	2.362268939656 0.28517	0.7799232	2.6947245	3.693194	3.3900012	
SCO5605	hypothetical protein	6107817	6108128	+	0.008446462	0.26749767	242.08683	2.322264394752 0.28517	0.7763654	0.36367266	0.388954045	2.1757547	1.6302938
SCO5739	hypothetical protein	6259395	6259474	+	0.009222923	0.31465664	283.1924	2.0988719162 0.2862501	0.6128975	2.5635992	2.1161631	3.357038	3.399469
SCO5903	LacZ repressor (E.C.34.21.88)	6346369	6345664	+	0.00324429	0.18134345	160.4101	2.75767315151 0.18616722	0.816942	0.9320077	1.3220919	2.6637	2.5204058
SCO5926	hypothetical protein	6375773	6376357	+	5.34579524	0.07897333	65.49374	6.713639340070 0.0936669	0.102222	-0.4312285	-0.02151851	1.3610975	0.2070145
SCO5927		6376364	6377346	+	0.00478568	0.22878205	198.60356	2.403711723298 0.24236092	0.7395293	-0.87389374	0.31859383	0.46315145	
SCO6041	protochlorophyllogen oxidase	6633983	6634714	+	0.008700708	0.2912364	263.18827	2.168324057689 0.4618566	0.6952012	-0.22461045	0.07182328	1.3224227	0.5777911
SCO6042	hypothetical protein	6666219	6668399	+	0.005146681	0.23211765	204.49275	2.104400486604 0.5821534	0.622088	2.777505	2.665331	3.8292742	3.7603815
SCO6073	cyclase	6979688	6979711	+	0.005367694	0.23711865	210.4762	2.41059710056 0.7200329	0.79341215	-2.013043	-2.6964133	1.2930359	-0.9575859
SCO6093	transposase	7061035	7061838	+	0.001605449	0.12148336	107.29299	4.939383636194 0.17974742	1.046089	-0.811254	0.6342004	1.0092329	1.1545408
SCO6094	IS element ATP binding protein	7061836	7062005	+	0.040236326	0.21256757	180.62422	2.571627740402 0.29305187	0.81896575	-1.399433	-1.8039522	-0.4305845	0.04743616
SCO6084	hypothetical protein	7174911	7177493	+	0.008426038	0.299	269.88022	2.129968687110 0.7397885	0.6510322	0.00985681	0.0413979	1.3048599	1.307693
SCO6231	ATP/GTP binding protein	7223286	7223711	+	0.009317048	0.31400662	284.5226	2.06783745153 0.2598933	0.60691	1.842700	1.725703	2.7823646	2.8577507
SCO6234	nitrate reductase beta chain	7226553	7226958	+	0.008171407	0.2924886	264.0653	2.145830871551 0.7157131	0.6360577	-1.304687	-1.3200963	0.21767746	-0.0246309
SCO6235	nitrate reductase alpha chain	7230348	7230553	+	0.006513206	0.24774869	251.10622	2.272619332306 0.063997979	0.6839379	-0.6612813	0.6910707	0.0517403	0.49895674
SCO6629	hypothetical protein	7593119	7593303	+	0.004644948	0.2598093	202.4403	2.4889714454 0.4584744	0.7747244	0.7747244	0.7747244	1.007427	
SCO6976	hypothetical protein	7523406	7524428	+	0.005569707	0.28014131	214.69263	2.262638293777 0.17246479	0.6767989	0.4819756	-0.36472404	0.070526	0.6117622
SCO6996	hypothetical protein	7671207	7669210	+	0.00617944	0.25393339	230.44167	2.261632893777 0.17246479	0.6767989	0.4819756	-0.36472404	0.070526	0.6117622
SCO7310	regulatory protein	8117850	8117859	+	0.002833705	0.30834448	271.3387	2.028365454581 0.2651037	0.2737378	1.0985581	0.3827465	0.07071724	0.06262643
SCO7427	hypothetical protein	8241895	8242281	+	8.772600414	0.0927778	84.505264	4.06697219151 0.2986971	1.202957	1.753479	2.2747399	3.356857	3.9410403
SCO7428	flavohemoprotein	8242365	8243551	+	0.00907546	0.31163716	279.46167	2.104439430704 0.83939434	0.6960568	0.1911536	0.040154153	1.60003	1.0796121
SCO7536	Integral membrane protein	8355339	8377578	+	7.0341485	0.01964268	281.29207	9.2293411534112 0.8695908	1.856143	1.1314318	1.402577	4.571367	4.3747473
SCO7647	calcium binding protein	8474616	8475174	+	0.006784755	0.26525	238.82845	2.2416074218 0.062532767	0.6930895	-0.5916636	0.6433396	0.3425474	0.7515431
SCO7657	secreted protein	8483781	8485538	+	0.0051374855	0.23219052	206.29877	2.38313110528 0.30096883	0.7322244	2.2901323	2.4769096	3.73952	3.5333114

Continuation supplementary Table S3

Description	Primary 5' Er	Primary 3' Er	strand	p-Values (Up)	q-Values (Up)	RP-Values (Up)	Fold Change	Mean	std.dev	WT2	WT3	D2	D3	
										WT2	WT3	S2	S3	
SC00004	hypothetical protein	6979	7175	+	Dttb-IOR vs wt-tc.002453896	0.1731579	152.36627	2.854839278	-0.9647123	0.93045937	-1.630808	-1.8067491	-0.4761076	0.060089458
SC00005	transposase	7189	9809	+	tddtb-IOR vs wt-tc.0074050394	0.4593055	248.96703	1.718941499	-1.93051	0.52130663	-1.630808	-1.8067491	-1.2403313	-0.6317221
SC00010	hypothetical protein	12366	13457	+	Dttb-IOR vs wt-tc.001561186	0.1815385	109.157196	2.209935297	-1.9271541	0.78894925	-2.2286195	-2.7692314	-1.8099767	-0.90707663
SC00045	hypothetical protein	36817	36689	-	tddtb-IOR vs wt-tc.004867632	0.42838052	230.493899	1.68894024C	-2.1772131	0.452050	-2.691761	-2.7726274	-2.1051104	-1.8495838
SC00382	UDP-glucose/GDP-mannose I	397485	398810	+	tddtb-IOR vs wt-tc.002541893	0.1584477	57.2525	5.152340525	-0.5382974	2.415163	-6.86247	-3.039305	-4.0267207	-2.3203053
SC00383	hypothetical protein	398881	400104	+	tddtb-IOR vs wt-tc.0032343074	0.29133817	160.2645	2.006403572	0.6989506	0.6569706	-0.04377789	-0.44016206	1.8382006	1.6707225
SC00393	transferase	414934	415303	+	Dttb-IOR vs wt-tc.0006750355	0.2305724	179.56767	1.954686764	0.1032215	0.6280563	-0.5950981	-0.16841845	1.385415	1.2372779
SC00682	hypothetical protein	725013	724639	-	Dttb-IOR vs wt-tc.000927869	0.51925232	282.939	1.665717397	-0.13833792	0.46917874	-0.5431646	-0.4616131	0.7416413	0.7472904
SC01163	secreted protein	122414	122325	-	tddtb-IOR vs wt-tc.000927869	0.4549497	101.47372	2.449452466	1.0765852	0.675733	0.17681114	0.6837069	2.362012	
SC01165	secreted protein	1268493	1267630	-	Dttb-IOR vs wt-tc.001346715	0.17847452	113.12539	3.128577220	0.69379395	0.36945796	-0.38250200	0.0903074	1.4365996	1.5581875
SC01474	hypothetical protein	1574728	1575279	+	Dttb-IOR vs wt-tc.000801604	0.1818938	299.3056	1.827903595	0.28999916	0.61951816	-0.38250200	0.0903074	0.5118691	1.0997388
SC01626	cytochrome P450	1714561	1740065	-	Dttb-IOR vs wt-tc.002541893	0.076003851	53.9723	1.758914044	0.16933762	0.4242036	-0.000103	0.3957424	1.8426119	1.3038004
SC01627	ATP-GTP binding protein	1742167	1741637	-	Dttb-IOR vs wt-tc.001776442	0.18721311	105.91005	2.103687462	0.36633886	1.1121971	0.59511364	1.1368629	2.0242887	1.8383175
SC01628	hypothetical protein	1742654	1742398	-	Dttb-IOR vs wt-tc.000878756	0.3067106	275.63654	2.373664665	0.2116921	0.62082827	-0.7035317	-0.46858642	0.46393013	0.5095863
SC01629	hypothetical protein	1743568	1742651	-	Dttb-IOR vs wt-tc.000765455	0.47936232	271.309	1.684174677	-0.21003939	0.4566747	-0.7035317	-0.46858642	-0.0223935	0.4738962
SC01630	integral membrane protein	1744680	1743055	-	Dttb-IOR vs wt-tc.001761365	0.47936237	49.779343	3.649565813	1.57576387	0.280391	-0.2293805	0.5266888	2.7263038	2.197957
SC01631	small secreted protein	1928841	1928939	-	Dttb-IOR vs wt-tc.001761365	0.47936237	10.068374	1.953865813	0.280391	0.5266888	-0.2293805	0.5266888	2.7263038	2.197957
SC01632	secreted hydrolase	2108409	2109278	-	Dttb-IOR vs wt-tc.0002362195	0.1501626	137.13522	3.912866695	3.2777776	1.564941	3.6010911	4.437254	4.088349	
SC01633	hypothetical protein	2109316	2109670	+	Dttb-IOR vs wt-tc.000429667	0.23525641	187.43438	4.67935795	2.5567737	1.7471213	0.1191807	3.2062347	4.223795	2.677878
SC02195	hypothetical protein	2363105	2363320	+	tddtb-IOR vs wt-tc.000800102	0.4793984	260.61002	4.679344042	0.75612089	0.8967056	-0.1704384	-0.7555754	-0.02026307	0.9582634
SC02286	alkaline phosphatase	2457821	2461645	-	Dttb-IOR vs wt-tc.001761365	0.235256455	124.75076	4.677966612	0.17342049	1.2930662	-0.9443156	-0.9552799	1.4586202	1.1146573
SC02302	hypothetical protein	2471382	2472650	+	Dttb-IOR vs wt-tc.001761365	0.0075	15.068374	1.546173601	0.13096593	2.313882	2.772110302	0.9945135	0.9552799	1.2372779
SC02348	secreted protein	2517893	2518537	-	Dttb-IOR vs wt-tc.000217873	0.23287002	281.12128	4.766261565	0.32123065	1.5139375	0.9881152	3.6010911	4.34255	3.915053
SC02351	2-dehydro-3-deoxyheptone	3620903	3619449	-	Dttb-IOR vs wt-tc.0017803094	0.12976724	77.27779	2.610694004	0.12765208	0.9067576	-0.1743848	-0.7555754	1.6360662	1.0688218
SC02352	indoleglycerol phosphate synthase	3621676	3620900	-	Dttb-IOR vs wt-tc.0017803094	0.0572	39.97263	5.013849244	0.16933762	0.4242036	-0.000103	0.3957424	1.8426119	1.3038004
SC02353	anthranilate phosphoribosyl transferase	3622680	3621673	-	Dttb-IOR vs wt-tc.0002053306	0.0572	103.08697	4.175294799	0.1759388	0.177698	-0.0001077	0.2695248	2.7070797	
SC02354	anthranilate synthase compo	3623299	3622697	-	Dttb-IOR vs wt-tc.000213761	0.123027022	119.062036	3.425172540	0.03917474	0.13226607	-0.074552725	0.0703060	1.8030729	1.6012388
SC02355	secreted protein	36232971	3623296	-	Dttb-IOR vs wt-tc.000213761	0.123027022	120.280702	3.425172540	0.03917474	0.13226607	-0.074552725	0.0703060	1.8030729	1.6012388
SC02356	anthranilate synthase compo	3624831	3623296	-	Dttb-IOR vs wt-tc.000213761	0.22328994	139.0537	3.425172540	0.03917474	0.13226607	-0.074552725	0.0703060	1.8030729	1.6012388
SC02357	prephenate dehydrogenase	3634346	3633942	-	Dttb-IOR vs wt-tc.001761365	0.0572	3.304772103	0.4651045	1.0102564	-0.46631843	-0.33121142	1.7230167	1.4736207	
SC02358	transcriptional regulator	3659272	3651188	-	Dttb-IOR vs wt-tc.000448627	0.22138545	15.8423915	5.404672707	0.03953394	1.4839003	-0.65761845	-0.7671309	1.0979385	0.95570334
SC02359	hypothetical protein	3653165	3651250	-	Dttb-IOR vs wt-tc.001761365	0.02	107.7897	2.423171577	0.1230175	0.2386576	-0.65761845	-0.7671309	1.0971361	0.95570334
SC02360	secreted protein	3653399	3652971	-	Dttb-IOR vs wt-tc.000213761	0.086875	53.36793	4.678542535	0.1613187	1.7269379	-0.22336607	0.2308622	3.2026236	2.4676933
SC02361	2-dehydro-3-deoxyheptone	3652093	3651449	-	Dttb-IOR vs wt-tc.000213761	0.05129167	85.30719	4.679344042	0.17342049	1.2930662	-0.1743848	-0.7555754	-0.02026307	0.9582634
SC02362	anthranilate synthase	3652167	3651449	-	Dttb-IOR vs wt-tc.000213761	0.05129167	85.30719	4.679344042	0.17342049	1.2930662	-0.1743848	-0.7555754	-0.02026307	0.9582634
SC02363	secreted protein	3653489	3653444	-	Dttb-IOR vs wt-tc.000213761	0.05129167	10.075149	3.465390656	0.1257121	0.2387994	-0.14623018	0.3060255	3.3630398	3.5622016
SC02364	aminotransferase	3654180	3640668	-	Dttb-IOR vs wt-tc.000213761	0.05129167	64.77934	4.785446881	0.02558868	1.2713865	-0.1305136	-0.9102244	1.2718631	1.0319084
SC02365	glyceraldehyde 3-phosphate dehydrogenase	3653399	36532971	-	Dttb-IOR vs wt-tc.00020526054	0.02442623	20.513	4.620037400	0.02322030	1.222523	-0.0009364	0.2345208	2.1020025	1.7605034
SC02366	secreted protein	3653492	36532971	-	Dttb-IOR vs wt-tc.00020526054	0.02442623	20.02020	4.7102094	0.024517207	1.2312076	-0.0009364	0.2345208	1.9703856	1.556269
SC02367	4-hydroxyphenylpyruvic acid	3654066	3641351	-	Dttb-IOR vs wt-tc.001761365	0.0572	65.323772	5.038483315	0.171415	1.4767623	-0.3972595	0.7779826	3.0368649	2.0664934
SC02368	hydrolase	3658392	3658101	-	Dttb-IOR vs wt-tc.001761365	0.05257778	84.5804	3.80761954	0.17617977	1.250216	-0.0857637	-1.0620965	0.41190303	1.1028323
SC02369	phosphotransferase	3658482	3658724	-	Dttb-IOR vs wt-tc.0016152961	0.12025671	113.281295	3.962365799	0.37545813	0.65515767	-0.8912288	-1.0052233	0.3617081	0.6917805

Continuation supplementary Table S3

Down regulated ΔtddB-t _{DR} vs wt-t _{DR} and tddBt-t _{DR} vs wt-t _{DR}																		
Description	Primary 5' Er	Primary 3' En	strand	Original row	p-Values (Down)	q-Values (Down)	RP-Values (Down)	Fold Change	Mean	std.dev	WT2	WT3	D2	D3	WT2	WT3	SS2	SS3
SCO0617	hypothetical protein	551918	552115	+	TtdBt-IQR vs wt-1.6739935f-4	0.14243244	74.64167	2.1126146	-1.0276765	0.8939564	-0.304217	-0.6726834	-2.230363	-0.9028018				
SCO0688	secreted protein	933708	934271	+	TtdBt-IQR vs wt-1.00012009848	0.44333333	113.51546	1.7093393	-0.87427205	0.6959233	-0.304217	-0.6726834	-1.7596993	-0.7322858				
SCO1522	glutamin amidotransferase	1627443	1626885	-	TtdBt-IQR vs wt-1.005647781	0.39795645	56.746365	2.220608	1.5457329	0.8676768	2.592505	1.9884118	0.80693244	1.129566				
SCO1773	L-alanine dehydrogenase	1893608	1892493	-	TtdBt-IQR vs wt-1.00416865-5	0.05	157.21394	1.6031862	1.265015	0.5331101	1.3684015	1.9648445	1.0968119	0.6973452				
SCO1845	Iow-affinity phosphotrans	1973943	1975214	+	TtdBt-IQR vs wt-1.27000076-6	0.050	224.40065	2.9461547	1.5111843	0.9165798	2.0864044	0.8816250	0.8766613	2.9461547	2.1440414	0.9704851	0.4970473	
SCO1846	Iow-affinity phosphotrans	1975214	1975409	+	TtdBt-IQR vs wt-1.32523414-5	0.05	114.42399	2.9641547	1.5111843	0.9165798	2.0864044	0.8816250	0.8766613	2.9641547	2.1440414	0.9704851	0.4970473	
SCO1846	hypothetical protein	1975409	1975740	+	TtdBt-IQR vs wt-1.000712621	0.4236254	245.41599	1.781201	1.1554793	0.5941304	1.8894201	1.1564367	0.8219236	0.6493775				
SCO1851	cob(I)yrinic acid a,c-diamide	1984022	1984621	+	TtdBt-IQR vs wt-1.006849981	0.423848	340.13223	1.6669207	1.9795373	0.43657573	2.2656097	2.4307704	1.6909384	1.5229709				
SCO1855	precorrin-4 C11-methyltrans	1987618	1988463	-	TtdBt-IQR vs wt-1.000916982	0.4599303	282.4846	1.6176274	0.9526352	0.45679364	1.0653423	1.5332632	0.7274954	0.48389168	0.7274954	0.48389168		
SCO2666	hypothetical protein	2769481	2768800	-	TtdBt-IQR vs wt-1.00012111524	0.1894	98.36128	2.0236392	0.1073495	0.0038464	0.5619149	0.6965062	-0.22861462	0.5466862				
SCO2629	hypothetical protein	2856104	2856250	-	TtdBt-IQR vs wt-1.00029338728	0.6852728	227.4744	1.5519096	0.3121883	0.0461009	0.5619149	0.6965062	0.19791912	-0.2098702				
SCO2914	amino acid permease	3165274	3163847	+	TtdBt-IQR vs wt-1.73294035	0.04133333	153.29395	1.3650155	-1.4013099	0.9174203	-1.0757109	-1.4262595	-2.7550058	-0.6235856				
SCO3563	acetyl-CoA synthetase (EC:6..	3941251	3943006	+	TtdBt-IQR vs wt-1.002690881	0.2663291	145.77083	1.91523	1.3625178	0.5619149	0.6965062	0.2958615	-0.23953641	-0.18610592				
SCO9667	secreted salute-binding prot.	4048256	4047138	-	TtdBt-IQR vs wt-1.005681404	0.6685294	217.68841	1.6149464	1.5064933	0.4461524	2.0490472	1.6542209	1.0794948	0.7307378				
SCO9667	secreted salute-binding prot.	4048256	4047138	-	TtdBt-IQR vs wt-1.000750754	0.6556202	60.355602	1.7840336	0.2180336	0.0038464	0.5619149	0.6965062	0.19791912	-0.2098702				
SCO3815	branched-chain alpha-keto a-	4194941	4193632	-	TtdBt-IQR vs wt-1.000377055	0.5446444	200.88942	1.7031218	1.34544645	0.4390756	2.3125645	1.6542209	1.0794948	0.7307378				
SCO3816	branched-chain alpha keto a-	4195941	4194961	-	TtdBt-IQR vs wt-1.000324040	0.45862986	113.74054	1.6956768	1.316401	0.4390756	1.6924635	1.0693632	0.67515162					
SCO3817	branched-chain alpha keto a-	4197196	4195943	-	TtdBt-IQR vs wt-1.0001697058	0.58587416	165.59405	1.6611147	1.2323236	0.4587669	1.7623882	1.4365457	0.9387178	0.30266974				
SCO4145	polyphosphate kinase (EC:2.7	4562289	4559565	-	TtdBt-IQR vs wt-1.0001573249	0.217742	100.47432	1.7894133	1.6595154	0.5121264	2.2625832	1.8852117	1.3515295	1.153629	2.17742	2.2625832	1.4920154	1.1480202
SCO4226	hypothetical protein	4631849	4631601	-	TtdBt-IQR vs wt-1.23003846-4	0.076	44.725273	2.5020498	2.3675963	0.6726303	4.166195	3.7260163	0.0069938	2.172648				
SCO4401	lipoprotein	4821083	4819767	-	TtdBt-IQR vs wt-1.18416678-4	0.068571426	41.16957	2.7099142	2.2866778	0.593992	3.2214828	2.790111	2.0620374	1.0530621				
SCO4498	proton transport protein	4916551	4917673	+	TtdBt-IQR vs wt-1.24297978-5	0.02111111	165.80767	3.137925	1.1646326	0.9791	2.264769	1.7143071	0.975209	0.30416292	2.264769	1.7143071	1.024171	0.73070233
SCO4877	hypothetical protein	5303979	5303845	-	TtdBt-IQR vs wt-11.15104245-5	0.018	11.697293	1.5732028	1.217742	0.4952244	2.2625832	1.4920154	1.282741	1.1712039				
SCO4878	glycosyltransferase	5303976	5303976	-	TtdBt-IQR vs wt-10.009875638	0.0	4.229435	2.44725273	2.5020498	0.6726303	4.166195	3.7260163	0.0069938	2.172648				
SCO4879	hypothetical protein	5310655	5311886	+	TtdBt-IQR vs wt-7.41752045-4	0.059666664	26.747469	2.5000178	3.4173892	0.7593297	4.308978	3.6957712	3.1885128	2.4792948				
SCO4880	hypothetical protein	5310655	5311886	+	TtdBt-IQR vs wt-7.70350595-5	0.057455714	12.546579	3.579216	2.971133	1.2527038	2.5870621	3.6917603	2.204145	0.7036201				
SCO4985	lipoprotein	5318421	5319467	+	TtdBt-IQR vs wt-1.412494052-4	0.07285	2.758407	1.72884997	1.04811197	3.2020111	1.6798613	1.94111734	1.146129					
SCO5112	BldK, ABC transport system	5557265	5558366	+	TtdBt-IQR vs wt-1.07592654	0.14526327	76.47875	2.220841	2.0483035	0.597894	3.864501	1.7676946	2.0294958					
SCO5114	BldK, ABC transport system	5560114	5561391	+	TtdBt-IQR vs wt-1.03044665-5	0.04325	31.567206	2.8811572	1.7391773	1.03722	2.243814	0.7315882	-0.0081064	0.04041264				
SCO6011	ABC transporter transmemb	6591638	6592930	+	TtdBt-IQR vs wt-1.21293365-4	0.072173916	43.015	2.5511857	2.0395848	0.8895843	3.001991	2.418719	1.6035384	1.1140878				
SCO6445	inositol monophosphatase	712905	7130350	+	TtdBt-IQR vs wt-1.571301E-4	0.15179487	79.26801	2.3491073	2.4567266	0.89958364	3.0256426	3.119954	2.5133836	1.1679263				
SCO1865	diaminobutyrate-2-oxogluta	TtdBt-IQR vs 0.003972375	0.313737	179.27576	0.99834764	1.0085374	7557.222	1.8683996	2.6946216	0.5891223	3.4254997	2.8655465	2.4323635	2.050766				
SCO1865	diaminobutyrate-2-oxogluta	TtdBt-IQR vs 0.9966871	1.011767	7490.88	0.005157349	0.36333334	204.72429	1.714706884	3.354505	0.5350378	3.4254997	2.8655465	4.1434613	3.7034922				

Supplementary Table S5. Gene upstream consensus sequences from genes in redox stress response loci with DosR-like motif binding, obtained by MEME software.

Name	Strand	Start	p-value	Sites
SCO0215*	+	39	1.02e-08	GGGCCGAAGGTCCCT
SCO0168*	-	98	1.02e-08	GGGCCGAAGGTCCCT
SCO0200*	-	54	2.42e-08	GGGCCGACCGTCCCT
SCO0167*	-	21	3.83e-08	GGGCCGACGGTCCCT
SCO0208*	+	129	2.87e-07	GGGCCGACCGGCCCT
SCO0204*	+	14	2.87e-07	GGGCCGACCGGCCCT
SCO0201*	+	171	6.96e-07	CGGCCGAAGGTCCCC
SCO0209*	-	3	7.51e-07	GGGCCGACGGTCCCG
SCO0216*	-	83	1.35e-06	GGGCCGGACGGGCCCT
SCO0174*	-	46	1.35e-06	CGGCCGACGGTCCCC
SCO0214	+	120	3.44e-06	GGGCCGAGGGTCCCC
SCO0213	-	152	3.44e-06	GGGCCGAGGGTCCCC
SCO0210	+	27	3.44e-06	CGGCCGACGGTGCCT
SCO0179	+	41	4.74e-06	GGGCCGACCGGCCCA
SCO0171	+	125	7.30e-06	CGGCCGGCCGGCCCT
SCO0170	-	71	7.30e-06	CGGCCGGCCGGCCCT
SCO0197	+	42	1.16e-05	GGGCCGGACGTGCC
SCO0177	-	75	1.22e-05	GGGTCGACCGGCC
SCO0162	-	1	2.46e-05	GCGCCGGACGTCCAG
SCO0161	+	39	2.46e-05	GCGCCGGACGTCCAG
SCO0181*	+	65	3.52e-05	CCGCCGAAGGGACCC
SCO0172	-	19	4.74e-05	GGGCCGGCCGGACAG
Regular expression				[GC]GCCG[AG][CA][CG]G[TG]CCC[TC]

From MAST, the best possible match is: **GGGCCGAACGTCCCT** and 11*/16 positive match on global upstream region of *S. coelicolor* when display sequence with E-value < 10.

CHAPITRE 3

3.0 Tdd8, une protéine contenant un domaine TerD qui participe à l'homéostasie du calcium et qui est impliquée dans le contrôle du régulon DosR chez *Streptomyces coelicolor*

Des travaux antérieurs, sur l'étude transcriptomique de la délétion du gène *tdd8* (SCO2368) chez *Streptomyces coelicolor* a permis l'identification d'un groupe de gènes impliqué dans la réponse au stress redox qui comprend plusieurs orthologues de gènes du régulon DosR chez *Mycobacterium tuberculosis*. Ici, chez *S. coelicolor*, il a été montré que ce groupe de gènes peut être induit par l'hypoxie et le stress NO tout comme il a été observé pour le régulon DosR chez *M. tuberculosis*. Cela suggère que le groupe de gènes est impliqué dans la réponse au stress redox. Bien que le mutant de délétion *tdd8* ($\Delta tdd8$) ne peut maintenir l'homéostasie du calcium dans un milieu pauvre en calcium, l'addition de Ca^{2+} dans le milieu de culture du mutant $\Delta tdd8$ réduit l'expression de plusieurs gènes du groupe comprenant entre autres les gènes de nitrates réductases de type respiratoire. Les enzymes correspondantes ont démontré une activité dans un contexte aérobie puisque l'accumulation de nitrites a été démontrée au cours de la croissance de *S. coelicolor*. En conditions d'hypoxie ou de stress NO, les gènes du régulon DosR-analogue testés ont été induits chez *S. coelicolor* M145 tout comme observé précédemment chez $\Delta tdd8$. Le lien entre le calcium et Tdd8 a été étudié et a démontré que la délétion de *tdd8* a diminué la concentration de calcium libre intracellulaire $[\text{Ca}^{2+}]_i$. Cette diminution de la $[\text{Ca}^{2+}]_i$ semble induire l'expression des gènes testés du régulon DosR-analogue, puisque l'addition de calcium dans les conditions de culture restaure le niveau de la $[\text{Ca}^{2+}]_i$ au niveau observé dans M145 et réduit l'expression des gènes DosR-analogue testés. La détermination de la concentration des nitrites dans le temps a permis d'observer l'implication de *tdd8* et des ions calcium dans l'activité de réduction de nitrite. Ce travail apporte la preuve que Tdd8 joue un rôle important dans l'homéostasie/signalisation du calcium

et dans ce contexte, nous avons aussi démontré que Tdd8 a un rôle dans l'adaptation au stress et le métabolisme de l'azote.

Les travaux sont présentés à la section 3.2 « Daigle, F., Lerat, S., Malouin, F. et Beaulieu, C. Tdd8, a TerD domain-containing protein participates to calcium homeostasis and is involved in control of the DosR-like regulon in *Streptomyces coelicolor* ». Les expériences de RT-PCR quantitative et le dosage du calcium intracellulaire libre ont conjointement été réalisés par François Daigle et Sylvain Lerat. Le dosage des nitrates a été réalisé par Sylvain Lerat alors que le dosage des nitrites a été réalisé par François Daigle. François Malouin a agi comme conseiller lors de la révision du présent article. Carole Beaulieu a agi comme directrice de recherche, conseillère pour la planification des travaux et superviseure dans la rédaction de cet article.

3.1 Tdd8, a TerD domain-containing protein participates to calcium homeostasis and is involved in control of the DosR-like regulon in *Streptomyces coelicolor*

Francois Daigle, Sylvain Lerat, François Malouin, Carole Beaulieu*

Centre d'Étude et de Valorisation de la Diversité Microbienne, Département de biologie,
Université de Sherbrooke, Québec, Canada J1K 2R1

*Corresponding author: Mailing address: Département de biologie, Université de Sherbrooke,
Sherbrooke, Québec, Canada J1K 2R1. Tel: 819 821 8000, ext. 62997. Fax: 819 821 8049.
Email: Carole.Beaulieu@usherbrooke.ca

ABSTRACT

In a previous work, deletion of *tdd8* (SCO2368) in *Streptomyces coelicolor* allowed the identification of a putative redox stress response gene cluster that includes several *Mycobacterium tuberculosis* orthologs of the DosR regulon. Here, this *S. coelicolor* gene cluster was shown to be induced by hypoxia and NO stress as it has been observed for the DosR regulon of *M. tuberculosis*, suggesting that the cluster is effectively involved in redox stress response. While the *tdd8* deletion mutant ($\Delta tdd8$) was unable to maintain calcium homeostasis in a poor calcium medium, addition of Ca^{2+} in $\Delta tdd8$ culture medium reduced the expression of several genes of the cluster including the nitrate reductase genes. The corresponding enzymes have been shown to be active under aerobic conditions since accumulation of nitrites has been demonstrated during *S. coelicolor* growth. During hypoxia or nitric oxide stress conditions, the DosR-like regulon genes tested by qRT-PCR were induced in *S. coelicolor* M145, as previously observed in $\Delta tdd8$. The link between Ca^{2+} and Tdd8 has been studied using Fura 2-AM calcium-sensitive fluorescent indicator and has shown that the deletion of *tdd8* decreased the amount of intracellular free calcium ($[\text{Ca}^{2+}]_i$). This decrease of $[\text{Ca}^{2+}]_i$ appears to induce the expression of the investigated genes of the DosR-like regulon since the addition of calcium in the culture allowed to restore the level of $[\text{Ca}^{2+}]_i$ similar to that observed in M145, but also brought back the level of gene expression of the tested genes. A determination of nitrite concentration has also allowed us to observe the involvement of *tdd8* and calcium ions in the activity of nitrite reduction. This work brings evidence that Tdd8 plays a significant role in calcium homeostasis/signaling and in this context we also have demonstrated that Tdd8 have a role in stress adaptation and nitrogen metabolism.

Keywords: Nitrite reduction, calcium signaling, *tdd8*, *Streptomyces*, DosR, TerD motif

INTRODUCTION

The ability to sense and respond to environmental cues is critical to the survival of soil-dwelling bacteria such as *Streptomyces*. In their natural environments, bacteria have to adapt to a variety of adverse conditions, and consequently, they depend on genes involved in stress responses for survival. The 8.7 Mb linear chromosome of *Streptomyces coelicolor* M145 consists of an impressive number of genes, including several regulatory genes, encoding sigma factors and two-component regulatory systems responsible for the biosynthesis of a network of proteins involved in a wide variety of functions including the stress response (1, 2, 3, 4).

S. coelicolor genome contains about 20 TerD domain-encoding genes (*tdd* genes). The TerD domain was initially described in tellurite resistance genes of Gram-negative bacteria but was later found in genes of a large range of bacterial species that exhibit no resistance to tellurite (5). The *tdd* genes are now considered as general stress-response genes rather than genes dedicated to tellurite resistance (5). Although the function of *S. coelicolor tdd* genes is still unknown, some Tdd proteins have been shown to be up-regulated under various stress conditions (6, 7, 8, 9, 10). During its complex developmental cycle in liquid media, *S. coelicolor* produces young compartmentalized hyphae (first mycelium) that grow to form bacterial pellets. A highly ordered programmed cell death (PCD) occurs in the pellet centers and a second multinucleated mycelium develops from the remaining viable segments of the compartmentalized mycelium. During this PCD phenomenon, Tdd8 also appears to be up-regulated (11).

Previous works showed that deletion of *tdd8* as well as *tdd7* or *tdd13* in *S. coelicolor* had no lethal effect but strongly affected growth and morphological differentiation of the bacterium (12, 13). Furthermore, a recent transcriptomics study (14) established that *tdd8* gene deletion induced expression of two genes loci (SCO0197-SCO0220 and SCO0161-SCO0181) possibly involved in redox-stress responses suggesting a direct or indirect role of Tdd8 in redox homeostasis. Induction of these putative redox-stress response loci was observed in the *tdd8* deletion mutant at the visual onset of undecylprodigiosin (Red) production, a key period in *S.*

coelicolor morphological differentiation that coincides with the transition phase between the first and second mycelia (15).

These two putative redox-stress response loci include orthologs of *Mycobacterium* encoding DosRST two-component system and other genes of *Mycobacterium* DosR regulon, such as universal stress genes, cystathionine β -synthase genes and nitroreductase genes that are involved in dormancy survival (16, 17, 18). The putative redox-stress response loci of *S. coelicolor* also include the membrane-associated respiratory nitrate reductase genes (*narGHIJ2*) that catalyze the reduction of nitrate to nitrite and the nitrate/nitrite transporter gene (*narK*) responsible for exportation of nitrite (19). Most genes included in the redox stress response loci possessed an upstream consensus sequence similar to the DosR binding motif of the *M. tuberculosis* DosR regulon. Furthermore, the putative redox-stress response loci of *S. coelicolor* appear to belong to a global redox-stress response gene cluster that also includes genes encoding a nitric oxide detoxification system (*nsrR/hmpA1*), an alternative cytochrome BD (*cydAB*), a succinate dehydrogenase (*sdhABC*) and a NADH dehydrogenase (*nuo*) that are located outside the loci (14).

A relation between the redox state and calcium homeostasis has been demonstrated in eukaryotes by several authors (Bogeshi et al. 2011). While the role of Ca^{2+} signalling has been extensively studied in eukaryotes, it still remains elusive in prokaryotes (20). However, several Ca^{2+} channels and transporters found in bacteria share similarities with the eukaryotic proteins ensuring intracellular calcium homeostasis (21). There is also some evidence that bacterial calcium-binding proteins, act as reservoirs or buffers and play a role in various physiological processes such as spore formation and adaptation to environmental stresses (22). It has been established that Tdd8 possesses two Ca^{2+} binding sites (Protein data bank: number 3IBZ, www.rcsb.org).

In this work, the role of Tdd8 in calcium homeostasis is determined and the calcium-dependent regulation of the *S. coelicolor* DosR-like regulon as well as of other genes of the redox-stress cluster is investigated.

MATERIALS AND METHODS

Bacterial strains and culture conditions. *S. coelicolor* M145, a deletion mutant M145ΔSCO2368 ($\Delta tdd8$) and a recombinant strain overexpressing *tdd8* (M145-pFDES2368 [*tdd8+*]) (12) were used in this study. These strains were cultivated at 30°C under shaking (250 rpm) in R5- or R5+. Both media consisted of modified versions of the R5 medium (23). The R5- medium (pH 7.2) was deprived of KH₂PO₄, CaCl₂, and L-proline and supplemented with 6% PEG 8000 to enhance cell dispersal (15, 23) while the R5+ medium is similar to R5- but contained 9 µM CaCl₂. Kanamycin or apramycin (25 µg/ml; Sigma) was respectively added to *tdd8+* or $\Delta tdd8$ culture media. *S. coelicolor* strains were cultivated by adding 20 µl of a dense spore suspension (5×10^8 cfu) into 50 ml of R5- or R5+. When appropriate, one of the following stress-inducing substances was added to the culture medium: 50 µM methyl viologen (MV), 5.5 µM *tert*-butyl hydroperoxide (*t*-BHP), 7.6 µM hydroxylamine, 2 mM sodium nitroprusside (SNP) or 2.5 µM potassium tellurite. *S. coelicolor* cultures were also grown under a low oxygen concentration by using GasPak™ EZ Campy Container System Sachets following the manufacturer's instructions (BD, Sparks, MD).

Gene expression studies. RNA was extracted from M145, $\Delta tdd8$ and *tdd8+* cultures at the visual onset of Red production (t_{OR}). Prior to extraction, culture samples were treated with RNA Protect Bacterial Reagent (Qiagen) and the bacterial cells were pelleted by centrifugation (4000× g for 10 min) and suspended in 1 ml TE buffer (Tris-HCl 10 mM, EDTA 1 mM, pH 8.0). Cells were centrifuged and pelleted again and stored at -80°C. For RNA extraction, a hybrid protocol between the procedures proposed by the manufacturers of the RNeasy™ PLUS mini kit (Qiagen) and mirVana™ miRNA Isolation Kit (Ambion) was developed. Bacterial pellets were suspended in 0.2 ml lysozyme buffer (15 mg/ml in TE) and incubated for 15 min at room temperature. RLT buffer (0.6 ml) from Qiagen RNeasy™ PLUS mini kit was added followed by sonication on ice (2 cycles 10 s at 60% power. The mixture was centrifuged at 10 000 × g for 5 min and the supernatant was recovered. Two phenol/chloroform extractions and a final chloroform extraction were performed. The upper aqueous layer was transferred to a “gDNA eliminator filter” (Qiagen RNeasy™ PLUS mini

kit) and centrifuged at $10\,000 \times g$ for 30 s. The extraction continued following the manufacturers protocol of mirVanaTM miRNA Isolation Kit (Ambion). The RNA was eluted with 100 μ l of water and quantified using a Nanodrop-ND-1000 spectrophotometer. The RNA quality was checked using an Agilent Bioanalyzer RNA chip. RNA was then digested with the TURBO DNA-free kit (Ambion) to remove possible DNA contamination traces according to the manufacturer's instructions. For template of cDNA synthesis, 2 μ g of RNA were used with SuperScript[®] III First-Strand Synthesis System for RT-PCR (Invitrogen) according to the manufacturer's specifications. Primers used for Real-time PCR are listed in supplement data S1. Real-time PCR were run on a Stratagene Mx3000P (Agilent technologies). Reactions contained 0.2 μ l of cDNA, 10 μ l of iTaq universal SYBR Green Supermix (Bio-Rad) and 1 μ M of primers in a final volume of 20 μ l. The thermal profile was as follows: an initial stage at 95°C for 3 min, a second stage of 35 cycles at 95°C for 10 s and 60°C for 30 s and a final dissociation step from 60°C to 95°C. Two samples per treatment were analyzed and the experiment has been repeated three times. Fold changes in gene expression were calculated according to the $\Delta\Delta Ct$ method with the REST 2009 software (24). Relative gene expression was calculated according to the ΔCt method (25) and the reference gene *gyrA* (SCO3873) was used as an internal control since its expression level remained constant in all tested conditions (data not shown). Statistical analysis between relative expressions was achieved with the Statistix 9 software (ANOVA followed by LSD test at P value < 0.05).

Intracellular free calcium concentration measurements. The concentration of free intracellular Ca²⁺ ($[Ca^{2+}]_i$) was monitored using the calcium-sensitive fluorescent indicator Fura 2-acetoxymethyl (Fura 2-AM) (ATT Bioquest). Culture samples (3 ml) were taken at the visual onset of Red production, and washed twice by centrifugation in a 100 mM KCl/30 mM MOPS solution buffer, pH 7.2. Fura-2 AM (5 μ M final concentration) was added to the cell suspension and incubated at 30°C for 60 min. For fura 2-AM excitation, cells were illuminated at two alternating wavelengths, 340 and 380 nm and emitted light was monitored at 530 nm in a PTI spectrofluorometer equipped with the Felix32 software. The $[Ca^{2+}]_i$ was inferred from the ratio between emission at 340 and 380 nm, respectively (26, 27, 28). The experiment was repeated three times.

Determination of nitrite concentration in *S. coelicolor* supernatants. Concentration of nitrite in *S. coelicolor* culture supernatants was determined by the Griess reagent method, as proposed by Green et al. (29) with the following modifications. Sample (300 µl) of a culture supernatant was mixed with 100 µl of Griess reagent (0.1% N-(1-naphthyl) ethylenediamine dihydrochloride, 1% sulfanilamide and 5% phosphoric acid and 600 µl of deionized water and incubated at room temperature for 10 min. The absorbance of the mixture was measured in a spectrophotometer at 540 nm. Nitrite concentration in culture samples was interpolated from a standard curve obtained with sodium nitrite as a standard. The experiment was repeated three times. Nitrate detection in the non-inoculated R5- and R5+ media was achieved by determining the amount of nitrite produced in the presence of nitrate reductase (Sigma) according to Gilliam et al. (30).

RESULTS

Effect of external stimuli on the expression of *tdd8* and genes of the redox-stress response cluster. A global gene expression study using microarray revealed that a putative redox-stress response gene cluster was overexpressed in $\Delta tdd8$ at the visual onset of Red production compared to the wild strain. The expression of *tdd8* and 13 selected genes of the redox-stress response cluster (11 genes of the redox-stress response loci and two genes located outside the loci and involved in NO detoxification) were analyzed in *S. coelicolor* M145 cultures exposed to different stresses. Differential gene expressions between cultures (stress condition/control condition) are shown in Table 1. Hypoxia and SNP, a NO donor, induced expression of all the redox-stress response genes tested. The other stressing agents (hydroxylamine, MV, *t*-BHP and potassium tellurite) only induced some of these genes. The gene SCO0168 coding for the Crp-Fnr like regulator was even significantly down-regulated when the bacterium was exposed to these stresses (Table 1). Hypoxia, nitrosative and oxidative stresses all had a negative effect on *tdd8* expression.

Table 1 Differential gene expression between *S. coelicolor* M145 cultures exposed or not to various stresses.

Gene	Putative function of the corresponding protein	Fold change of gene expression in stress condition					
		Hypoxia (O ₂ : 5-15%)	SNP (2 mM)	Hydroxylamine (76 µM)	MV (50 µM)	t-BHP (55 µM)	K ₂ TeO ₃ (2,5 µM)
SCO0162	Nitroreductase motif-containing protein	26.8	22.8	11.1	1.8*	6.9*	0.2
SCO0168	Crp/Fnr-like protein regulator	11.2	2.0	0.5	0.4	0.4	0.4
SCO0171	Nicotinate phosphoribosyltransferase	4.6	3.2	1.3*	0.9*	0.8*	1.2*
SCO0174	Pyridoxamine 5'-phosphate oxidase	13.4	10.1	2.8	3.2	1.8*	1.0*
SCO0204	DosR-like regulator	7.2	3.9	1.5*	1.7	1.1*	2.5
SCO0212	Hemerythrin motif-containing protein	2.4	2.8	0.7*	0.5*	0.8*	0.2
SCO0215	Nitroreductase motif-containing protein	8.1	3.0	1.1*	1.0*	1.0*	0.8*
SCO0216	NarG2, Nitrate reductase	1.6	1.9	0.8*	0.6*	0.5*	0.7*
SCO2368	Tdd8, TerD motif	0.2	0.5	0.1	0.3	0.2	0.2
SCO7427	NsrR, transcriptional repressor regulator	14.9	8.6	2.1	0.9*	1.1*	1.1*
SCO7428	HmpA1, flavohemoprotein	41.4	15.0	1.9*	1.1*	2.4	3.4

* indicates that the target sample is not different from control as established by the REST 2009 software (P value >0.05)

The effect of an addition of exogenous calcium on the expression of the redox-stress response genes listed in Table 1 was determined in both $\Delta tdd8$ and M145 at the onset of Red biosynthesis. The levels of transcription was significantly higher in $\Delta tdd8$ than the wild strain for all genes tested (Fig. 1) in the R5- medium. In $\Delta tdd8$, addition of calcium significantly reduced the expression of all genes tested but the exception were genes *nsrR* and *hmpA1* (SCO7427 and SCO7428) that are predicted to be involved in NO sensing and detoxification, respectively. The levels of transcription of genes SCO0162, SCO0168, SCO0171, SCO0174, SCO0204, SCO0212, SCO0215 and SCO0216 in $\Delta tdd8$ grown in R5+ were similar to the ones of M145 grown in R5-. Growth of M145 in the presence of a higher calcium concentration did not affect the level of expression of most tested genes.

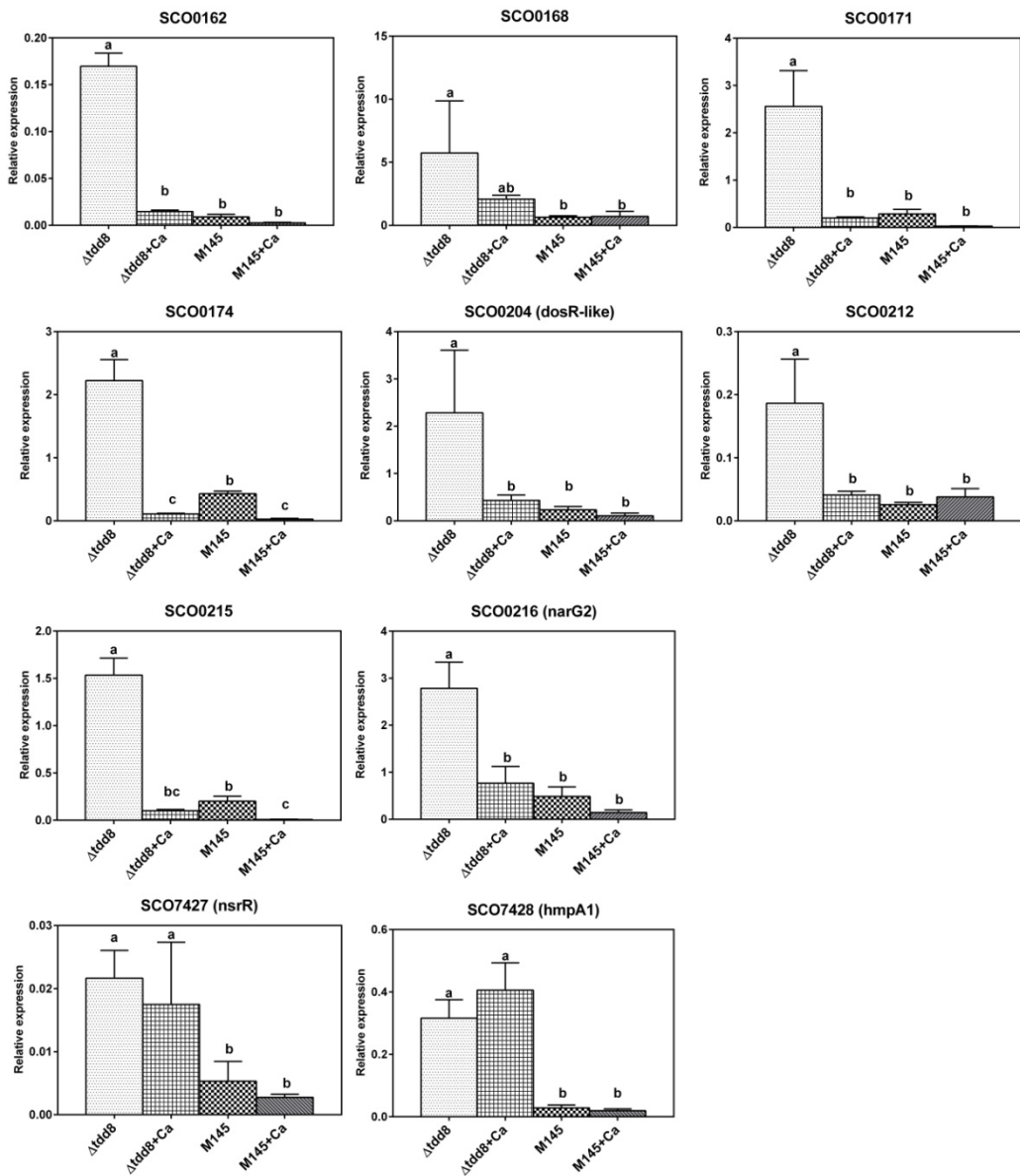


FIG. 1 Relative expression of genes belonging to the redox-stress response cluster in *S. coelicolor* strains M145 and $\Delta tdd8$ grown in R5- and R5+ culture media. The R5+ medium contained supplemental CaCl_2 (9 μM). Error bars represent the standard deviation. Bars with the same letter did not statistically differ (ANOVA followed by a LSD test, P value <0.05).

Detection of nitrite in *S. coelicolor* cultures. Extracellular nitrite (NO^{2-}) concentration was determined overtime for $\Delta tdd8$, $tdd8+$ and M145 in the R5- and R5+ media. Fig. 2 represents the time-course of nitrite concentration. For all strains, the peak of nitrite concentration was detected around the visual onset of Red biosynthesis, indicated as time 0 on the graphs. The time period where nitrite could be detected varied within strains. This period was of 31, 20 and 11 h, for $\Delta tdd8$, M145 and $tdd8+$, respectively (Fig. 2). The nitrite detection period was shortened in the medium supplemented with calcium and was of 23, 11 and 8 h for $\Delta tdd8$, M145 and $tdd8+$, respectively (Fig. 2).

Determination of the intracellular free calcium concentration. Free intracellular calcium content was compared between strains $\Delta tdd8$, M145 and $tdd8+$ using Fura 2-AM, a membrane-permeable fluorescent dye (26) at the visual onset of Red biosynthesis in R5- medium. The relative free calcium concentration was significantly lower in $\Delta tdd8$ (0.73 ± 0.04) than in the M145 strain and $tdd8+$ strains (1.03 ± 0.03 and 1.06 ± 0.01 , respectively) (Fig. 3a). While an additional exogenous supply of calcium did not affect the intracellular free calcium concentration in $tdd8+$, but an increase of 41 and 18% was observed in $\Delta tdd8$ and in M145, respectively (Fig. 3a).

The effect of NO on calcium homeostasis was determined by growing the strains in the presence of SNP. In the presence of this NO donor, the intracellular free calcium significantly decreased in both M145 and $tdd8+$, while a slight, but significant, increase was observed in the $\Delta tdd8$ deletion mutant (Fig. 3b).

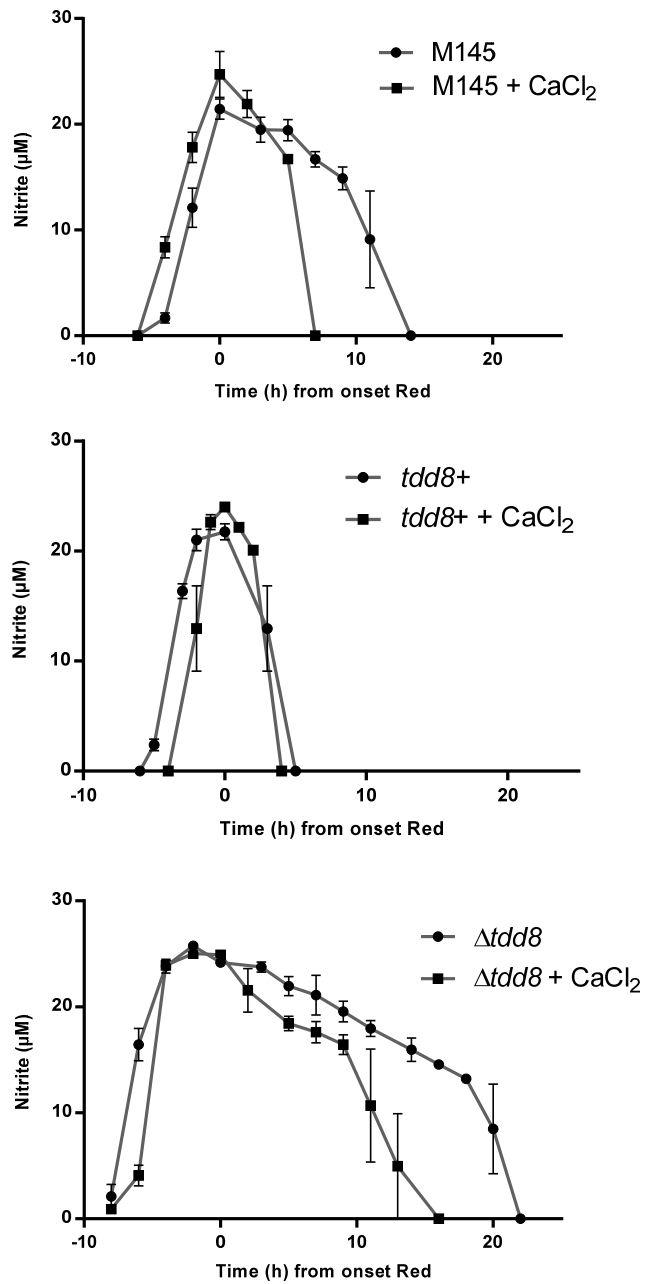


FIG. 2 Time-course of nitrite concentration for *S. coelicolor* strains M145 (top panel), *tdd8+* (middle) and $\Delta tdd8$ (bottom) grown in R5- and R5+ culture media. The R5+ medium contained supplemental CaCl_2 (9 μM). Time 0 corresponds to the visual onset of Red production.

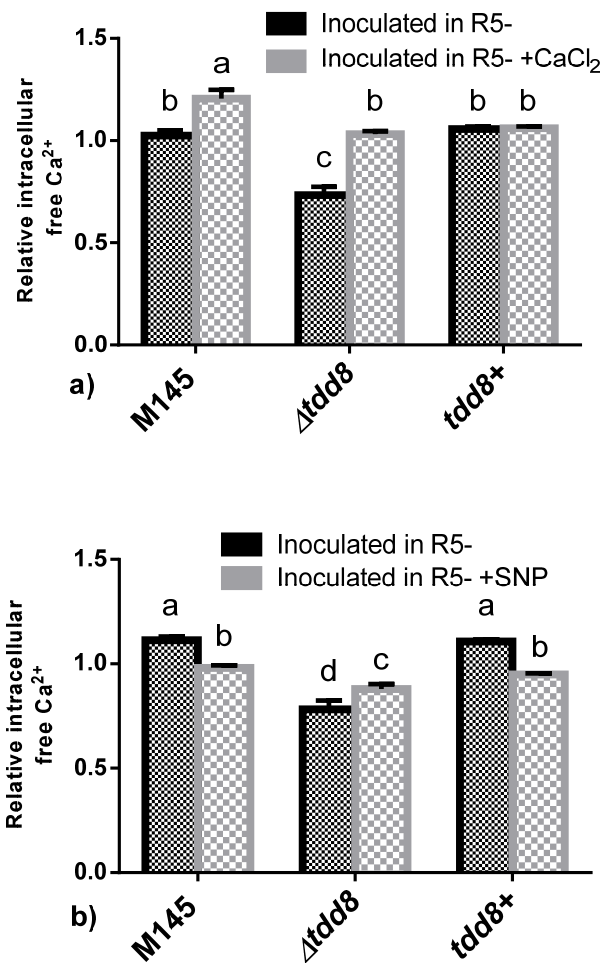


FIG. 3 Relative intracellular free Ca^{2+} in *S. coelicolor* strains determined by ratiometric detection at 530 nm of the 340/380 nm excitation of Fura2 AM fluorescent dye in various culture media. a) R5- and R5+ culture media; b) R5- supplemented or not with 2 mM of sodium nitroprusside (SNP), a NO donor. Error bars represents the standard deviation. Bars with the same letter indicate values that are not statistically different (P value <0.05 , ANOVA analysis followed by pairwise comparison LSD test).

DISCUSSION

In a previous work, Daigle et al. (14, submitted for publication) identified a putative redox stress response gene cluster which included a DosR-like regulon that was up-regulated in the $\Delta tdd8$ deletion mutant. In *M. tuberculosis*, *dosR* and its regulon play a key role in dormancy survival (16). The *M. tuberculosis* DosR regulon is also induced during growth under hypoxic condition or in the presence of NO or CO (31). As in *M. tuberculosis*, we showed here that expression of *S. coelicolor* genes with a DosR-like binding motif in their promoter sequence respond to the same external stimuli (*i.e.*, hypoxia and NO) suggesting that the DosR-like regulon of *S. coelicolor* is actually involved in adaptation to redox stress. Furthermore, the DosR-like regulon of *S. coelicolor* appeared to belong to a larger redox-stress response gene cluster since other genes such as *nsrR/hmpA1* concomitantly respond to the same stimuli. While SNP and hypoxia induce the expression of all genes of the cluster that have been tested, other oxidative and nitrosative stresses only allow the induction of subset genes within the cluster. The deletion of *tdd8* in *S. coelicolor* M145 has allowed the identification of this redox-stress response gene cluster. Overexpression of the gene cluster in the mutant during standard growth conditions suggests that Tdd8 participates directly or indirectly to redox homeostasis.

Sensing changes in the redox state can be directly detected in bacteria via interaction of O₂, NO or CO with heme-containing proteins or Fe-S proteins (32). Tdd8 does not belong to these classes of proteins and it is thus unlikely that the protein acts as a direct sensor for O₂, NO or CO. However, *S. coelicolor* redox-stress response gene loci (14) include *Mycobacterium* orthologs encoding for the DosRST two-component regulatory system, in which DosS and DosT could act as heme-based sensor histidine kinases that detect the presence or absence of ligands such as O₂, CO and NO and relay the information to the response regulator DosR (33). Other genes of redox-stress response cluster may also be directly involved in the sensing of these gases: the Fe-S based regulator Crp/Fnr-like gene (SCO0168) a member of the DosR-like regulon, and outside of the loci, the *nsrR* gene that codes for a [2Fe-2S] transcriptional repressor acting as a NO sensor (34).

Changes in the redox state could also be indirectly sensed by pools of molecules within the cell. Metal ions, like Ca^{2+} , can play a role in redox signalling, especially as a redox-active cofactor in a wide range of metabolic processes (35). It has been proposed that Ca^{2+} acts as a second messenger by controlling membrane permeability to protons (36). Also the Ca^{2+} can be used in signalling system under oxygen stress, where it play a role in the mechanism of regulation of the cell redox potential (37). Tdd8 is known to possess two calcium ion binding sites (PDB number 3IBZ). In this work, we showed that the level of $[\text{Ca}^{2+}]_i$ varied among M145, $\Delta tdd8$ and $tdd8+$. Furthermore, a NO stress has a differential effect on the intracellular calcium concentration depending on the expression level of *tdd8*. These data bring evidence of the involvement of Tdd8 in calcium homeostasis. An imbalance of $[\text{Ca}^{2+}]_i$ caused by the absence of Tdd8 may act as a messenger that signals and induces a stress response. The TerD domain is associated with tellurite resistance genes in some other bacteria. One can thus postulate that Ca^{2+} signalling somehow involved or in link with the tellurite resistance and possibly, in other stress responses since *tdd8* expression is modulated under various stress conditions including tellurite exposure.

The addition of calcium in the R5- medium restored in $\Delta tdd8$ the $[\text{Ca}^{2+}]_i$ at a level similar to the one associated with M145 in the R5- medium. This addition of calcium in $\Delta tdd8$ culture also reduced expression of all eight genes of the DosR-like regulon that have been tested including the *crp/frn*-like and the *dosR*-like genes suggesting that calcium homeostasis indirectly participates in redox state sensing. Addition of calcium to the $\Delta tdd8$ culture had, however, no significant effect on the expression of the *nsrR* and *hmpA1* genes that belong to the redox-stress response cluster but not to the DosR-like regulon, indicating that not all genes of the cluster responded to calcium imbalance.

As members of the DosR-like regulon, the membrane-associated respiratory nitrate reductase genes (*narGHIJ2*) are all overexpressed in $\Delta tdd8$ (14) at the onset of Red production and under hypoxia and NO stress in M145. Genes involved in denitrification are usually ascribed

to anaerobic metabolism in facultative and strictly anaerobic bacteria. In the strictly aerobic *S. coelicolor*, evidence indicate that these enzymes allowed the reduction of nitrate to nitrite in the presence of O₂ (19). Denitrification and aerobic respiration with hybrid electron transport chains have been demonstrated in several bacterial species (38). The R5- medium contained a low amount of contaminating nitrate ($27.2 \pm 1.5 \mu\text{M}$, data not shown) and nitrite production was detected in all strains (M145, $\Delta tdd8$, *tdd8+*) indicating that nitrate reductases were effectively active in R5- medium. Nitrate reduction occurred few hours before the visual onset of Red production, a key moment in the cell differentiation process when the cells are conceivably in a quiescence-like state since a PCD occurs (15, 39). It has been suggested that entrance into this quiescence-like phase could be triggered by local oxygen depletion in cells located in center of mycelium pellet. Expression, near transition phase, of the redox stress response genes, including the nitrate reductase genes, suggests that the PCD phenomenon is preceded by a redox stress. A previous proteomic study revealed that Tdd8 was up-regulated during the PCD (11), which supports the hypothesis that Tdd8 might be involved in the control of the redox state during PCD.

In our growth conditions, nitrite accumulates in the culture supernatant until the visual onset of Red production and this onset of Red biosynthesis seems to correspond to a complete reduction of nitrate present in the culture medium. In this study, the presence of nitrite in the supernatant was only transient. In contrast, Fischer et al., (19) observed that *S. coelicolor* accumulates nitrite after full reduction of nitrate (50 mM) in a culture medium with high nitrogen content. The duration of the period of nitrite detection is influenced by both the expression level of *tdd8* and the calcium concentration in the growth environment but the mechanism by which *S. coelicolor* eliminates nitrite has still to be determined. However, *S. coelicolor* possesses nitrite reductase genes (*nirBD*) usually expressed in low nitrogen conditions (9, 40). A global transcriptomics study revealed that the nitrite reductase genes (*nirBD*) were more expressed in strain *tdd8+* than in M145 a few hours after the visual onset of Red production (14). Expression of *nirBD* is controlled by GlnR, a global regulator of nitrogen assimilation (9). As interplay between *glnR* and *tdd8* has been evidenced (9, 14), a

link between calcium signalling and nitrogen metabolism is thus possible in *S. coelicolor* as it has been demonstrated for the cyanobacterium *Synechococcus elongatus* (41). The nitrite reduction to ammonium by NirBD is probably the main pathway to the nitrite disappearance in *S. coelicolor*; however, alternative pathways cannot be excluded. Fisher et al. (40) have proposed that *S. coelicolor* could also transform nitrite to NO since *nirBD* mutations did not impede *S. coelicolor* ability to eliminate nitrite.

The exact role of Tdd8 and its mechanism of action in the cell remain elusive. However, this work brings evidence that Tdd8 plays a significant role in calcium homeostasis or calcium signaling. Despite the fact that very little is known on calcium signaling in prokaryotes, several reports suggested a calcium regulation for a variety of cellular activities such as stress adaptation (22, 35, 37, 42, 43), nitrogen metabolism (41, 44) and differentiation (20, 45, 46). The calcium-binding property of Tdd8 may thus explain the pleiotropic effect of its modulation of expression in *S. coelicolor*.

ACNOWLEDGMENTS

This work was supported by a grant from the Natural Sciences and Engineering Research Council of Canada (NSERC).

REFERENCE

1. Bentley S. D., Chater K. F., Cerdeno-Tarraga A. M., Challis G. L., Thomson N. R., James K. D., Harris D. E., Quail M. A., Kieser H., Harper D., Bateman A., Brown S., Chandra G., Chen C. W., Collins M., Cronin A., Fraser A., Goble A., Hidalgo J., Hornsby T., Howarth S., Huang C. H., Kieser T., Larke L., Murphy L., Oliver K., O'Neil S., Rabbinowitsch E., Rajandream M. A., Rutherford K., Rutter S., Seeger K., Saunders D., Sharp S., Squares R., Squares S., Taylor K., Warren T., Wietzorre A., Woodward J., Barrell B. G., Parkhill J., and Hopwood D. A. 2002. Complete genome sequence of the model actinomycete *Streptomyces coelicolor* A3(2). *Nature*. **417**:141-147.
2. Hutchings M. I., Hong H. J., Leibovitz E., Sutcliffe I. C., and Buttner M. J. 2006. The σ^E cell envelope stress response of *Streptomyces coelicolor* is influenced by a novel lipoprotein, CseA. *J. Bacteriol.* **188**:7222-7229.
3. Kallifidas D., Thomas D., Doughty P., and Paget M. S. 2010. The σ^R regulon of *Streptomyces coelicolor* A32 reveals a key role in protein quality control during disulphide stress. *Microbiology*. **156**:1661-1672.
4. Gruber T. M. and Gross C. A. 2003. Multiple sigma subunits and the partitioning of bacterial transcription space. *Annu. Rev. Microbiol.* **57**:441-466.
5. Anantharaman V., Iyer L. M., and Aravind L. 2012. Ter-dependent stress response systems: novel pathways related to metal sensing, production of a nucleoside-like metabolite, and DNA-processing. *Mol. Biosyst.* **8**:3142-3165.
6. Novotna J., Vohradsky J., Berndt P., Gramajo H., Langen H., Li X. M., Minas W., Orsaria L., Roeder D., and Thompson C. J. 2003. Proteomic studies of diauxic lag in the differentiating prokaryote *Streptomyces coelicolor* reveal a regulatory network of stress-induced proteins and central metabolic enzymes. *Mol. Microbiol.* **48**:1289-1303.
7. Langlois P., Bourassa S., Poirier G. G., and Beaulieu C. 2003. Identification of *Streptomyces coelicolor* proteins that are differentially expressed in the presence of plant material. *Appl. Environ. Microbiol.* **69**:1884-1889.
8. Yang Y. H., Song E., Kim E. J., Lee K., Kim W. S., Park S. S., Hahn J. S., and Kim B. G. 2009. NdgR, an IclR-like regulator involved in amino-acid-dependent growth, quorum sensing, and antibiotic production in *Streptomyces coelicolor*. *Appl. Microbiol. Biotechnol.* **82**:501-511.
9. Tiffert Y., Franz-Wachtel M., Fladerer C., Nordheim A., Reuther J., Wohlleben W., and Mast Y. 2011. Proteomic analysis of the GlnR-mediated response to nitrogen limitation in *Streptomyces coelicolor* M145. *Appl. Microbiol. Biotechnol.* **89**:1149-1159.
10. Thomas L., Hodgson D. A., Wentzel A., Nieselt K., Ellingsen T. E., Moore J., Morrissey E. R., Legaie R., Wohlleben W., Rodriguez-Garcia A., Martin J. F., Burroughs N. J., Wellington E. M., and Smith M. C. 2012. Metabolic switches and adaptations deduced from the proteomes of *Streptomyces coelicolor* wild type and phoP mutant grown in batch culture. *Mol. Cell. Proteomics*. **11**:M111 013797.

11. **Manteca A., Mader U., Connolly B. A., and Sanchez J.** 2006. A proteomic analysis of *Streptomyces coelicolor* programmed cell death. *Proteomics*. **6**:6008-6022.
12. **Sanssouci E., Lerat S., Grondin G., Shareck F., and Beaulieu C.** 2011. tdd8: a TerD domain-encoding gene involved in *Streptomyces coelicolor* differentiation. *Antonie Van Leeuwenhoek*. **100**:385-398.
13. **Sanssouci E., Lerat S., Daigle F., Grondin G., Shareck F., and Beaulieu C.** 2012. Deletion of TerD-domain-encoding genes: effect on *Streptomyces coelicolor* development. *Can. J. Microbiol.* **58**:1221-1229.
14. **Daigle F., Lerat S., Bucca G., Smith C. P., Malouin F., and Beaulieu C.** submitted for publication. Identification of a DosR-like regulon in *Streptomyces coelicolor* via a comparative global genome transcriptomics in strains exhibiting differential expression of tdd8, a TerD domain-encoding gene
15. **Huang J., Lih C. J., Pan K. H., and Cohen S. N.** 2001. Global analysis of growth phase responsive gene expression and regulation of antibiotic biosynthetic pathways in *Streptomyces coelicolor* using DNA microarrays. *Genes Dev.* **15**:3183-3192.
16. **Boon C.andDick T.** 2012. How *Mycobacterium tuberculosis* goes to sleep: the dormancy survival regulator DosR a decade later. *Future Microbiol.* **7**:513-518.
17. **Hu Y.andCoates A. R.** 2011. *Mycobacterium tuberculosis acg* gene is required for growth and virulence in vivo. *PLoS One*. **6**:e20958.
18. **Honaker R. W., Dhiman R. K., Narayanasamy P., Crick D. C., and Voskuil M. I.** 2010. DosS responds to a reduced electron transport system to induce the *Mycobacterium tuberculosis* DosR regulon. *J. Bacteriol.* **192**:6447-6455.
19. **Fischer M., Alderson J., van Keulen G., White J., and Sawers R. G.** 2010. The obligate aerobe *Streptomyces coelicolor* A3(2) synthesizes three active respiratory nitrate reductases. *Microbiology*. **156**:3166-3179.
20. **Dominguez D. C.** 2004. Calcium signalling in bacteria. *Mol. Microbiol.* **54**:291-297.
21. **Pan Y. R., Lou Y. C., Seven A. B., Rizo J., and Chen C.** 2011. NMR structure and calcium-binding properties of the tellurite resistance protein TerD from *Klebsiella pneumoniae*. *J. Mol. Biol.* **405**:1188-1201.
22. **Domínguez DC L. R., Holland IB., and Campbell AK.** 2011. Proteome Analysis of *B. subtilis* in Response to Calcium. *J. Anal. Bioanal. Techniques*. **S6:001**.
23. **Kieser T., Bibb M. J., Buttner M. J., Chater K. F., and Hopwood D. A.** (2000) *Practical streptomyces genetics* (Norwich: John Innes Foundation) 613 p.
24. **Pfaffl M. W., Horgan G. W., and Dempfle L.** 2002. Relative expression software tool (REST) for group-wise comparison and statistical analysis of relative expression results in real-time PCR. *Nucleic Acids Res.* **30**:e36.
25. **Pfaffl M. W.** 2001. A new mathematical model for relative quantification in real-time RT-PCR. *Nucleic Acids Res.* **29**:e45.
26. **Grynkiewicz G., Poenie M., and Tsien R. Y.** 1985. A new generation of Ca^{2+} indicators with greatly improved fluorescence properties. *J Biol Chem.* **260**:3440-3450.
27. **Futsaether C. M. and Johnsson A.** 1994. Using fura-2 to measure intracellular free calcium in *Propionibacterium acnes*. *Can. J. Microbiol.* **40**:439-445.

28. Nakamura I., Nakai Y., and Izumi H. 1996. Use of fura-2/AM to measure intracellular free calcium in *Selenomonas ruminantium*. *Tohoku J. Exp. Med.* **179**:291-294.
29. Green L. C., Wagner D. A., Glogowski J., Skipper P. L., Wishnok J. S., and Tannenbaum S. R. 1982. Analysis of nitrate, nitrite, and [¹⁵N]nitrate in biological fluids. *Anal. Biochem.* **126**:131-138.
30. Gilliam M. B., Sherman M. P., Griscavage J. M., and Ignarro L. J. 1993. A spectrophotometric assay for nitrate using NADPH oxidation by *Aspergillus* nitrate reductase. *Anal. Biochem.* **212**:359-365.
31. Kumar A., Toledo J. C., Patel R. P., Lancaster J. R., Jr., and Steyn A. J. 2007. *Mycobacterium tuberculosis* DosS is a redox sensor and DosT is a hypoxia sensor. *Proc. Natl. Acad. Sci. U S A.* **104**:11568-11573.
32. Bueno E., Mesa S., Bedmar E. J., Richardson D. J., and Delgado M. J. 2012. Bacterial adaptation of respiration from oxic to microoxic and anoxic conditions: redox control. *Antioxid. Redox. Signal.* **16**:819-852.
33. Bhat S. A., Singh N., Trivedi A., Kansal P., Gupta P., and Kumar A. 2012. The mechanism of redox sensing in *Mycobacterium tuberculosis*. *Free Radic. Biol. Med.* **53**:1625-1641.
34. Tucker N. P., Hicks M. G., Clarke T. A., Crack J. C., Chandra G., Le Brun N. E., Dixon R., and Hutchings M. I. 2008. The transcriptional repressor protein NsrR senses nitric oxide directly via a [2Fe-2S] cluster. *PLoS One.* **3**:e3623.
35. Agranoff D. and Krishna S. 2004. Metal ion transport and regulation in *Mycobacterium tuberculosis*. *Front. Biosci.* **9**:2996-3006.
36. Deves R. and Brodie A. F. 1981. Active transport of Ca²⁺ in bacteria: bioenergetics and function. *Mol. Cell. Biochem.* **36**:65-84.
37. Herbaud M. L., Guiseppi A., Denizot F., Haiech J., and Kilhoffer M. C. 1998. Calcium signalling in *Bacillus subtilis*. *Biochim. Biophys. Acta.* **1448**:212-226.
38. Chen J. and Strous M. 2013. Denitrification and aerobic respiration, hybrid electron transport chains and co-evolution. *Biochim. Biophys. Acta.* **1827**:136-144.
39. Manteca A., Alvarez R., Salazar N., Yague P., and Sanchez J. 2008. Mycelium differentiation and antibiotic production in submerged cultures of *Streptomyces coelicolor*. *Appl. Environ. Microbiol.* **74**:3877-3886.
40. Fischer M., Schmidt C., Falke D., and Sawers R. G. 2012. Terminal reduction reactions of nitrate and sulfate assimilation in *Streptomyces coelicolor* A3(2): identification of genes encoding nitrite and sulfite reductases. *Res. Microbiol.* **163**:340-348.
41. Leganés F., Forchhammer K., and Fernández-Pinas F. 2009. Role of calcium in acclimation of the cyanobacterium *Synechococcus elongatus* PCC 7942 to nitrogen starvation. *Microbiology*. **155**:25-34.
42. Saini D. K., Malhotra V., and Tyagi J. S. 2004. Cross talk between DevS sensor kinase homologue, Rv2027c, and DevR response regulator of *Mycobacterium tuberculosis*. *FEBS Lett.* **565**:75-80.
43. Gangola P. and Rosen B. P. 1987. Maintenance of intracellular calcium in *Escherichia coli*. *J. Biol. Chem.* **262**:12570-12574.

44. **Sohaskey C. D.** 2008. Nitrate enhances the survival of *Mycobacterium tuberculosis* during inhibition of respiration. *J. Bacteriol.* **190**:2981-2986.
45. **Yu X. C. and Margolin W.** 1997. Ca²⁺-mediated GTP-dependent dynamic assembly of bacterial cell division protein FtsZ into asters and polymer networks in vitro. *EMBO J.* **16**:5455-5463.
46. **Manteca A., Fernandez M., and Sanchez J.** 2006. Cytological and biochemical evidence for an early cell dismantling event in surface cultures of *Streptomyces antibioticus*. *Res. Microbiol.* **157**:143-152.

DISCUSSION GÉNÉRALE

Les streptomycètes sont parmi les genres bactériens qui disposent d'un bagage génétique des plus complexes. Leur étude est d'un intérêt majeur tant sur le plan industriel que celui de la recherche fondamentale, d'une part pour le rôle essentiel qu'ils jouent dans les écosystèmes terrestre et aquatique; d'autre part, les streptomycètes sont à l'origine de la production de très nombreuses molécules bioactives telles que les antibiotiques. Comprendre le rôle des gènes et des systèmes qui permettent leur adaptation en réponse à différents stress ou aux conditions particulières régissant leur croissance et développement constitue un enjeu crucial à l'avancement de nos connaissances. La détermination de la fonction des gènes *tdd* est complexe et était jusqu'à maintenant presque insaisissable. Pourtant, l'étude de ces gènes est particulièrement fascinante d'abord en raison de leur nombre important réparti sur le génome et de la quantité importante des protéines avec un motif TerD retrouvées à la fois tant dans le protéome extracellulaire que cytoplasmique. Ces protéines ont parfois subi des modifications post-traductionnelles de méthylation et de phosphorylation (Manteca et al., 2011; Sansouci, 2010). Dans le règne procaryote et même chez quelques eucaryotes, l'ubiquité des gènes *tdd* qui codent pour des protéines ayant un motif TerD est impressionnante. Plus de 3000 séquences réparties chez plus de 600 espèces ont jusqu'à présent été identifiées (Pfam database, Sanger Institute). Chez certaines espèces bactériennes pathogènes, telles que l'*Escherichia coli* productrice de la toxine Shiga (STEC), le pouvoir pathogène est fortement associé à la présence de gène avec un motif TerD; les gènes de virulence et ceux du motif TerD étant généralement disposés sur un même plasmide chez ces espèces (Hirvonen et al., 2012). En ce qui concerne *S. coelicolor*, plusieurs études transcriptomiques et protéomiques ont observé des modulations dans l'expression de gènes *tdd* à la suite d'exposition à différentes conditions de stress ou lorsque certaines délétions sont faites dans le génome. Ces modulations demeureront énigmatiques tant et aussi longtemps que la fonction du motif TerD n'aura pas été établie.

4.1 Les puces à ADN

Pour parvenir à déterminer la fonction d'un gène pour lequel très peu d'éléments permettent de lui attribuer une fonction spécifique, l'identification de transcriptome sous une condition donnée à partir de souches mutantes est une avenue de recherche intéressante. Le séquençage génomique complet de plusieurs organismes au cours des dernières années et la disponibilité de données sur la structure des gènes dans le génome facilitent la tâche d'assigner une fonction biologique à chaque gène individuel. Il demeure toutefois encore difficile de comprendre le réseau de régulation complexe à l'intérieur de la cellule vivante où gènes, protéines, et métabolites sont tous en interrelation. L'utilisation des puces à ADN rend possible une mesurer de l'impact d'une mutation sur l'ensemble du génome et d'en extraire un ou des groupes de gènes aux fonctions communes.

L'utilisation de puces à ADN pour l'étude de l'expression génétique implique qu'une grande quantité de données soit générée et leur analyse souvent complexe engendre des résultats qui peuvent mener à une confusion au niveau des hypothèses et conclusions (Dharmadi et Gonzalez, 2004). Déterminer avec certitude le gène qui est différemment exprimé, nécessite l'utilisation d'outils statistiques, d'abord pour normaliser les données et ensuite pour établir la probabilité qu'un changement au niveau de l'expression soit significatif. L'analyse statistique permet de s'assurer que les changements observés ne soient pas une suite d'événements aléatoires, une variabilité biologique ou simplement une erreur inhérente aux techniques expérimentales. Un modèle expérimental adéquat est donc essentiel pour réaliser avec succès l'analyse statistique des données et obtenir des résultats significatifs.

4.1.1 L'ADN génomique et normalisation

Plusieurs aspects doivent être considérés pour faire en sorte que les résultats puissent se prêter à une analyse statistique et représenter adéquatement la réponse cellulaire. La tendance

actuelle est de plus en plus dirigée vers l'utilisation de l'ADNg comme référence commune pour normalisation (Dharmadi et Gonzalez, 2004; Jayapal et al., 2008; Williams et al., 2006; Yang, 2009).

L'utilisation de l'ADN génomique dans le modèle expérimental permet de contourner les limitations et problématiques qui étaient généralement rencontrées par les autres modèles expérimentaux, notamment dans la comparaison d'échantillons qui utilisent des fluorophores différents ou dans la comparaison de données provenant d'expériences différentes (Williams et al., 2006; Yang, 2009). L'ADNg est facile et économique à préparer en grande quantité, en plus d'être stable. N'étant pas soumis aux différents changements expérimentaux, son utilisation comme référence permet dans un premier temps de valider l'efficacité d'hybridation et l'intensité du signal pour tous les gènes puisque ceux-ci sont normalement présents en une seule copie par génome chez les procaryotes. Le principal avantage est de générer une référence constante, d'une expérience à l'autre, facilitant ainsi considérablement les opérations de normalisation entre les différentes puces à ADN (Yang, 2009). Toutefois, l'adoption de l'ADNg comme référence comporte aussi des problèmes et défis. De nouvelles variations causant généralement des mesures d'écart-type élevées vont survenir pour les spots de faible intensité avec l'ADNg. À l'inverse, les spots de forte intensité vont interférer considérablement avec l'hybridation de l'ADNc, soit par une hybridation directement en solution ou sur la sonde, ce qui diminue la fiabilité du ratio ADNc/ADNg (Williams et al., 2004; Yang, 2009). Bien que les streptomycètes possèdent un génome complexe chez les procaryotes, ces problèmes sont généralement mineurs avec les génomes bactériens et n'affectent habituellement pas l'efficacité globale de ce modèle (Williams et al., 2004).

4.1.2 La normalisation globale

Dans cette thèse nous avons utilisé la normalisation globale. Ce type de normalisation suppose que la majorité des gènes soit exprimée de la même manière dans les deux

échantillons comparés et ainsi que la majorité des spots émettent un signal d'intensité égale selon les deux fluorophores, généralement représenté par le rouge (cy3) et en vert (cy5). Dans ces conditions, la moyenne arithmétique des ratios d'expression $T_{r/v}$ de tous les spots devrait être égale à 1 (0 en \log_2). Si ce n'est pas le cas, une correction doit être appliquée aux ratios d'expression par un facteur de normalisation N, tel que :

Pour chaque gène : $T_{r/v}$ normalisé = $N \times T_{r/v}$.

Donc par exemple, $V'_i = N_{total} V_i$ et $R'_i = R_i$ (N_{total} étant le facteur de correction moyen),

$$T_i = \frac{R_i}{V_i} \text{ devient donc } T'_i = \frac{1}{N_{total}} \frac{R_i}{V_i}$$

Chaque ratio d'éléments est donc ajusté en fonction de la moyenne de différence entre les ratios qui est égale à 1 (0 en \log_2). La normalisation sera généralement appliquée sur l'intensité des spots d'une même puce à ADN, mais aussi entre les différentes puces à ADN qui seront utilisées lors d'une même expérience.

4.1.3 L'analyse statistique

Il existe plusieurs méthodes d'analyses statistiques et de traitements de données pour travailler avec les données générées par les puces à ADN, le logiciel de la suite MeV (Saeed et al., 2003) permet d'avoir un bon aperçu de l'ensemble de ces tests. Pour l'analyse d'expression différentielle chez les bactéries, le test « Rank product » est couramment utilisé. Cette méthode permet de déterminer l'expression différentielle d'un gène entre deux conditions avec des répétitions multiples. L'analyse diffère de plusieurs autres techniques puisqu'elle n'applique pas de modèles statistiques sophistiqués, mais plutôt un calcul de classement du produit par une méthode rapide et simple. Comme son nom l'indique, le test vérifie si les gènes les plus ou les moins exprimés sont les mêmes entre les répétitions. Ensuite un seuil de probabilité est appliqué pour générer une liste de gènes significativement surexprimés et une

liste de gènes significativement sous-exprimés. « Rank product » est particulièrement utile lorsque les données ont une grande variance, comme c'est souvent le cas avec les puces à ADN. De plus, cette méthode permet de réduire significativement le nombre de répétitions, jusqu'à aussi peu que deux, afin d'obtenir des résultats fiables (Laing, 2008).

4.1.4 La confirmation des résultats par RT-qPCR

Une question clé à propos des données de transcriptomique obtenues par les puces à ADN est de savoir si elles doivent être validées par une autre méthode, telle que le RT-PCR quantitatif. Il est certain que ce ne sont pas tous les gènes qui doivent être vérifiés, mais plutôt les gènes clés d'une étude, ceux à partir desquels de grandes conclusions sont tirées. Une bonne corrélation entre les résultats des puces à ADN et un petit nombre de gènes clés est généralement nécessaire à la fois pour confirmer l'efficacité des techniques et la qualité des puces à ADN utilisées, mais aussi pour confirmer l'implication des données biologiques dans un système ou réseau de régulation (Butcher, 2004; Talaat et al., 2002). Toutefois, selon les recommandations d'un groupe d'experts qui ont établis des normes standards, MIAME (Minimum Information About a Microarray Experience), pour la présentation de résultats à partir d'expérience sur des puces à ADN, la confirmation des résultats par une autre méthode ne fait pas partie des standards minimaux recommandés (Brazma et al., 2001).

4.2 Implication et rôle de *Tdd8* dans des systèmes de régulation

Dans cette thèse, notre étude du motif TerD s'est concentrée particulièrement sur le gène *tdd8* de *S. coelicolor* pour lequel nous disposons de mutant de délétion ($\Delta tdd8$) et de surexpression (*tdd8+*). Par la technologie des puces à ADN, il nous a été possible d'identifier et de comparer les transcriptomes de la souche M145 aux mutants *tdd8* à des moments clés du développement. Les résultats ont permis d'établir une implication de *tdd8* dans 3 grands

systèmes de régulation, soient 1) la différenciation morphologique, 2) le métabolisme de l'azote et 3) le contrôle de l'état de l'oxydoréduction par la respiration cellulaire. Nous émettons maintenant l'hypothèse que la protéine Tdd8 a un rôle dans ces divers processus cellulaires par son implication dans l'homéostasie du calcium intracellulaire. Il était connu que Tdd8 possède deux sites de liaison au calcium, mais dans ce travail, nous avons démontré que le taux de calcium intracellulaire variait entre les mutants et la souche M145. Au contraire des eucaryotes où le Ca^{2+} intracellulaire (Ca^{2+}_i) est un signal très polyvalent qui fonctionne pour réguler de nombreux processus cellulaires sur presque tous les aspects de la vie cellulaire (Berridge et al., 2003; Clapham, 2007), nous savons très peu au sujet de la régulation par le calcium chez les procaryotes. Comme 7 des 17 protéines Tdd de *S. coelicolor* examinées possèdent également des sites de liaison au calcium (Sanssouci et al., 2012), il est donc plausible de penser que les résultats présentés dans cette thèse puissent avoir une portée générale et ne pas concerner uniquement *tdd8*. D'ailleurs, il avait été observé que tout comme pour une délétion de *tdd8*, des délétions de *tdd7* et *tdd13* menaient également à des changements morphologiques (Sanssouci et al., 2012).

La comparaison des transcriptomes de M145 avec ceux des mutants $\Delta tdd8$ et *tdd8+* a permis de mettre en évidence plusieurs gènes impliqués dans le processus de différenciation. Parmi ces gènes, il y a ceux qui codent pour des protéines chaplines, d'importantes protéines qui sont nécessaires à la différenciation vers le second mycélium et essentielles à la formation des spores. Ce résultat fournit une explication génétique des différences concernant la morphologie et l'efficacité de la sporulation entre M145 et les mutants $\Delta tdd8$ et *tdd8+*. Le rôle de Tdd8 dans la différenciation pourrait être en rapport avec sa capacité à lier le calcium, puisqu'il a déjà été démontré qu'il existe un rapport entre une protéine qui lie le calcium, CabC, la concentration de calcium intracellulaire et la sporulation (Wang et al., 2008).

Le deuxième processus cellulaire influencé par Tdd8 concerne le métabolisme de l'azote. Les résultats présentés dans cette thèse ont permis de démontrer que l'expression de plusieurs gènes associés au métabolisme de l'azote est positivement régulée par le niveau d'expression

de *tdd8*. Par ailleurs, il a également été possible d'établir que la réduction des nitrites pouvait être synchronisée avec l'apparition du second mycélium et autant le niveau d'expression de *tdd8* que la concentration initiale de calcium dans le milieu de culture avaient un impact sur l'activité de la réduction des nitrites. Plusieurs éléments concernant le métabolisme de l'azote restent toutefois à être élucidés. La presque totalité des gènes impliqués dans l'assimilation de l'azote affichaient une expression différentielle entre les souches mutantes et M145. Dans ce contexte, il serait intéressant de poursuivre les études du transcriptome sous différentes conditions de stress associées à la disponibilité limitée d'azote afin d'identifier de nouveaux gènes impliqués dans le métabolisme de l'azote. Déjà, il est connu que *glnII* code pour une glutamine synthétase mais son rôle exact demeure obscur (Tiffert et al., 2008), tout comme SCO2211 en aval de *glnII*, *glnA2* et SCO2195 qui semblent tous co-régulés avec d'autres gènes impliqués dans l'assimilation de l'azote, mais dont la fonction ou le rôle demeure à être identifié.

Le troisième processus influencé par Tdd8 a trait à l'oxydoréduction. D'abord, l'expression différentielle des transcriptomes de $\Delta tdd8$ par rapport à M145 a permis d'identifier un nouveau regroupement de gènes impliqués dans la réponse à un stress redox. La plupart de ces gènes sont disposés sur deux loci situés à proximité l'un de l'autre, une structure organisationnelle généralement favorisée par l'évolution qui permet une proximité aux gènes travaillant pour une même fonction dans un contexte régulateur-réglon (Zhang et al., 2012). Parmi ces gènes, plusieurs sont orthologues aux gènes du régulon DosR de *Mycobacterium tuberculosis*, bien connu pour son implication dans la dormance en condition d'hypoxie (Boon and Dick, 2012). Nos recherches ont caractérisé pour la première fois ces gènes chez les streptomycètes et ont permis d'identifier un motif de liaison très similaire à celui caractérisé chez *M. tuberculosis* pour DosR. Avec la souche M145, nous avons démontré que l'expression du régulon analogue à DosR était induite par des conditions d'hypoxie et de stress à l'oxyde nitrique, ce qui confirme à la fois que *S. coelicolor* dispose d'un système DosR similaire à celui de *M. tuberculosis* et que *tdd8* est impliqué dans le contrôle de l'équilibre redox et de la respiration cellulaire. L'ajout de calcium dans le milieu de croissance a permis de réprimer les

gènes du régulon analogues à DosR. Ces résultats suggèrent encore une fois que *tdd8* puisse jouer un rôle important et spécifique dans la réponse au stress redox via une signalisation par le calcium. De plus, comme l'expression de *tdd8* est affectée par différents stress, il est possible que la protéine correspondante soit impliquée dans la perception et la réponse à des stress variés, notamment via son rôle sur l'homéostasie du calcium intracellulaire.

La réduction des nitrates en nitrites observée quelques heures avant l'apparition de l'antibiotique Red suggère que NarGHIJ activée par DosR puisse permettre l'utilisation des nitrates comme accepteur d'électrons. Dans ce contexte, cela pourrait signifier que des conditions de stress d'oxydoréductions surviennent pendant cette période. Il est possible que ces conditions de stress puissent agir comme signal à l'activation d'un processus de mort cellulaire programmé et induire la différenciation morphologique vers le second mycélium. Pour expliquer la réduction des nitrites suite à l'apparition de l'antibiotique Red et dont la dynamique de réduction semble être modulée par Tdd8 ou par l'ajout de calcium, différentes hypothèses sont présentées à la figure 1. Il est proposé que NarGHIJ puisse jouer un rôle dans la réduction des nitrites en oxyde nitrique suite à l'épuisement du nitrate (Gilberthorpe et Poole, 2008), ce qui permettrait d'expliquer pourquoi narGHIJ, codant pour la nitrate réductase respiratoire et nsrR, codant pour un senseur d'oxyde nitrique, sont surexprimées à l'apparition de l'antibiotique Red. Les nitrites pourraient donc être réduits par la voie de la dénitritification dont certains enzymes impliqués sont toujours inconnus REF (Kumon et al., 2002) ou par la nitrite réductase NirBD dont l'expression des gènes qui codent pour cette enzyme est dépendante du régulateur GlnR et de la faible disponibilité d'azote assimilable. La figure 1 présentée dans cette section résume et suggère un réseau de régulation induit par la modulation de Tdd8.

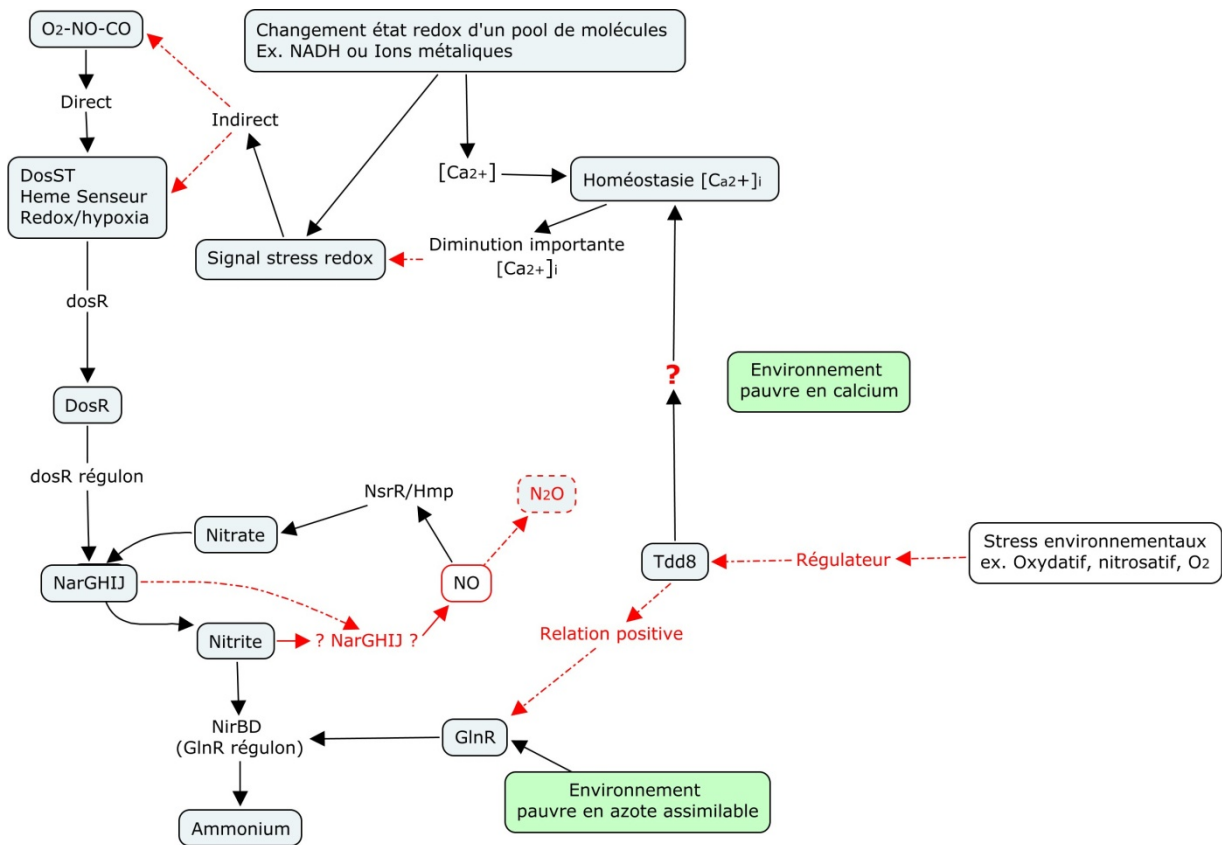


Figure 1 Modèle sur l'impact d'une modulation de l'expression de *tdd8*. La modulation de l'expression de *tdd8*, notamment causée par des stress oxydatifs et nitrosatifs, modifie l'homéostasie du calcium intracellulaire dans un environnement pauvre en calcium. Il existe également une relation entre l'expression de *tdd8* et *glnR*, qui code pour le principal régulateur de l'assimilation de l'azote. De façon similaire aux conditions d'hypoxie et d'augmentation de l'oxyde nitrique, une importante diminution des ions de calcium intracellulaire agit comme signal de stress redox et active de façon indirecte l'expression du gène qui code pour le régulateur DosR. Le régulon DosR inclut les gènes *narGHIJ* qui codent pour une nitrate réductase respiratoire responsable de la réduction des nitrates et différentes hypothèses sont présentées quant à la réduction des nitrites. Les flèches, molécules et intermédiaires en rouges sont des hypothèses de travail qui n'ont pas été démontrées dans cette thèse.

La poursuite de la caractérisation de DosR et de son régulon chez *S. coelicolor* est intéressante à plusieurs points de vue. D'abord chez *M. tuberculosis*, l'agent causal de la tuberculose, il est établi que DosR joue un rôle essentiel dans l'infection persistante (Boon et Dick, 2012). Le régulateur DosR rend possible la survie du pathogènes par l'activation de gènes qui induit un phénomène de dormance qui lui confère une tolérance à l'environnement anoxique et riche en oxyde nitrique que crée les macrophages, mais également une grande tolérance aux médicaments et chimiothérapie. La recherche pour le développement de médicament permettant de limiter l'expression de *dosR* et l'apparition de ce stade dormance est identifié comme une des voies les plus prometteuses pour le traitement de cette maladie. À la lumière des résultats présentés dans cette thèse, le contrôle de la concentration du calcium intracellulaire pourrait être une voie intéressante à explorer pour le traitement de la persistance de l'infection à *M. tuberculosis*. Chez *S. coelicolor*, il semble qu'un phénomène apparenté à la dormance soit associé à la capacité de l'organisme à survivre plusieurs semaines en absence d'oxygène (van Keulen et al., 2007). L'étude d'un système DosR parallèle chez une autre famille d'actinobactéries comme celui nouvellement décrit chez *S. coelicolor* permettra certainement une meilleure connaissance de ce type de système de régulation et pourrait fournir une meilleure compréhension de la capacité de *S. coelicolor* à survivre en absence d'oxygène.

CONCLUSION

De nombreuses voies restent à être explorées afin d'élucider le rôle exact des gènes *tdd* chez *S. coelicolor*, notamment celle d'identifier les régulateurs et la fonction commun de l'ensemble des gènes *tdd*. Les travaux présentés dans cette thèse ouvrent maintenant la voie à des recherches plus ciblées qui s'orientent notamment vers la différenciation morphologique, le métabolisme de l'azote ainsi que l'équilibre de l'état d'oxydoreduction et permettront de mieux comprendre le système de régulation complexe auquel *tdd8* participe. L'étude d'un système comportant une signalisation par le calcium est complexe en raison de l'ubiquité du calcium dans une multitude de systèmes. Chez les procaryotes, cette complexité s'accentue puisque que très peu d'études ont été faites sur ce sujet. Les recherches présentées dans cette thèse apportent un nouvel éclairage à la fonction de *tdd8* et s'inscrivent dans une première assise de la littérature sur une nouvelle classe de protéines impliquées dans la signalisation par les ions de calcium.

BIBLIOGRAPHIE

- Agranoff, D., and Krishna, S. (2004). Metal ion transport and regulation in *Mycobacterium tuberculosis*. *Front. Biosci.* 9, 2996-3006.
- Alam, M.T., Merlo, M.E., Takano, E., and Breitling, R. (2010). Genome-based phylogenetic analysis of *Streptomyces* and its relatives. *Mol. Phylogenet. Evol.* 54, 763-772.
- Anantharaman, V., Iyer, L.M., and Aravind, L. (2012). Ter-dependent stress response systems: novel pathways related to metal sensing, production of a nucleoside-like metabolite, and DNA-processing. *Mol. Biosyst.* 8, 3142-3165.
- Angert, E.R. (2005). Alternatives to binary fission in bacteria. *Nat. Rev. Microbiol* 3, 214-224.
- Bailey, T.L., Boden, M., Buske, F.A., Frith, M., Grant, C.E., Clementi, L., Ren, J., Li, W.W., and Noble, W.S. (2009). MEME SUITE: tools for motif discovery and searching. *Nucleic Acids Res.* 37, W202-208.
- Bentley, S.D., Chater, K.F., Cerdeno-Tarraga, A.M., Challis, G.L., Thomson, N.R., James, K.D., Harris, D.E., Quail, M.A., Kieser, H., Harper, D., et al. (2002). Complete genome sequence of the model actinomycete *Streptomyces coelicolor* A3(2). *Nature* 417, 141-147.
- Berridge, M.J., Bootman, M.D., and Roderick, H.L. (2003). Calcium signalling: dynamics, homeostasis and remodelling. *Nat. Rev. Mol. Cell. Biol.* 4, 517-529.
- Bhat, S.A., Singh, N., Trivedi, A., Kansal, P., Gupta, P., and Kumar, A. (2012). The mechanism of redox sensing in *Mycobacterium tuberculosis*. *Free Radic. Biol. Med.* 53, 1625-1641.
- Bibb, M.J., Domonkos, A., Chandra, G., and Buttner, M.J. (2012). Expression of the chaplin and rodlin hydrophobic sheath proteins in *Streptomyces venezuelae* is controlled by sigma(BldN) and a cognate anti-sigma factor, RsbN. *Mol. Microbiol.* 84, 1033-1049.
- Bilban, M., Buehler, L.K., Head, S., Desoye, G., and Quaranta, V. (2002). Normalizing DNA microarray data. *Curr. Issues Mol. Biol.* 4, 57-64.

Bogard, N.A., J. Lamoril (2008). Microarray d'ADN et profils d'expression des gènes. Première partie: concept, fabrication et mise en oeuvre. Immuno-analyse et biologie spécialisée 23, 71-88.

Boon, C., and Dick, T. (2012). How *Mycobacterium tuberculosis* goes to sleep: the dormancy survival regulator DosR a decade later. Future Microbiol. 7, 513-518.

Borisov, V.B., Gennis, R.B., Hemp, J., and Verkhovsky, M.I. (2011). The cytochrome bd respiratory oxygen reductases. Biochim. Biophys. Acta. 1807, 1398-1413.

Borodina, I., Krabben, P., and Nielsen, J. (2005). Genome-scale analysis of *Streptomyces coelicolor* A3(2) metabolism. Genome Res. 15, 820-829.

Brazma, A., Hingamp, P., Quackenbush, J., Sherlock, G., Spellman, P., Stoeckert, C., Aach, J., Ansorge, W., Ball, C.A., Causton, H.C., *et al.* (2001). Minimum information about a microarray experiment (MIAME)-toward standards for microarray data. Nat. Genet. 29, 365-371.

Bucca, G., Laing, E., Mersinias, V., Allenby, N., Hurd, D., Holdstock, J., Brenner, V., Harrison, M., and Smith, C.P. (2009). Development and application of versatile high density microarrays for genome-wide analysis of *Streptomyces coelicolor*: characterization of the HspR regulon. Genome Biol. 10, R5.

Bueno, E., Mesa, S., Bedmar, E.J., Richardson, D.J., and Delgado, M.J. (2012). Bacterial adaptation of respiration from oxic to microoxic and anoxic conditions: redox control. Antioxid Redox Signal. 16, 819-852.

Butcher, P.D. (2004). Microarrays for *Mycobacterium tuberculosis*. Tuberculosis (Edinb). 84, 131-137.

Capstick, D.S., Willey, J.M., Buttner, M.J., and Elliot, M.A. (2007). SapB and the chaplins: connections between morphogenetic proteins in *Streptomyces coelicolor*. Mol. Microbiol. 64, 602-613.

Chater, K. (2011). Differentiation in *Streptomyces*: the properties and programming of diverse cell-types. In: Dyson, P., editor. *Streptomyces: Molecular Biology and Biotechnology*. Caister Academic Press; Norfolk, UK, p. 43-86.

Chauhan, S., Sharma, D., Singh, A., Surolia, A., and Tyagi, J.S. (2011). Comprehensive insights into *Mycobacterium tuberculosis* DevR (DosR) regulon activation switch. Nucleic Acids Res. 39, 7400-7414.

Chen, J., and Strous, M. (2013). Denitrification and aerobic respiration, hybrid electron transport chains and co-evolution. *Biochim. Biophys. Acta.* *1827*, 136-144.

Clapham, D.E. (2007). Calcium signaling. *Cell* *131*, 1047-1058.

Daigle, F., Lerat, S., Bucca, G., Smith, C.P., Malouin, F., and Beaulieu, C. (submitted for publication). Identification of a DosR-like regulon in *Streptomyces coelicolor* via a comparative global genome transcriptomics in strains exhibiting differential expression of *tdd8*, a TerD domain-encoding gene

Daza, A., Martin, J.F., Dominguez, A., and Gil, J.A. (1989). Sporulation of several species of *Streptomyces* in submerged cultures after nutritional downshift. *J. Gen. Microbiol.* *135*, 2483-2491.

De Mot, R., Schoofs, G., and Nagy, I. (2007). Proteome analysis of *Streptomyces coelicolor* mutants affected in the proteasome system reveals changes in stress-responsive proteins. *Arch. Microbiol.* *188*, 257-271.

Del Sol, R., Mullins, J.G., Grantcharova, N., Flardh, K., and Dyson, P. (2006). Influence of CrgA on assembly of the cell division protein FtsZ during development of *Streptomyces coelicolor*. *J. Bacteriol.* *188*, 1540-1550.

Deves, R., and Brodie, A.F. (1981). Active transport of Ca²⁺ in bacteria: bioenergetics and function. *Mol. Cell. Biochem.* *36*, 65-84.

Dharmadi, Y., and Gonzalez, R. (2004). DNA microarrays: experimental issues, data analysis, and application to bacterial systems. *Biotechnol. Prog.* *20*, 1309-1324.

Dominguez, D.C. (2004). Calcium signalling in bacteria. *Mol. Microbiol.* *54*, 291-297.

Domínguez DC, L.R., Holland IB, Campbell AK (2011). Proteome Analysis of *B. subtilis* in Response to Calcium. *J. Anal. Bioanal. Techniques* *S6:001*.

Elliot, M.A., Buttner, M. J., Nodwell, J. R. (2008). Multicellular development in *Streptomyces*. In: *Myxobacteria: Multicellularity and Differentiation* (Whitworth, D. E., ed). American Society for Microbiology Press, pp 419-438.

Elliott, M.A., Karoonuthaisiri, N., Huang, J., Bibb, M.J., Cohen, S.N., Kao, C.M., and Buttner, M.J. (2003). The chaplins: a family of hydrophobic cell-surface proteins involved in aerial mycelium formation in *Streptomyces coelicolor*. *Genes Dev.* 17, 1727-1740.

Eng, C., Asthana, C., Aigle, B., Hergalant, S., Mari, J.F., and Leblond, P. (2009). A new data mining approach for the detection of bacterial promoters combining stochastic and combinatorial methods. *J. Comput. Biol.* 16, 1211-1225.

Eschbach, M., Schreiber, K., Trunk, K., Buer, J., Jahn, D., and Schobert, M. (2004). Long-term anaerobic survival of the opportunistic pathogen *Pseudomonas aeruginosa* via pyruvate fermentation. *J. Bacteriol.* 186, 4596-4604.

Fink, D., Weissbuch, N., Reuther, J., Wohlleben, W., and Engels, A. (2002). Two transcriptional regulators GlnR and GlnRII are involved in regulation of nitrogen metabolism in *Streptomyces coelicolor* A3(2). *Mol. Microbiol.* 46, 331-347.

Fischer, M., Alderson, J., van Keulen, G., White, J., and Sawers, R.G. (2010). The obligate aerobe *Streptomyces coelicolor* A3(2) synthesizes three active respiratory nitrate reductases. *Microbiology* 156, 3166-3179.

Fischer, M., Schmidt, C., Falke, D., and Sawers, R.G. (2012). Terminal reduction reactions of nitrate and sulfate assimilation in *Streptomyces coelicolor* A3(2): identification of genes encoding nitrite and sulfite reductases. *Res. Microbiol.* 163, 340-348.

Flärdh, K., and Buttner, M.J. (2009). *Streptomyces* morphogenetics: dissecting differentiation in a filamentous bacterium. *Nat. Rev. Microbiol.* 7, 36-49.

Florczyk, M.A., McCue, L.A., Purkayastha, A., Currenti, E., Wolin, M.J., and McDonough, K.A. (2003). A family of acr-coregulated *Mycobacterium tuberculosis* genes shares a common DNA motif and requires Rv3133c (dosR or devR) for expression. *Infect. Immun.* 71, 5332-5343.

Futsaether, C.M., and Johnsson, A. (1994). Using fura-2 to measure intracellular free calcium in *Propionibacterium acnes*. *Can. J. Microbiol.* 40, 439-445.

Gangola, P., and Rosen, B.P. (1987). Maintenance of intracellular calcium in *Escherichia coli*. *J. Biol. Chem.* 262, 12570-12574.

Gerasimova, A., Kazakov, A.E., Arkin, A.P., Dubchak, I., and Gelfand, M.S. (2011). Comparative genomics of the dormancy regulons in mycobacteria. *J. Bacteriol.* **193**, 3446-3452.

Gilberthorpe, N.J., and Poole, R.K. (2008). Nitric oxide homeostasis in *Salmonella typhimurium*: roles of respiratory nitrate reductase and flavohemoglobin. *J. Biol. Chem.* **283**, 11146-11154.

Gilliam, M.B., Sherman, M.P., Griscavage, J.M., and Ignarro, L.J. (1993). A spectrophotometric assay for nitrate using NADPH oxidation by *Aspergillus* nitrate reductase. *Anal. Biochem.* **212**, 359-365.

Gordon, N.D., Ottaviano, G.L., Connell, S.E., Tobkin, G.V., Son, C.H., Shterental, S., and Gehring, A.M. (2008). Secreted-protein response to σ^U activity in *Streptomyces coelicolor*. *J. Bacteriol.* **190**, 894-904.

Green, L.C., Wagner, D.A., Glogowski, J., Skipper, P.L., Wishnok, J.S., and Tannenbaum, S.R. (1982). Analysis of nitrate, nitrite, and [15N]nitrate in biological fluids. *Anal. Biochem.* **126**, 131-138.

Gruber, T.M., and Gross, C.A. (2003). Multiple sigma subunits and the partitioning of bacterial transcription space. *Annu. Rev. Microbiol.* **57**, 441-466.

Grynkiewicz, G., Poenie, M., and Tsien, R.Y. (1985). A new generation of Ca^{2+} indicators with greatly improved fluorescence properties. *J. Biol. Chem.* **260**, 3440-3450.

Herbaud, M.L., Guiseppi, A., Denizot, F., Haiech, J., and Kilhoffer, M.C. (1998). Calcium signalling in *Bacillus subtilis*. *Biochim. Biophys. Acta.* **1448**, 212-226.

Hirvonen, J.J., Siitonen, A., and Kaukoranta, S.S. (2012). Usability and performance of CHROMagar STEC medium in detection of Shiga toxin-producing *Escherichia coli* strains. *J. Clin. Microbiol.* **50**, 3586-3590.

Hodgson, D.A. (2000). Primary metabolism and its control in streptomycetes: a most unusual group of bacteria. *Adv. Microb. Physiol.* **42**, 47-238.

Honaker, R.W., Dhiman, R.K., Narayanasamy, P., Crick, D.C., and Voskuil, M.I. (2010). DosS responds to a reduced electron transport system to induce the *Mycobacterium tuberculosis* DosR regulon. *J. Bacteriol.* **192**, 6447-6455.

Hopwood, D.A. (2007). *Streptomyces* in nature and medicine : the antibiotic makers (Oxford, Oxford University Press).

Hopwood, D.A., Wildermuth, H., and Palmer, H.M. (1970). Mutants of *Streptomyces coelicolor* defective in sporulation. *J. Gen. Microbiol.* *61*, 397-408.

Hu, Y., and Coates, A.R. (2011). *Mycobacterium tuberculosis acg* gene is required for growth and virulence in vivo. *PLoS One* *6*, e20958.

Huang, J., Lih, C.J., Pan, K.H., and Cohen, S.N. (2001). Global analysis of growth phase responsive gene expression and regulation of antibiotic biosynthetic pathways in *Streptomyces coelicolor* using DNA microarrays. *Genes Dev.* *15*, 3183-3192.

Hutchings, M.I., Hong, H.J., Leibovitz, E., Sutcliffe, I.C., and Buttner, M.J. (2006). The sigma(E) cell envelope stress response of *Streptomyces coelicolor* is influenced by a novel lipoprotein, CseA. *J. Bacteriol.* *188*, 7222-7229.

Hutchings, M.I., Hoskisson, P.A., Chandra, G., and Buttner, M.J. (2004). Sensing and responding to diverse extracellular signals? Analysis of the sensor kinases and response regulators of *Streptomyces coelicolor* A3(2). *Microbiology* *150*, 2795-2806.

Im, H. (1995). The *sapA* promoter from *Streptomyces coelicolor* requires activation sites and initiator-like sequences but No -10 or -35 sequences. *J. Bacteriol.* *177*, 4601-4608.

Jaypal, K.P., Philp, R.J., Kok, Y.J., Yap, M.G., Sherman, D.H., Griffin, T.J., and Hu, W.S. (2008). Uncovering genes with divergent mRNA-protein dynamics in *Streptomyces coelicolor*. *PLoS One* *3*, e2097.

Kallifidas, D., Thomas, D., Doughty, P., and Paget, M.S. (2010). The sigmaR regulon of *Streptomyces coelicolor* A32 reveals a key role in protein quality control during disulphide stress. *Microbiology* *156*, 1661-1672.

Kang, J.G., Hahn, M.Y., Ishihama, A., and Roe, J.H. (1997). Identification of sigma factors for growth phase-related promoter selectivity of RNA polymerases from *Streptomyces coelicolor* A3(2). *Nucleic Acids Res* *25*, 2566-2573.

Kieser, T., Bibb, M.J., Buttner, M.J., Chater, K.F., and Hopwood, D.A. (2000). Practical *streptomyces* genetics eds. (John Innes Foundation, Norwich).

Kommineni, S., Lama, A., Popescu, B., and Nakano, M.M. (2012). Global transcriptional control by NsrR in *Bacillus subtilis*. *J. Bacteriol.* **194**, 1679-1688.

Kormutakova, R., Klucar, L., and Turna, J. (2000). DNA sequence analysis of the tellurite-resistance determinant from clinical strain of *Escherichia coli* and identification of essential genes. *Biometals* **13**, 135-139.

Korner, H., Sofia, H.J., and Zumft, W.G. (2003). Phylogeny of the bacterial superfamily of Crp-Fnr transcription regulators: exploiting the metabolic spectrum by controlling alternative gene programs. *FEMS Microbiol. Rev.* **27**, 559-592.

Kumar, A., Toledo, J.C., Patel, R.P., Lancaster, J.R., Jr., and Steyn, A.J. (2007). *Mycobacterium tuberculosis* DosS is a redox sensor and DosT is a hypoxia sensor. *Proc. Natl. Acad. Sci. USA* **104**, 11568-11573.

Kumon, Y., Sasaki, Y., Kato, I., Takaya, N., Shoun, H., and Beppu, T. (2002). Codenitrification and denitrification are dual metabolic pathways through which dinitrogen evolves from nitrate in *Streptomyces antibioticus*. *J. Bacteriol.* **184**, 2963-2968.

Laing, E., Bucca, G. , Smith, C. P. (2008). University of Surrey Microarray Experiment Guidelines. <http://www2.surrey.ac.uk/fhms/microarrays/Recommendations/Normalisation/>.

Laing, E., Mersinias, V., Smith, C.P., and Hubbard, S.J. (2006). Analysis of gene expression in operons of *Streptomyces coelicolor*. *Genome Biol.* **7**, R46.

Langlois, P., Bourassa, S., Poirier, G.G., and Beaulieu, C. (2003). Identification of *Streptomyces coelicolor* proteins that are differentially expressed in the presence of plant material. *Appl. Environ. Microbiol.* **69**, 1884-1889.

Leganés, F., Forchhammer, K., and Fernández-Pinas, F. (2009). Role of calcium in acclimation of the cyanobacterium *Synechococcus elongatus* PCC 7942 to nitrogen starvation. *Microbiology* **155**, 25-34.

Lewinska, A., Macierzynska, E., Grzelak, A., and Bartosz, G. (2011). A genetic analysis of nitric oxide-mediated signaling during chronological aging in the yeast. *Biogerontology* **12**, 309-320.

Liang, L., Liu, R., Wang, G., Gou, D., Ma, J., Chen, K., Jiang, M., Wei, P., and Ouyang, P. (2012). Regulation of NAD(H) pool and NADH/NAD(+) ratio by overexpression of nicotinic acid

phosphoribosyltransferase for succinic acid production in *Escherichia coli* NZN111. Enzyme Microb. Technol. 51, 286-293.

Lin, W. (2004). Les Puces à ADN sur lames de verre: principes et méthodes de confection, d'application expérimentale et d'analyse des données. Thèse de doctorat, CNRS-Institut Curie, Paris.

Manteca, A., Alvarez, R., Salazar, N., Yague, P., and Sanchez, J. (2008). Mycelium differentiation and antibiotic production in submerged cultures of *Streptomyces coelicolor*. Appl. Environ. Microbiol. 74, 3877-3886.

Manteca, A., Claessen, D., Lopez-Iglesias, C., and Sanchez, J. (2007). Aerial hyphae in surface cultures of *Streptomyces lividans* and *Streptomyces coelicolor* originate from viable segments surviving an early programmed cell death event. FEMS Microbiol. Lett. 274, 118-125.

Manteca, A., Fernandez, M., and Sanchez, J. (2006a). Cytological and biochemical evidence for an early cell dismantling event in surface cultures of *Streptomyces antibioticus*. Res. Microbiol. 157, 143-152.

Manteca, A., Jung, H.R., Schwammle, V., Jensen, O.N., and Sanchez, J. (2010). Quantitative proteome analysis of *Streptomyces coelicolor* Nonsporulating liquid cultures demonstrates a complex differentiation process comparable to that occurring in sporulating solid cultures. J. Proteome Res. 9, 4801-4811.

Manteca, A., Mader, U., Connolly, B.A., and Sanchez, J. (2006b). A proteomic analysis of *Streptomyces coelicolor* programmed cell death. Proteomics 6, 6008-6022.

Manteca, A., Ye, J., Sanchez, J., and Jensen, O.N. (2011). Phosphoproteome analysis of *Streptomyces* development reveals extensive protein phosphorylation accompanying bacterial differentiation. J. Proteome Res. 10, 5481-5492.

McCormick, J.R., and Flärdh, K. (2012). Signals and regulators that govern *Streptomyces* development. FEMS Microbiol. Rev. 36, 206-231.

Meiklejohn, C.D., and Townsend, J.P. (2005). A Bayesian method for analysing spotted microarray data. Brief Bioinform. 6, 318-330.

Miguelez, E.M., Hardisson, C., and Manzanal, M.B. (1999). Hyphal death during colony development in *Streptomyces antibioticus*: morphological evidence for the existence of a process of cell deletion in a multicellular prokaryote. *J. Cell Biol.* **145**, 515-525.

Mistry, B.V., Del Sol, R., Wright, C., Findlay, K., and Dyson, P. (2008). FtsW is a dispensable cell division protein required for Z-ring stabilization during sporulation septation in *Streptomyces coelicolor*. *J. Bacteriol.* **190**, 5555-5566.

Nakamura, I., Nakai, Y., and Izumi, H. (1996). Use of fura-2/AM to measure intracellular free calcium in *Selenomonas ruminantium*. *Tohoku J Exp Med* **179**, 291-294.

Nakano, M.M., Dailly, Y.P., Zuber, P., and Clark, D.P. (1997). Characterization of anaerobic fermentative growth of *Bacillus subtilis*: identification of fermentation end products and genes required for growth. *J. Bacteriol.* **179**, 6749-6755.

Nodwell, J.R., and Losick, R. (1998). Purification of an extracellular signaling molecule involved in production of aerial mycelium by *Streptomyces coelicolor*. *J. Bacteriol.* **180**, 1334-1337.

Noens, E.E., Mersinias, V., Traag, B.A., Smith, C.P., Koerten, H.K., and van Wezel, G.P. (2005). SsgA-like proteins determine the fate of peptidoglycan during sporulation of *Streptomyces coelicolor*. *Mol. Microbiol.* **58**, 929-944.

Novotna, J., Vohradsky, J., Berndt, P., Gramajo, H., Langen, H., Li, X.M., Minas, W., Orsaria, L., Roeder, D., and Thompson, C.J. (2003). Proteomic studies of diauxic lag in the differentiating prokaryote *Streptomyces coelicolor* reveal a regulatory network of stress-induced proteins and central metabolic enzymes. *Mol. Microbiol.* **48**, 1289-1303.

Paget, M.S., Bae, J.B., Hahn, M.Y., Li, W., Kleanthous, C., Roe, J.H., and Buttner, M.J. (2001). Mutational analysis of RsrA, a zinc-binding anti-sigma factor with a thiol-disulphide redox switch. *Mol. Microbiol.* **39**, 1036-1047.

Pan, Y.R., Lou, Y.C., Seven, A.B., Rizo, J., and Chen, C. (2011). NMR structure and calcium-binding properties of the tellurite resistance protein TerD from *Klebsiella pneumoniae*. *J Mol Biol* **405**, 1188-1201.

Park, T., Yi, S.G., Kang, S.H., Lee, S., Lee, Y.S., and Simon, R. (2003). Evaluation of normalization methods for microarray data. *BMC Bioinformatics* **4**, 33.

Perez-Redondo, R., Rodriguez-Garcia, A., Botas, A., Santamarta, I., Martin, J.F., and Liras, P. (2012). ArgR of *Streptomyces coelicolor* is a versatile regulator. *PLoS One* 7, e32697.

Pfaffl, M.W. (2001). A new mathematical model for relative quantification in real-time RT-PCR. *Nucleic Acids Res.* 29, e45.

Pfaffl, M.W., Horgan, G.W., and Dempfle, L. (2002). Relative expression software tool (REST) for group-wise comparison and statistical analysis of relative expression results in real-time PCR. *Nucleic Acids Res.* 30, e36.

Prescott, L.M., Harley, J.P., and Klein, D.A. (2005). *Microbiology*, 6th edn (Boston ; London, McGraw-Hill Higher Education).

Prigent-Combaret, C., Sanguin, H., Champier, L., Bertrand, C., Monnez, C., Colinon, C., Blaha, D., Ghigo, J.M., and Cournoyer, B. (2012). The bacterial thiopurine methyltransferase tellurite resistance process is highly dependent upon aggregation properties and oxidative stress response. *Environ Microbiol.* 14, 2645-2660.

Pruss, B.M., Nelms, J.M., Park, C., and Wolfe, A.J. (1994). Mutations in NADH:ubiquinone oxidoreductase of *Escherichia coli* affect growth on mixed amino acids. *J. Bacteriol.* 176, 2143-2150.

Quackenbush, J. (2002). Microarray data normalization and transformation. *Nat. Genet.* 32 Suppl., 496-501.

Reuther, J., and Wohlleben, W. (2007). Nitrogen metabolism in *Streptomyces coelicolor*: transcriptional and post-translational regulation. *J. Mol. Microbiol. Biotechnol.* 12, 139-146.

Saeed, A.I., Sharov, V., White, J., Li, J., Liang, W., Bhagabati, N., Braisted, J., Klapa, M., Currier, T., Thiagarajan, M., et al. (2003). TM4: a free, open-source system for microarray data management and analysis. *Biotechniques* 34, 374-378.

Saini, D.K., Malhotra, V., and Tyagi, J.S. (2004). Cross talk between DevS sensor kinase homologue, Rv2027c, and DevR response regulator of *Mycobacterium tuberculosis*. *FEBS Lett.* 565, 75-80.

Sanssouci, É. (2010). Rôle des gènes homologues à terD dans le cycle vital de *Streptomyces coelicolor*. Thèses de doctorat, Université de Sherbrooke, Sherbrooke.

Sanssouci, E., Lerat, S., Daigle, F., Grondin, G., Shareck, F., and Beaulieu, C. (2012). Deletion of TerD-domain-encoding genes: effect on *Streptomyces coelicolor* development. Can. J. Microbiol. 58, 1221-1229.

Sanssouci, E., Lerat, S., Grondin, G., Shareck, F., and Beaulieu, C. (2011). tdd8: a TerD domain-encoding gene involved in *Streptomyces coelicolor* differentiation. Antonie Van Leeuwenhoek 100, 385-398.

Sasaki, Y., Takaya, N., Nakamura, A., and Shoun, H. (2004). Isolation of flavohemoglobin from the actinomycete *Streptomyces antibioticus* grown without external nitric oxide stress. Biosci. Biotechnol. Biochem. 68, 1106-1112.

Sass, A.M., Schmerk, C., Agnoli, K., Norville, P.J., Eberl, L., Valvano, M.A., and Mahenthiralingam, E. (2013). The unexpected discovery of a novel low-oxygen-activated locus for the anoxic persistence of *Burkholderia cenocepacia*. ISME J, 1-14.

Smyth, G.K., and Speed, T. (2003). Normalization of cDNA microarray data. Methods 31, 265-273.

Sohaskey, C.D. (2008). Nitrate enhances the survival of *Mycobacterium tuberculosis* during inhibition of respiration. J. Bacteriol. 190, 2981-2986.

Sohaskey, C.D., and Wayne, L.G. (2003). Role of narK2X and narGHJI in Hypoxic Upregulation of Nitrate Reduction by *Mycobacterium tuberculosis*. Journal of Bacteriology 185, 7247-7256.

Stackebrandt, E., Rainey, F.A., and Ward-Rainey, N.L. (1997). Proposal for a New Hierarchic Classification System, Actinobacteria classis. Int. J. Syst. Bacteriol. 47, 479-491.

Staron, A., Sofia, H.J., Dietrich, S., Ulrich, L.E., Liesegang, H., and Mascher, T. (2009). The third pillar of bacterial signal transduction: classification of the extracytoplasmic function (ECF) sigma factor protein family. Mol. Microbiol. 74, 557-581.

Strap, J.L.C., D. L. (2006). Ecology of Streptomyces in soil and rhizosphere: In Molecular Techniques for Soil and Rhizosphere Microorganisms. JE Cooper, JR Rao eds. (Oxfordshire, UK: CABI Publishing Co), pp.166-182

Talaat, A.M., Howard, S.T., Hale, W.t., Lyons, R., Garner, H., and Johnston, S.A. (2002). Genomic DNA standards for gene expression profiling in *Mycobacterium tuberculosis*. Nucleic Acids Res 30, e104.

Thomas, L., Hodgson, D.A., Wentzel, A., Nieselt, K., Ellingsen, T.E., Moore, J., Morrissey, E.R., Legaie, R., Wohlleben, W., Rodriguez-Garcia, A., et al. (2012). Metabolic switches and adaptations deduced from the proteomes of *Streptomyces coelicolor* wild type and *phoP* mutant grown in batch culture. *Mol Cell Proteomics* 11, M111 013797.

Tiffert, Y., Franz-Wachtel, M., Fladerer, C., Nordheim, A., Reuther, J., Wohlleben, W., and Mast, Y. (2011). Proteomic analysis of the GlnR-mediated response to nitrogen limitation in *Streptomyces coelicolor* M145. *Appl Microbiol Biotechnol* 89, 1149-1159.

Tiffert, Y., Supra, P., Wurm, R., Wohlleben, W., Wagner, R., and Reuther, J. (2008). The *Streptomyces coelicolor* GlnR regulon: identification of new GlnR targets and evidence for a central role of GlnR in nitrogen metabolism in actinomycetes. *Mol Microbiol* 67, 861-880.

Touzain, F., Schbath, S., Debled-Rennesson, I., Aigle, B., Kucherov, G., and Leblond, P. (2008). SIGffRid: a tool to search for sigma factor binding sites in bacterial genomes using comparative approach and biologically driven statistics. *BMC Bioinformatics* 9, 73.

Tucker, N.P., Hicks, M.G., Clarke, T.A., Crack, J.C., Chandra, G., Le Brun, N.E., Dixon, R., and Hutchings, M.I. (2008). The transcriptional repressor protein NsrR senses nitric oxide directly via a [2Fe-2S] cluster. *PLoS One* 3, e3623.

van Bakel, H., and Holstege, F.C. (2004). In control: systematic assessment of microarray performance. *EMBO Rep* 5, 964-969.

van Keulen, G., Alderson, J., White, J., and Sawers, R.G. (2005). Nitrate respiration in the actinomycete *Streptomyces coelicolor*. *Biochem. Soc. Trans.* 33, 210-212.

van Keulen, G., Alderson, J., White, J., and Sawers, R.G. (2007). The obligate aerobic actinomycete *Streptomyces coelicolor* A3(2) survives extended periods of anaerobic stress. *Environ. Microbiol.* 9, 3143-3149.

Wang, S.L., Fan, K.Q., Yang, X., Lin, Z.X., Xu, X.P., and Yang, K.Q. (2008). CabC, an EF-hand calcium-binding protein, is involved in Ca²⁺-mediated regulation of spore germination and aerial hypha formation in *Streptomyces coelicolor*. *J Bacteriol* 190, 4061-4068.

Wayne, L.G., and Hayes, L.G. (1996). An in vitro model for sequential study of shiftdown of *Mycobacterium tuberculosis* through two stages of nonreplicating persistence. *Infect. Immun.* 64, 2062-2069.

Willey, J.M., Willems, A., Kodani, S., and Nodwell, J.R. (2006). Morphogenetic surfactants and their role in the formation of aerial hyphae in *Streptomyces coelicolor*. *Mol. Microbiol.* **59**, 731-742.

Williams, B.A., Gwirtz, R.M., and Wold, B.J. (2004). Genomic DNA as a cohybridization standard for mammalian microarray measurements. *Nucleic Acids Res.* **32**, e81.

Williams, B.A., Gwirtz, R.M., and Wold, B.J. (2006). Genomic DNA as a general cohybridization standard for ratiometric microarrays. *Methods Enzymol.* **410**, 237-279.

Wolkenhauer, O., Moller-Levet, C., and Sanchez-Cabo, F. (2002). The curse of normalization. *Comp. Funct. Genomics* **3**, 375-379.

Yan, D. (2007). Protection of the glutamate pool concentration in enteric bacteria. *Proc. Natl. Acad. Sci. USA* **104**, 9475-9480.

Yang, Y. (2009). Use of genomic DNA as reference in DNA microarrays. *Methods Mol. Biol.* **544**, 439-450.

Yang, Y.H., Kim, J.N., Song, E., Kim, E., Oh, M.K., and Kim, B.G. (2008). Finding new pathway-specific regulators by clustering method using threshold standard deviation based on DNA chip data of *Streptomyces coelicolor*. *Appl. Microbiol. Biotechnol.* **80**, 709-717.

Yang, Y.H., Song, E., Kim, E.J., Lee, K., Kim, W.S., Park, S.S., Hahn, J.S., and Kim, B.G. (2009). NdgR, an IclR-like regulator involved in amino-acid-dependent growth, quorum sensing, and antibiotic production in *Streptomyces coelicolor*. *Appl. Microbiol. Biotechnol.* **82**, 501-511.

Yu, X.C., and Margolin, W. (1997). Ca²⁺-mediated GTP-dependent dynamic assembly of bacterial cell division protein FtsZ into asters and polymer networks in vitro. *EMBO J* **16**, 5455-5463.

Zhang, H., Yin, Y., Olman, V., and Xu, Y. (2012). Genomic arrangement of regulons in bacterial genomes. *PLoS One* **7**, e29496.

Zimmermann, A., Reimann, C., Galimand, M., and Haas, D. (1991). Anaerobic growth and cyanide synthesis of *Pseudomonas aeruginosa* depend on *anr*, a regulatory gene homologous with *fnr* of *Escherichia coli*. *Mol. Microbiol.* **5**, 1483-1490.